

小水力発電所設計のポイント

ver-2

令和 3 年 9 月

サコダ小水力設計合同会社

— 目 次 —

第1章 はじめに	4
第2章 概略設計編	5
2.1 小水力の適地発掘	5
2.1.1 落差効率の良さ	5
2.1.2 流域の広さ（流域面積）	5
2.1.3 流況	5
2.1.4 アプローチと系統連系距離	6
2.1.5 発電施設の配置検討	6
2.2 可能性調査方法	11
2.2.1 売上高	11
2.2.2 イニシャルコスト（建設費）	16
2.2.3 ランニングコスト（年経費）	32
2.2.4 税前IRR	33
第3章 実施設計編	35
3.1 発電施設の測量	35
3.2 鉛毒水対策	35
3.3 各構造物設計の基本	38
3.3.1 取水ダム	38
3.3.2 取水口	39
3.3.3 沈砂池	41
3.3.4 導水路	42
3.3.5 水槽	43
3.3.6 水圧管路	44
3.3.7 発電所基礎	47
3.3.8 放水路、放水口	48
3.4 土木構造物の水理計算	49
3.4.1 最大出力と最大使用水量の決定	50
3.4.2 取水ダム	62
3.4.3 取水口	72
3.4.4 沈砂池	86
3.4.5 導水路	95
3.4.6 水槽	101
3.4.7 放水路	103

3.5 土木構造物の安定計算	106
3.5.1 取水ダム.....	106
3.5.2 沈砂池・水槽	116
3.5.3 導水路	128
3.5.4 水圧管路.....	129
3.5.5 発電所基礎	150
3.6 土木構造物の構造計算	151
3.6.1 取水ダム.....	151
3.6.2 取水口	151
3.6.3 沈砂池・水槽	162
3.6.4 導水路	169
3.6.5 水槽.....	169
3.6.6 水圧管路.....	169
3.6.7 発電所基礎	186
3.6.8 放水路	186
3.6.9 配筋図の作成	186
第4章 修正履歴.....	191

第1章 はじめに

サコダ小水力設計合同会社を設立してもう少しで10年になります。

私は持病もあり健康状態に若干の不安があります。

また、今年還暦を迎える自身の高齢化を考えると尚更です。

大きい会社であれば、私の知見を後輩などへ伝え残すことは可能ですが、弊社は私一人で後継もおりません。

そこで、小水力発電所の設計手法のポイントについての今までの知見をレポート化し残したいと考えました。

まだまだ十分な知見は無く諸先輩に笑われそうです。

また、誤認など多少あるかも知れませんので、あくまでも参考程度の位置付けとしてご覧下さい。ご指摘・ご意見・ご要望等がありましたらご連絡頂ければ幸いです。

バージョンアップして行きたいと思います。

ご覧になった方には、設計の流れや手法をご理解して頂き小水力発電の普及に尽力して頂きたいと考えます。

今回バージョン2に更新しました。

弊社アドバイザーの指摘を踏まえた修正および新たな内容を追記しました。

令和3年9月
サコダ小水力設計合同会社
代表社員 迫田健二

第2章 概略設計編

2.1 小水力の適地発掘

日本は降水量が多く豊富な水に恵まれています。

でも条件に適さなければ小水力は成立しません。

では、小水力発電に適した地点をどうやって見つけるのか。

2.1.1 落差効率の良さ

私が造語した「落差効率」とは、総落差÷水平距離 です。

総落差は、取水地点から発電所地点の標高差です。

水平距離は、取水地点から発電所地点までの水平距離です。

これらは国土交通省の地理院地図上で机上調査します。

落差効率が 1 だと 45° 勾配となり、どこかの滝の様ですが実際こんな地点はありません。

落差効率の良さは発電所のスケール（最大出力規模）により変化します。

200 kWクラスですと $1/10$ 程度は必要です。

もう少し大きい規模だと $1/20$ 程度まででしょうか。

何故変化するのかと言うと、水圧管路の延長がイニシャルコストに影響するからです。

2.1.2 流域の広さ（流域面積）

流域の広さのイメージは自動車で言うと燃料タンクの大きさです。

タンクが大きいほど安定して長距離を走れます。

安定とは「設備利用率」

長距離とは「スケール（最大出力規模）」でしょうか。

流域面積が広いに越したことはありませんが、小水力では山間の支流がメインなので本流ほどの広さは期待出来ません。

目安は、 $4 \sim 5 \text{ km}^2$ 以上必要でしょう。

あまりに小さいと「夏枯れ・冬枯れ」に影響され設備利用率が低下します。

2.1.3 流況

日本では日本海側の降雪地域の流況が良いです。

鳥取から青森県までの降雪地帯です。

北海道では札幌くらいまでの地域でしょう。

太平洋側では九州・四国・紀伊半島の一部と伊豆半島以外は降水量が低くなり、流況はあまり良くありません。

流況の指針としては、年間降水量（降雪量含む）と比流量です。

年間降水量は気象庁ホームページで公表されていますので容易に把握出来ます。

年間2000mm以上の降水量がある地点が目安です。

比流量は、流域面積100km²当りの「豊水量・平水量・低水量・渴水量」です。年間を通じて豊水量は95日、平水量は185日、低水量は275日、渴水量は355日の流量が期待出来る流量です。

豊水量が10m³/s/100km²程度であれば良い流況だと言えます。

例えば関東地方などは半分程度の地域であり、あまり良くない流況です。

流況は当該地域にあるダム流入量や河川の観測所データを検索すればわかります。

ダムのデータは、「ダム諸量データベース」、河川のデータは「水文水質データベース」を検索して下さい。

2.1.4 アプローチと系統連系距離

取水地点や発電所地点までのアプローチはどうなのかは大切です。

舗装の有無やそもそも交通止めや冬季閉鎖地域など、メンテナンスにも影響してきます。山間奥地では地域の方達への聞き取りも含めた調査が必要です。

また、系統連系距離が長いとコストが掛かる上、台風や積雪による倒木停電リスクが高まります。

高圧配電線では概略設計段階で1km当り18百万円の費用が発生しますから、発電所の位置から系統連系点までの距離は出来るだけ短く計画する必要があります。

2.1.5 発電施設の配置検討

取水地点から発電所地点までの配置を国土地理院地図やグーグルアースにて机上検討します。

その後、現地調査を行い確認、修正を行います。

(1) 取水ダム

取水ダムの位置は河川幅が狭まり工事がし易く水圧管路を埋設する道路へのアプローチが容易な位置に設定します。

地図やグーグルアースで河川幅を計測しダムの幅を決定します。

高さは測量し設計しないと分かりませんが、大まかに言うと使用水量が0.5m³/s以上だと5mは必要です。

砂防ダムを利用する場合、満砂状態かあるいは事業期間中に満砂になる可能性が高い場合、チロル取水方式としてダム背面腹付け式とします。

満砂状態では無く事業期間中に満砂になる可能性が無い場合は、チロル取水ダム背面腹付け方式とするか、サイフォン取水方式します。

この場合、砂防ダムの水通し幅が長く高さも高いとコストの安いサイフォン方式を選択する場合もあります。

(2) 取水口

砂防ダムを利用しない渓流取水とする場合で、砂防指定地や河川勾配が急で土石災害が予想される場合はチロル取水方式を選択します。

そうではない場合は側方取水方式でも良いですが、極力チロル取水方式をお勧めします。

(3) 沈砂池

沈砂池本体の幅、長さの決定については実施設計編によります。

沈砂池には余水吐を設置し、最大使用水量および洪水時の余水処理を行います。

自動除塵機は極力設置した方が良いです。特に冬期閉鎖となるような地点については、可能な限り設置した方が良いですが、コストを伴うため最終的には事業者の判断によります。

(4) 導水路

本来導水路は取水口または沈砂池から水槽へ導水する無圧水路です。

小水力では沈砂池または水槽にて水圧を掛けて水圧管路にて発電所まで導水するのがほとんどで導水路を設置するケースは少ないです。

(5) 水槽

水槽本体の幅、長さの決定については実施設計編によります。

水槽には必要に応じて余水吐を設置し、最大使用水量および洪水時の余水処理を行います。

(6) 水圧管路

水圧管路は既設道路または地山に埋設配管とし、発電所付近や途中の急峻な法面は露出配管にする必要があります。

地図上で水平距離を計測するとともに、F R P M管やポリエチレン管、J I S鋼管、ダクタイル鋳鉄管などの管種を決めます。

(7) 発電所基礎

発電所基礎は洪水時に水没しない高さを確保します。

(8) 放水路、放水口

放水路は開水路または暗渠とし放水口まで設置します。

(9) 配置事例

弊社が設計し運転中の6発電所の配置事例は下図のとおりです。

全発電所とも全く同一配置はありません。

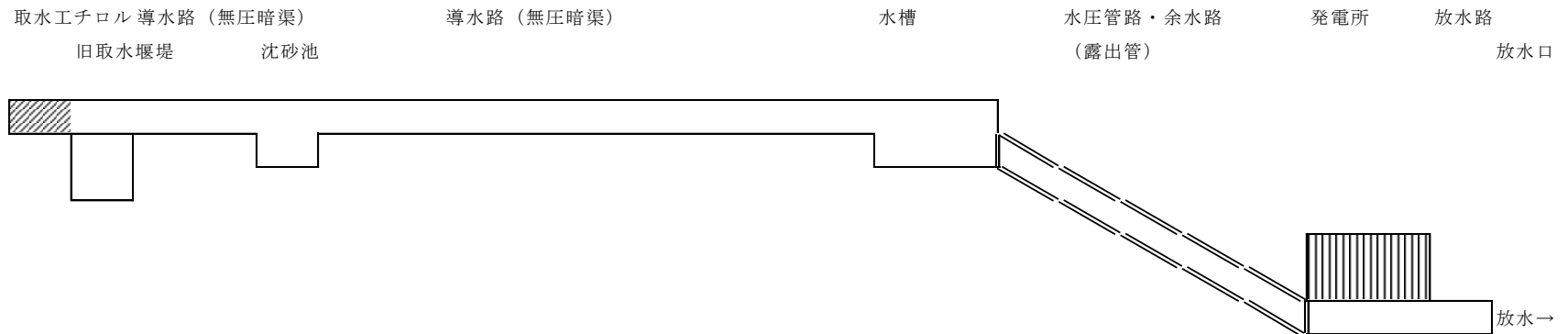
何れかの設備配置が違っておりバリエーションが多いのが、小水力の特徴です。

一番シンプルなのは西俣沢発電所でした。

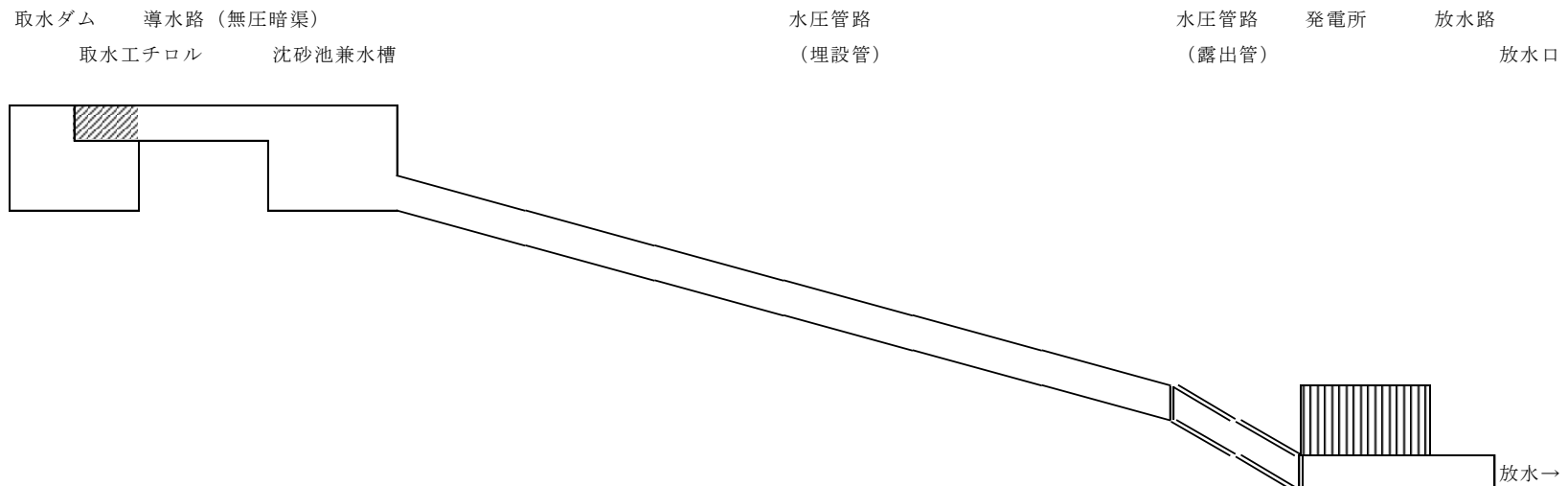
一番ややこしかったのは今年運転開始した川場谷発電所です。

設計にもっと苦労した発電所もありましたが、今回は運転中の事例に限りました。

1) T発電所



2) A発電所

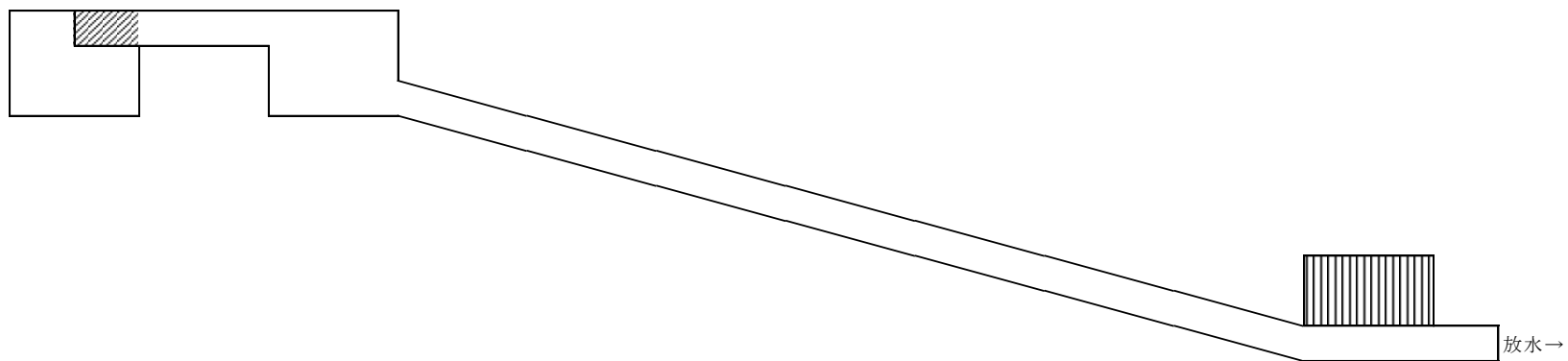


3) AK発電所（取水ダム～沈砂池まで）

取水ダム 導水路（無圧暗渠）
取水工チロル 沈砂池兼水槽

水圧管路
(埋設管)

発電所 放水路
放水口

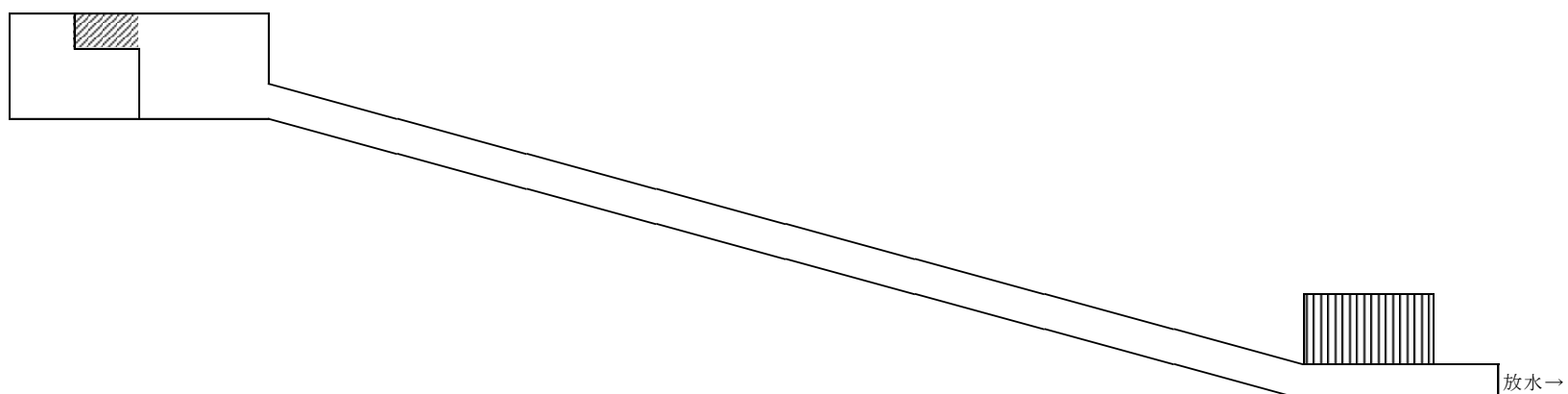


4) N発電所

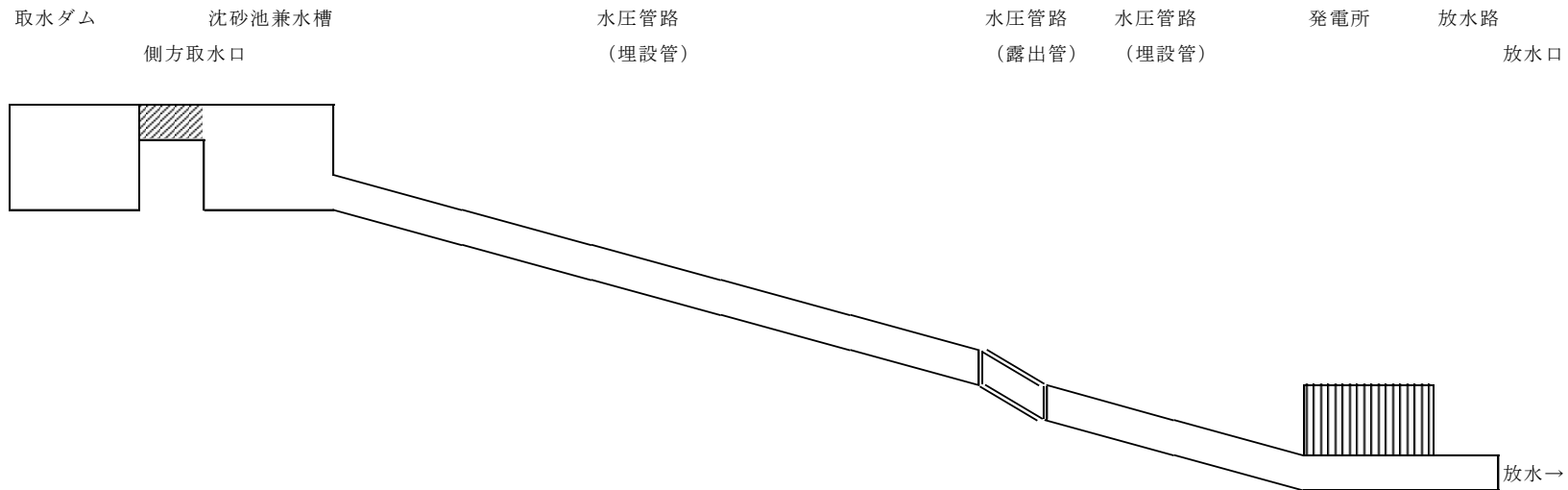
取水ダム 沈砂池兼水槽
取水工チロル

水圧管路
(埋設管)

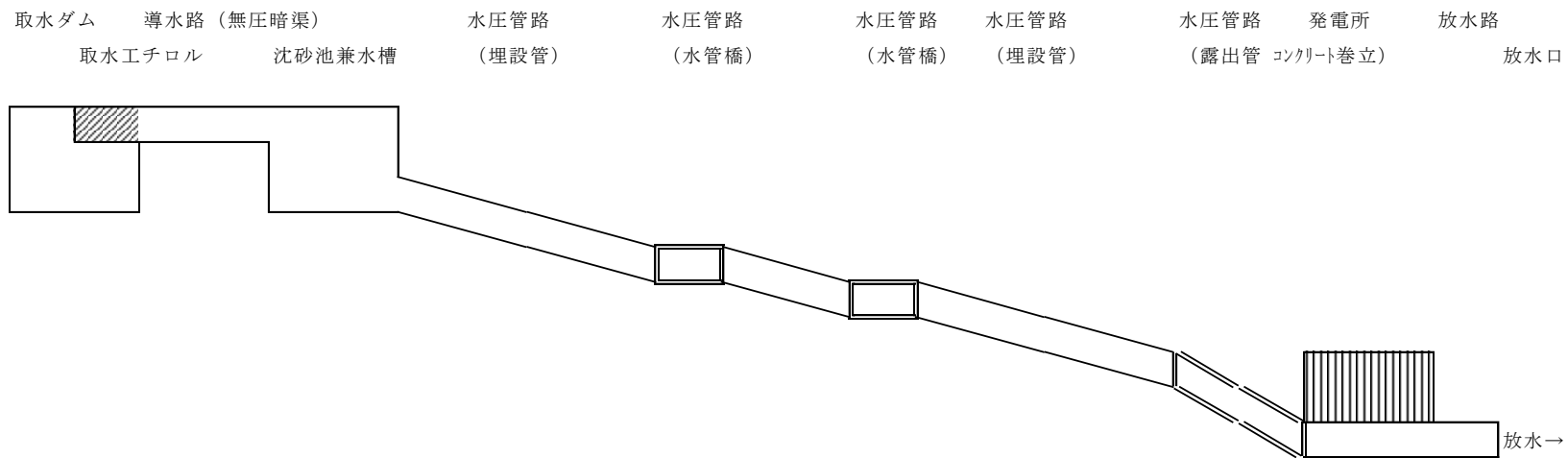
発電所 放水路
放水口



5) H発電所



6) K発電所



2.2 可能性調査方法

適地だと思われる地点が見つかったら事業性の検討を行います。

現行 F I T 制度の買取り単価の前提となっている税前 I R R は 7 % です。

以下は H 2 4 . 7 エネ庁の資料です。

1,000kW 未満の買取単価は未だ据え置かれています。

調達価格・調達期間について										経済産業省 資源エネルギー庁	
電源		太陽光		風力		地熱		中小水力			
調達区分		10kW以上	10kW未満 (余剰販取)	20kW以上	20kW未満	1.5万kW 以上	1.5万kW未満	1,000kW以上 30,000kW未満	200kW以上 1,000kW未満	200kW未満	
費用	建設費	32.5万円/kW	46.6万円/kW	30万円/kW	125万円/kW	79万円/kW	123万円/kW	85万円/kW	80万円/kW	100万円/kW	
	運転維持費 (1年当たり)	10千円/kW	4.7千円/kW	6.0千円/kW	—	33千円/kW	48千円/kW	9.5千円/kW	69千円/kW	75千円/kW	
IRR		税前6%	税前3.2% (*1)	税前8%	税前1.8%	税前13% (*2)		税前7%	税前7%		
調達 価格 1kWh 当たり	税込 (*3)	42.00円	42円 (*1)	23.10円	57.75 円	27.30円	42.00 円	25.20円	30.45円	35.70 円	
	税抜	40円	42円	22円	55円	26円	40円	24円	29円	34円	
調達期間		20年	10年	20年	20年	15年	15年	20年			

(* 1) 住宅用太陽光発電について
10kW未満の太陽光発電については、一見、10kW以上の価格と同一のように見えるが、家庭用についてはkW当たり3.5万円（平成24年度）の補助金の効果を勘案すると、実質、48円に相当する。
なお、一般消費者には消費税の納税義務がないことから、税抜き価格と税込み価格が同じとなっている。

(* 2) 地熱発電のIRRについて
地表調査、調査井の掘削など地点開発に一件当たり46億円程度かかる事、事業化に結びつく成功率が低いこと（7%程度）等に鑑み、IRRは13%と他の電源より高い設定を行っている。

(* 3) 消費税の取扱いについて
消費税については、将来的な消費税の税率変更の可能性も想定し、外税方式とすることとした。ただし、一般消費者向けが大宗となる太陽光発電の余剰販取の販取区分については、従来どおりとした。

12

IRR とは 内部収益率、税前とは 法人税等の租税を納税する前の IRR です。

IRR は 高い方が 利益が 上がります から 事業運営は やり易く なりますが、上記の 税前 7 % の 値は 試算地点の バラツキ を見て 最適な 値を 決めた ようです。

事業者が 目標とする IRR は 事業目的に 左右される と 思います。

単に 発電事業で 儲けを 狙う 場合や 利益を 地域活性化に 還元する 場合など で、薄利でも 目的が 達成されれば 良し と される で しょう。

IRR は 「 売上高 」 と 「 イニシャルコスト・ランニングコスト 」 と で 計算します。

2.2.1 売上高

単純に 有効電力量 × 買取り単価 です。

(1) 有効電力量

有効電力量は 「 年間可能発電電力量 」 × 利用率 です。

利用率とは 発電所のメンテナンスや事故障害および系統事故により 発電が 停止する

と想定する比率です。

停止していたら売電出来ませんので売り上げに大きく影響します。

一般的な利用率は5%ですが、地域により変動しますので弊社では便宜上以下で設定しています。しかし、これに拘る必要はないと考えます。

有効電力量の計算に使用する利用率

会社 月	北海道	東北	東京	中部	北陸	関西	中国	四国	九州
4	97.5	94.5	95.2	94.8	94.5	94.5	97.1	96.0	96.6
5	92.7	93.9	94.1	94.4	94.2	94.6	97.0	95.5	96.8
6	94.6	94.6	95.0	95.2	94.7	94.4	98.0	96.0	97.1
7	89.1	94.7	95.1	95.7	94.7	94.0	97.5	95.6	97.9
8	93.8	96.2	96.1	95.7	95.5	94.8	94.9	95.8	94.7
9	96.2	96.1	95.1	94.9	95.3	94.6	92.3	95.0	96.3
10	98.1	95.1	95.0	94.8	95.6	95.0	93.2	94.6	95.5
11	95.8	95.0	96.1	94.1	96.4	95.0	91.7	95.2	94.6
12	97.3	95.5	97.1	96.8	97.1	95.0	94.6	97.4	97.3
1	98.2	97.9	96.6	93.4	97.6	95.0	97.6	98.8	97.3
2	98.9	98.1	97.1	93.5	97.9	95.0	96.8	96.4	92.4
3	99.1	96.5	96.7	93.5	96.0	95.0	96.6	94.6	94.0
平 均	95.4	95.5	95.6	94.8	95.5	94.7	95.8	95.8	96.0

※「電源開発促進法第六条第二項の規定による費用負担の方法及び割合の基準に関する政令及び府令等の運用に関する関係省庁の申合せ事項」より

(2) 年間可能発電電力量

1) 流況の推定

まず、当該地点の流況を推定します。

流況の推定には過去10ヶ年の流量データを流域面積換算して用います。

しかし、「ダム諸量データベース」や「水文水質データベース」を検索しても近辺に測水所が無い場合があります。

そのような場合は少し離れた測水所データから毎年毎に年間降水量補正をして使用します。

測水所は同一水系、同一地域が好ましいのですが、無い場合はお隣の水系でも良いです。

なお、例えば太平洋側と日本海側ではかなり気候が違ってきますので同一地域内が原則です。

2) 河川維持流量の設定

指定河川や自然公園特別地域内では河川維持流量を設定します。

概略検討段階での目安は10ヶ年最小渇水量とします。

実施段階では「正常流量検討の手引き（案）：平成19年9月国土交通省河川局」に基づき検討した流量で設定します。

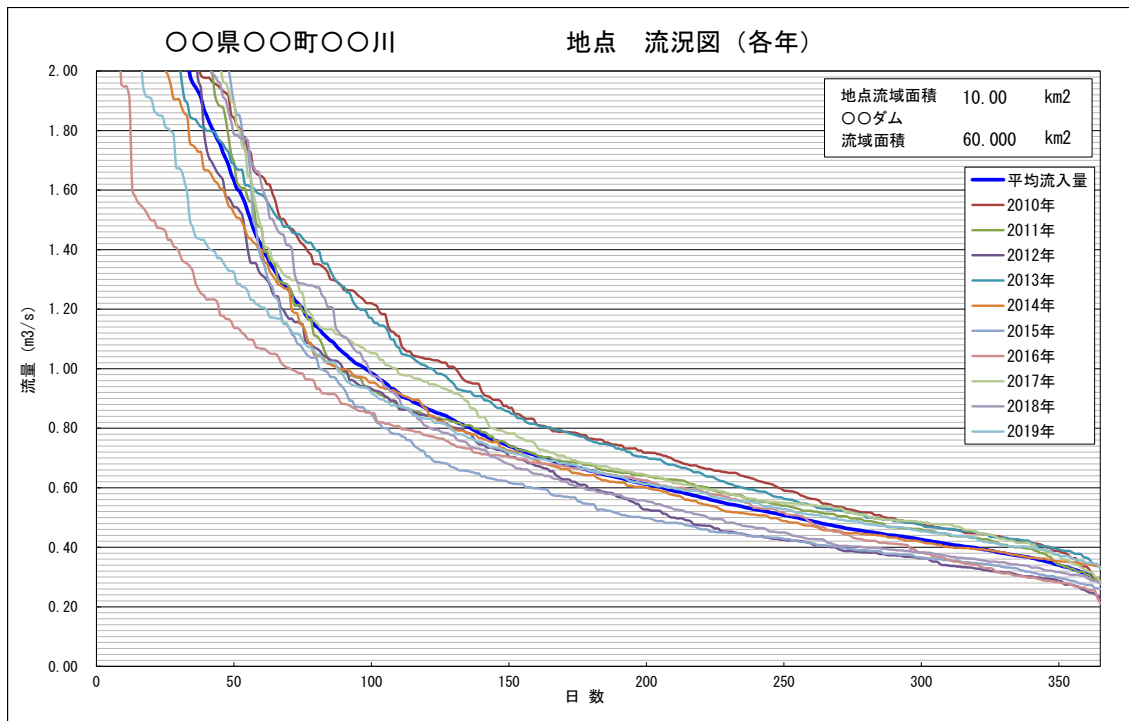
3) 最大使用水量の決定

推定流況から河川維持流量を差し引いた流量より流況図を作成して「豊水量・平水量・

低水量・渴水量」を確認します。

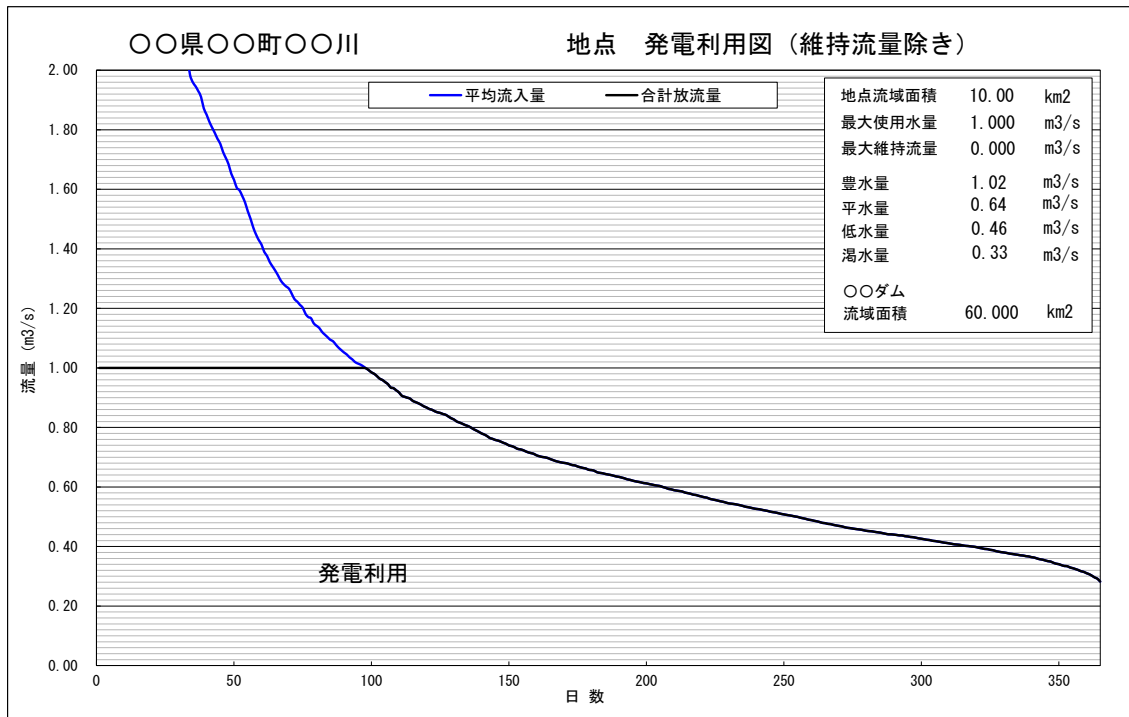
弊社では設備利用率60%以上を目安に、最大使用水量は豊水量未満で設定します。

10ヶ年各年の流況図は下図のとおり。



10ヶ年平均の流況図は下図のとおり。

最大使用水量は豊水量にしています。



4) 有効落差

有効落差は総落差より損失落差を差し引いた落差です。

概略設計段階では水圧管の摩擦損失落差の 120 %を最大損失落差としています。

損失落差は使用水量比の 2乗に比例しますから各日毎の使用水量比で変化させて各日毎の損失落差を計算し各日毎の有効落差を計算します。

5) 水車発電機総合効率

i) 水車の選定

最大使用水量と有効落差が決定すれば、水車が選定できます。

適用水車は「水力発電計画工事費積算の手引き」平成 25 年 3 月／経済産業省資源エネルギー庁：財団法人新エネルギー財団 の「3. 電気設備選定の手引き」の図 4. 1 水車形式選定図に基づいて選定します。

悩ましいのは適用可能な水車が重複した時です。

Francis 水車はベルトン水車やクロスフロー水車とよく重複します。

こうした際には総合的な事業性はどの水車が一番良いのか。で判断します。

Francis 水車は最大効率が一番良いですが、無負荷限界が 30 %程度と高く効率も低下します。

ベルトン水車やクロスフロー水車は流量が変化しても効率低下は比較的小さく無負荷限界は 15 %程度と低いです。

価格面では高い順に ベルトン→ Francis →クロスフロー水車 です。

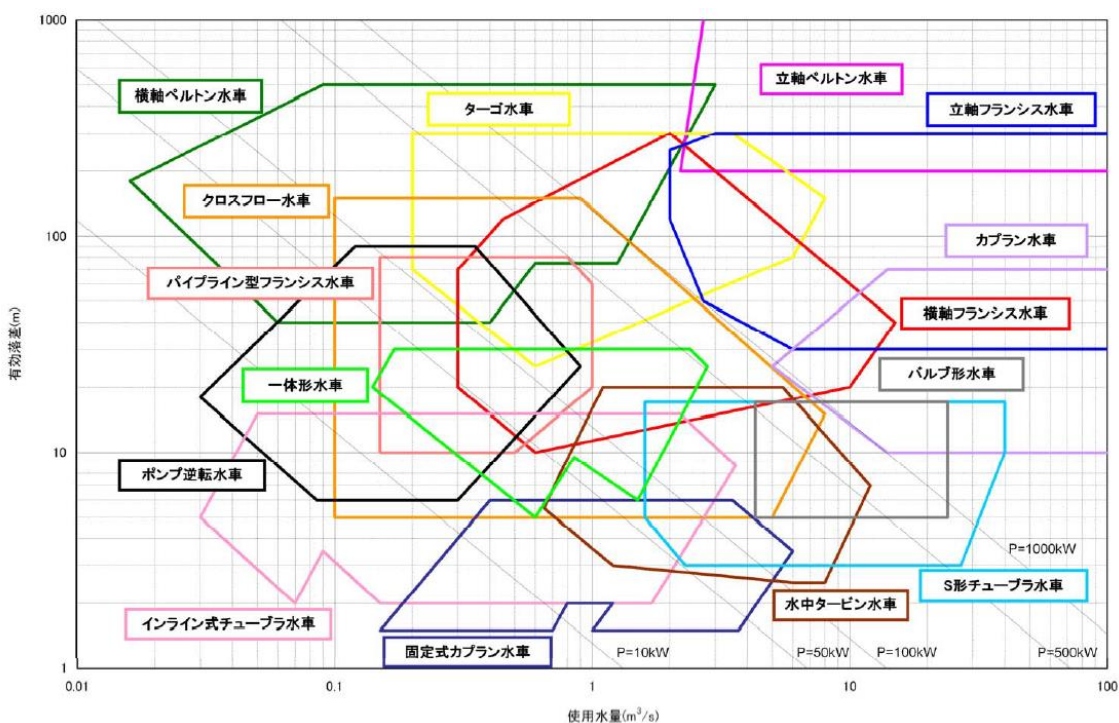


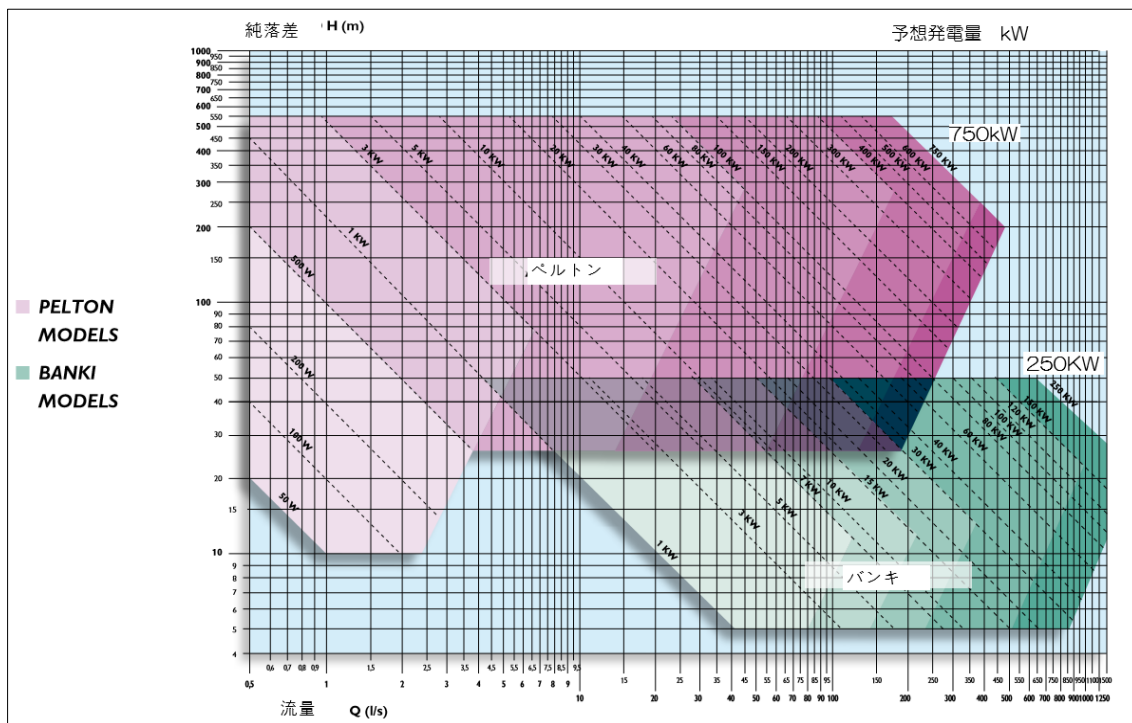
図 4.1 水車形式選定図

なお、手引きに記載されていない水車の事例を紹介します。

イタリアのIREM社製縦軸ペルトン水車発電機です。

全国で納入されており、弊社設計では4例あります。

下図に適用範囲を示します。



この水車は発電機と一体型でコンパクトかつ高効率で、価格も比較的安いです。

ii) 効率

水車・発電機効率については、「水力発電計画工事費積算の手引き」平成25年3月／経済産業省資源エネルギー庁：財団法人新エネルギー財団に基づいて算定します。

手引きに記載されていない水車発電機を採用する場合はメーカー聞き取りとしています。

総合効率は使用水量比で変化しますから、各日毎の使用水量比で変化させて各日毎の効率を計算します。

6) 発電出力、発電電力量

各日毎の発電出力を、「 $9.8 \times \text{使用水量} \times \text{有効落差} \times \text{総合効率}$ 」で計算します。

この各日毎の出力に24時間を掛けば各日毎の発電電力量になります。

7) 年間可能発電電力量

上記まで計算した発電電力量を年間日数365日、10ヶ年を集計し年平均化した値が年間可能発電電力量になります。

厳密に言うと4年に1回閏年がありますので年間日数は少し増えます。

2.2.2 イニシャルコスト（建設費）

建設費の積算は、「水力発電計画工事費積算の手引き」(経済産業省資源エネルギー庁、一般財団法人新エネルギー財団) の「発電計画工事費積算の手引き」(以下：手引き) の「発電計画Ⅱ」に基づいています。

積算に際しては、積算項目ごとに算定図表、あるいは当該積算項目以外の工費に対する率等により工事費を算定します。

なお、水圧管路工事費は土木関係工事費に占める割合が多いため弊社では管種ごとに積上げとしています。

水力発電所の計画段階における積算項目の分類区分は、下表に示す項目です。

なお、事業期間終了後の発電設備の撤去費については、将来の制度設計が不明確であるため計上していません。

表-2.2 積算項目

積算項目		摘要
1) 土地補償費	a. 土地	水没家屋、田畠、山林等。
	b. 補償費	付替道路、鉄道、漁業、公共補償、無形固定資産等。
2) 建物関係		発電機床面以上の発電所本館建物(半地下式、地下式の場合は内装を含む)、付属建物(本館以外)。
3) 土木関係	c. 取水ダム	土砂吐き、排砂ゲート、護岸工、護床工、魚道を含む。
	d. 取水口	ゲート、スクリーン、除塵機を含む。既設堤体穴開け方式の場合は、堤体穴開け工事費を含む。サイフォン方式の場合は、真空ポンプ工事費のみとし、サイフォン管は水圧管路に計上する。
	e. 沈砂池	排砂ゲート、スクリーンを含む(露出式を対象)。
	f. 排砂路	沈砂池(水槽)で排砂ゲートを設置できない場合の代替設備
	g. 導水路	
	h. 水槽	ヘッドタンク又はサーボタンクのどちらかを示す。排砂ゲート、スクリーンを含む。
	i. 余水路	
	j. 水圧管路	既設管路との分岐管、バルブ室、バルブ、流量計室、流量計、グラウト、法面保護工等を含む。
	k. 放水路	
	l. 放水口	ゲートを含む。
	m. 代替放流設備	既設ダムの放流設備途中に発電設備を設置し、バイパス放流設備が必要な場合の放流バルブ
	n. 雑工事	土捨場、水路に係わる緑化工事、自記量水設備等。
	o. ダム本体	(ダム高 15m 以上の)ダム本体、洪水吐
②貯水池又は調整池	p. 雑工事	土捨場、貯水池又は調整池に係わる緑化工事等。
	q. 基礎	発電機床面以下(半地下式、地下式の場合は、床面以上を含む)の土木工事。
③機械装置	r. 諸装置	取付道路、構内整備、機械装置に係わる緑化工事等。
	s. 水車	入口弁含む
	t. 発電機	
	u. その他機器	主要変圧器、配電盤開閉装置、単独運転検出装置、流量調整バルブ等。
5) 仮設備費		工事用道路・橋梁、仮建物、工事用電力、備品等。
6) 総係費		人件費、調査委託費、事務関係費等
7) (小計)		$\Sigma 1) \sim 6)$
8) ダム分担金		特定多目的ダム及び共同ダムの事業費分担金。なお、既設設備利用等で事業費分担金が発生しない場合は考慮しない。
9) 建設中利子		建設工事期間中の工事資金に係わる金利分
10) 分担関連費		発注者の現場以外の組織全体に係わる事務経費
11) 送配電設備費		架空又は地中送配電設備
12) (計)		$\Sigma 7) \sim 11)$

積算を進めるには各設備の諸元を決めます。

例えは取水ダムの幅、高さなどです。

また、手引きには無い設備の設置や省略です。

例えば自動除塵機については取水口への設置は省略し沈砂池に設置するとかです。

他にも実態に合うように工夫します。

以下その弊社流のポイントについてです。

(1) 土地・補償費

土地や補償費の単価は示されていますが数量の計算はなかなか難しいこともあります。弊社では「各種権利補償費」のみ計算しています。

最大出力=費用 にしています。

例えば最大 200kW だと 2,000 千円 にします。

計画段階で関係者と交渉して頂きます。

(2) 建築関係工事

P/S 型式と最大出力から計算します。

P/S 型式は「地上式」「半地下式」「地下式」ですが、小水力ではほとんど地上式です。

(3) 取水ダム

1) ダム型式 :

「ダム基準」と「堰基準」のいずれかを決定します。

砂防ダム利用のチロル取水方式の場合、手引きでは計上不要とされていますが、費用が不足すると考えますからチロルベースコンクリートとして「ダム基準」として余裕をみて計上します。

以外は「堰基準」にしています。

2) ダム高さ :

前述のとおり最大使用水量で判断します。3.5m、5.0m、7.0m の三段階くらいです。

砂防ダム利用の場合で高さ不明の場合は、グーグルアースや現地調査での目測にします。

3) ダム頂長 :

地形図やグーグルアース、現地調査での目測にします。

ダム頂長は越流幅とされており川幅よりは短くなりますから注意が必要です。

4) 魚道の有無 :

河川維持流量を設定した場合は「有」です。

5) 排砂ゲート

取水ダムへ排砂ゲートを設置すると大規模となりコストアップします。

ですので、側方取水方式にする場合にのみ計上します。

チロル取水方式の場合は取水口もしくは沈砂池で計上します。

6) 起伏ゲート（ゴム堰相当）

取水ダムによる堰上げで上流の浸水被害が予想される場合、起伏ゲートを計上します。

設置単価は2,000千円/m² にしています。

(4) 取水口

1) 取水方式

取水方式を「無圧：側方取水方式」「チロル取水方式」「堤体穴明け」「サイフォン式」の4パターンから決定し手引きに従い計上します。

「サイフォン式」で取水して「堤体穴明け」して導水するパターンもあります。

2) 自動除塵機

「チロル取水方式」の場合は物理的に設置できないため計上しません。

それ以外で必要な場合に計上します。ただし、沈砂池に設置する場合は省略します。

手引きでは「その他」に含むとされていますが、小水力用の自動除塵機は高価であり、メーカー聞き取り価格を必要に応じて計上します。

(5) 沈砂池

1) 自動除塵機

沈砂池に設置する場合は計上します。

手引きでは「その他」に含むとされていますが、小水力用の自動除塵機は高価であり、メーカー聞き取り価格を必要に応じて計上します。

(6) 導水路

導水路がある場合、基準に従って計上します。

ただし、トンネルの費用は実情と乖離していると考えられますので、より実情に近いと考えられる「馬蹄形全巻」で計上します。

しかし、このような大型案件はゼネコン等協力会社への聞き取りが必要です。

(7) 水槽

沈砂池が兼用する場合は省略します。

(8) 余水路

水槽省略の場合は省略します。

水槽を設置する場合でもペルトン水車を選定しデフレクタを付加する場合は省略します。

(9) 水圧管路

1) 本体

事業者の指定する管種に応じて積み上げ積算または手引きより計上します。

配管パターンは設計内圧に応じて以下のとおりにします。

i) F R P M管採用の場合

設計内圧1.3Mpa以上の部分はダクトイル鉄管またはJIS鋼管で積算します。

i i) ポリエチレン管採用の場合

設計内圧 1.6Mpa 以上の部分はダクトイル鉄管または J I S 鋼管で積算します。

i ii) 露出管部

手引きの「鋼管」で計上します。

2) 流量計

内径を指定し手引きにより計上します。

(10) 放水路・放水口

手引きにより計上します。

(11) 雑工事

手引きにより計上しますが、水圧管路工事で積み上げ積算した費用は控除します。

(12) 機械装置基礎

P/S 型式と最大使用水量、主機台数から計算します。

P/S 型式は「地上式」「半地下式」「地下式」ですが、小水力ではほとんど地上式です。

(13) 諸装置

1) 率計算部分

手引きにより計上します。

2) 機器搬入路工事費

手引きにより必要な数量を計上します。

水管橋は橋梁の数量で計上しています。

(14) 電気関係工事費

各水車別に手引きにより計上します。ただし、IREM水車は聞き取り価格です。

(15) 仮設備費

1) 率計算部分

手引きにより計上します。

2) 工事用道路工事費

手引きにより必要な数量を計上します。

(16) 総係費・建設中利子・分担関連費

手引きにより計上します。

(17) 送配電設備費

手引きにより必要な数量を計上します。

弊社の工事費積算シートは以下のとおりです。

○○県○○町○○川

地点 建設工事費内訳書 <発電計画Ⅱ>

項目	内訳			
1. 土地・補償費				
1) 土地	費用(千円)	単位	数量	単価(千円)
民家	0	戸	0	20,000
宅地	0	m ²	0	11
田	0	m ²	0	2
畠	0	m ²	0	1
山林・原野	0	m ²	0	0
国有林	0	m ²	0	0
国有林(立木補償)	0	m ²	0	1
2) 補償費				
一般国道	0	m	0	600
都道府県道	0	m	0	381
市町村道	0	m	0	209
林道	0	m	0	124
鉄道	0	m	0	942
軌道	0	m	0	466
漁業補償(低水時川幅×減水区間長)	0	m ²	0	0.27
低水時川幅			0	
減水区間長			0	
各種権利補償	4,000	式		
公共補償	0	式		
[土地・補償費 計]	4,000	千円		
2. 建築関係工事費				
P/S型式[地上=0・半地下=1・地下=2]	地上式			
最大出力	391	KW		
【内訳】				
本館建物容積	411	空m ³		
工事単価	40	千円/空m ³		
[建築工事費 計]	16,851	千円		
3. 土木関係工事費				
1) 水路				
a) 取水ダム				
ダムNO.	1	*****	*****	
ダム型式[ダム=0・堰=1]	1	0	0	
ダム高さ(ゴム高)(m)	5.0	0.0	0.0	
ダム頂長(越流幅)(m)	20	0	0	
魚道有無[有=0(h=2m以上)・無=1]	0	0	0	
魚道放流量(m ³ /sec)	0.547	0.000	0.000	
a) 挖削				
掘削数量(m ³)	1,252	0	0	
工事費(千円 : 6,000円/m ³)	7,512	0	0	
b) コンクリート				
コンクリート数量[堤体](m ³)	928	0	0	
コンクリート数量[魚道](m ³)	126	0	0	
(維持流量放流量別)				
コンクリート量 Q≤0.02	126	0	0	
0.02<Q≤0.10				
0.10<Q≤0.25				
0.25<Q≤0.50				
0.50<Q≤1.00	126			
1.00<Q				
コンクリート数量[合計](m ³)	1,054	0	0	
工事費(千円 : 42,000円/m ³)	44,268	0	0	

c) 鉄筋				
鉄筋数量(t)	12.4	0.0	0.0	
工事費(千円 : 174,000円/t)	2,158	0	0	
d) 排砂ゲート				
流域面積(km ²)	20.0	0.0	0.0	
設計洪水量(m ³ /sec)	224	0	0	
ゲート重量(t)	6.1	0.0	0.0	
ゲート単価(千円/t)	5,231	0	0	
工事費(千円)	0	0	0	
e) 起伏ゲート(2,000千円/m ²)				
ゲート高さ(m)	0	0	0	
ゲート幅(m)	0	0	0	
工事費(千円)	0	0	0	
< 小々計 >	53,938	0	0	
f) その他「上記合計@30%」	16,181	0	0	
g) 既設改修工事費(千円)				←手入力
< 小計 >	71,872	0	0	
<< 取水ダム工事費 計 >>	71,872			
b. 取水口				
取水口NO.	1	0	0	
取水量(m ³ /sec)	1.00	0.00	0.00	
導水路形式[1:全巻、2:NATM、3:馬蹄]	1	0	0	
取水方式1.(1:無圧 2:チヨリ 3:堤体穴開)	2	0	0	
取水方式2(1:サイフォン式)	0	0	0	
除農機省略要否[設置:チヨーリ式=0, 設置:ワイヤー式=1, 省略=2]	2			
取水口工事費[チヨリ式](千円)	2,032	0	0	規模選定工事費を適用
L	5	0	0	
B	1.0	1.0	1.0	←1.0mで固定
H	5.0	0.0	0.0	
L・B・H	25	0	0	
取水口工事費[堤体穴開式](千円)				
a) 堀削				
ワイヤーソーイング数量(m ²)	0	0	0	
工事費(千円 : 292,000円/m ³)	0	0	0	
ボーリング数量(m ³)	0	0	0	
工事費(千円 : 49,000円/m)	0	0	0	
コンクリート壊し数量(m ³)	0	0	0	
工事費(千円 : 24,000円/m ³)	0	0	0	
b) コンクリート				
コンクリート数量(m ³)	0	0	0	
工事費(千円 : 42,000円/m ³)	0	0	0	
< 小々計 >	0	0	0	
f) その他「上記合計@25%」	0	0	0	
< 小計 >	0	0	0	
取水口工事費[サイフォン式](千円)				
真空ポンプ工事費	6,820			
水圧管径(m)	0.00			
延長(m)	502.49			
X: π R' ² * L	0			
取水口工事費[無圧式]				
水路内径(m)	1.80	0.00	0.00	
a) 堀削				
堀削数量(m ³)	599	0	0	
工事費(千円 : 6,000円/m ³)	3,594	0	0	
b) コンクリート				
コンクリート数量(m ³)	39	0	0	

工事費(千円 : 42,000円/m ³)	1,638	0	0	
c) 鉄筋				
鉄筋数量(t)	1.6	0.0	0.0	
工事費(千円 : 174,000円/t)	278	0	0	
d) 制水ゲート				
ゲート重量(t)	2.5	0.0	0.0	
ゲート単価(千円/t)	3,052	0	0	
工事費(千円)	7,630	0	0	
d) 排砂ゲート				
工事費(千円)	7,630	0	0	←制水ゲートと同じとする
e) スクリーン				
スクリーン重量(t)	1.0	0.0	0.0	
スクリーン単価(千円/t)	1,270	0	0	
工事費(千円)	1,270	0	0	
< 小々計 >	14,410	0	0	
f) その他「上記合計@25%」	3,603	0	0	
g) 除塵機	0	0	0	
g) 既設改修工事費(千円)				←手入力
< 小計 >	2,083	0	0	
< 計 >	2,083			
<< 取水口工事費 計 >>	2,083			
c. 沈砂池(合理化設計)				
沈砂池No.	1	0	0	
取水量(m ³ /sec)	1.00	0.00	0.00	
型式[スラブ有=0・スラブ無=1]	1	0	0	
a) 堀削				
堀削数量(m ³)	413	0	0	
工事費(千円 : 5,600円/m ³)	2,313	0	0	
b) コンクリート				
コンクリート数量(m ³)	136	0	0	
コンクリート単価(78,000、54,000円)	47,000	78,000	78,000	
工事費(千円)	6,392	0	0	
c) 鉄筋				
鉄筋数量(t)	7.9	0.0	0.0	
工事費(千円 : 174,000円/t)	1,375	0	0	
d) 制水ゲート				
ゲート重量(t)	0.9	0.0	0.0	
ゲート単価(千円/t)	5,994	0	0	
工事費(千円)	5,394	0	0	
d) 排砂ゲート				
工事費(千円)	2,697	0	0	←制水ゲートの半分とする
e) スクリーン				
スクリーン重量(t)	0.696	0.0	0.0	
スクリーン単価(千円/t)	1,909	0	0	
工事費(千円)	1,329	0	0	
< 小々計 >	19,500	0	0	
f) その他「上記合計@20%」	3,900	0	0	
g) 除塵機	20,667	0	0	
h) 既設改修工事費(千円)				←手入力
< 小計 >	45,169	0	0	
<< 沈砂池工事費 計 >>	45,169			
d. 導水路(無圧)				
導水路No.	*****	*****	*****	
通水量(m ³ /sec)	0.00	0.00	0.00	
延長(m)[帳形全巻]	0	0	0	

延長(m)【幌形NATM】	0	0	0
延長(m)【馬蹄形全巻】	0	0	0
延長(m)【暗きよ】	0	0	0
延長(m)【開きよ】	0	0	0
延長(m)【ポリエチレン管】	0	0	0
d-1:幌形全巻			
水路内径(m)	0.00	0.00	0.00
a)掘削			
掘削数量(m ³)	0	0	0
掘削単価(千円/m ³)	0	0	0
工事費(千円)	0	0	0
b)コンクリート			
コンクリート数量(m ³)	0	0	0
コンクリート単価(千円/m ³)	0	0	0
工事費(千円)	0	0	0
c)鉄筋			
鉄筋数量(t)	0.00	0.00	0.00
工事費(179千円/t)	0	0	0
<小々計>	0	0	0
d)その他【上記合計@15%】	0	0	0
<幌形全巻工事費 小計>	0	0	0
d-2:幌形NATM			
水路内径(m)	0.00	0.00	0.00
a)掘削			
掘削数量(m ³)	0	0	0
掘削単価(千円/m ³)	0	0	0
工事費(千円)	0	0	0
b)コンクリート			
コンクリート数量(m ³)	0	0	0
コンクリート単価(千円/m ³)	0	0	0
工事費(千円)	0	0	0
c)鉄筋			
鉄筋数量(t)	0.00	0.00	0.00
工事費(179千円/t)	0	0	0
<小々計>	0	0	0
d)その他【上記合計@15%】	0	0	0
<幌形NATM工事費 小計>	0	0	0
d-3:馬蹄形全巻			
水路内径(m)	0.00	0.00	0.00
a)掘削			
掘削数量(m ³)	0	0	0
掘削単価(千円/m ³)	0	0	0
工事費(千円)	0	0	0
b)コンクリート			
コンクリート数量(m ³)	0	0	0
コンクリート単価(千円/m ³)	0	0	0
工事費(千円)	0	0	0
c)鉄筋			
鉄筋数量(t)	0.00	0.00	0.00
工事費(179千円/t)	0	0	0
<小々計>	0	0	0
d)その他【上記合計@15%】	0	0	0
<馬蹄形全巻工事費 小計>	0	0	0
d-4:暗きよ			
断面寸法 $\sqrt{B \times H}$ (m)	0.00	0.00	0.00
a)掘削			
掘削数量(m ³)	0	0	0
工事費(5,600円/m ³ :千円)	0	0	0
b)コンクリート+鉄筋			
延長当たり単価(千円/m)	0	0	0

工事費（千円）	0	0	0	
＜小々計＞	0	0	0	
c)その他【上記合計@15%】	0	0	0	
＜暗きよ工事費 小計＞	0	0	0	
d-5:開きよ				
断面寸法 $\sqrt{B \times H}$ (m)	0.00	0.00	0.00	
a)掘削				
掘削数量 (m ³)	0	0	0	
工事費 (5,600円/m ³ : 千円)	0	0	0	
b)コンクリート+鉄筋				
延長当たり単価 (千円/m)	0	0	0	
工事費 (千円)	0	0	0	
＜小々計＞	0	0	0	
c)その他【上記合計@30%】	0	0	0	
＜開きよ工事費 小計＞	0	0	0	
d-6:ポリエチレン管 (既設修繕費用含む)				
管径 (m)				
工事費 (千円)				
＜ポリエチレン管 小計＞	0	0	0	
d-7:既設改修工事費 (千円)				導水路積み上げ
＜導水路N0別工事費 計＞	0	0	0	
<<導水路工事費 計>>	0			
e.水槽(ヘッドタンク)				
設備省略要否【設置=0・省略=1】	1			
通水量 (m ³ /sec)	1.00			
a)掘削				
掘削数量 (m ³)	398			
工事費 (6,100円/m ³ : 千円)	2,428			
b)コンクリート				
コンクリート数量 (m ³)	66			
工事費 (45,000円/m ³ : 千円)	2,970			
c)鉄筋				
鉄筋数量 (t)	4.8			
工事費 (217千円/t)	1,042			
＜小々計＞	6,440			
d)制水ゲート				
工事費(千円)	5,394	←沈砂池と同等とする		
d)排砂ゲート				
工事費(千円)	2,697	←沈砂池と同等とする		
f)スクリーン				
工事費(千円)	1,329	←沈砂池と同等とする		
g)既設改修工事費 (千円)	0	←手入力		
h)除塵機				
＜小々計＞	15,860			
<<水槽工事費 計>>	0			
f.余水路				
設備省略要否【設置=0・省略=1】	1			[平均勾配別余水路内径]
型式【単独=0・鉄管路併設=1】	0			余水路内径(m)
平均勾配(I=1/x)	0.000			1 ≤ I
延長(m)【鋼管】	0			0.1 ≤ I < 1
延長(m)【FRP(M)管露出式】	0			0.05 ≤ I < 0.1
延長(m)【FRPM管埋設式】	0			0.02 ≤ I < 0.05
延長(m)【タケタイル管埋設式】	0			0.01 ≤ I < 0.02
通水量 (m ³ /sec)	1.00			I < 0.01
余水路内径(m)	1.06			1.06
有効落差(m)	47.5			
a)掘削				

掘削数量 (m ³)	0			
掘削単価 (円/m ³)	0			
工事費 (千円)	0			
b)コンクリート				
コンクリート数量 (m ³)	0			
コンクリート単価 (円/m ³)	0			
工事費 (千円)	0			
c)鉄筋				
鉄筋数量 (t)	0.0			
工事費 (217千円/t)	0			
d)余水管 (鋼管)				
鉄管重量 (t)	0.0			
鉄管単価 (千円/t)	0			
鉄管工事費 (千円)	0			
e)余水管 (FRP(M)管露出式)				[FRP(M)管材料種別工事費]
最大設計内圧 (kg/cm ²)	0.0	←無圧とする	FRP(M)管工事費	0
FRP(M)管工事費 (千円)	0		5種: 2.5kg/cm ²	0
f)余水管 (FRP(M)管埋設式)			[FRP(M)管材料種別工事費]	
最大設計内圧 (kg/cm ²)	0.0	←無圧とする	FRP(M)管工事費	0
FRP(M)管工事費 (千円)	0		5種: 2.5kg/cm ²	0
g)余水管 (ダクタイル管埋設式)			[ダクタイル管材料種別工事費]	
最大設計内圧 (kg/cm ²)	0.0	←無圧とする	ダクタイル管工事費	0
ダクタイル管工事費 (千円)	0		3種: 0.75Mpa	0
< 小計 >	0			
h)その他 [上記合計@20%]	0			
i)既設改修工事費 (千円)		一手入力		
<< 余水路工事費 計 >>	0			
g.水圧管路				カ
型式 [単独=0・余水路併設=1]	0			
露出部延長(m)	0			
延長(m)[鉄管露出式]	0			
通水量 (m ³ /sec)	1.00			[通水量別水圧鉄管重量]
水圧管路内径(m)	0.00			鉄管単位重量(t/m)
有効落差(m)	47.5			Q≤1m ³ /s
a)露出部				1<Q≤2m ³ /s
a))掘削(露出部)				2<Q≤3m ³ /s
掘削数量 (m ³)	0			3<Q≤4m ³ /s
掘削単価 (円/m ³)	0			4<Q≤5m ³ /s
工事費 (千円)	0			5<Q≤6m ³ /s
b))コンクリート(露出部)				6<Q≤7m ³ /s
コンクリート数量 (m ³)	0			7<Q≤8m ³ /s
コンクリート単価 (円/m ³)	48,000			8<Q≤9m ³ /s
工事費 (千円)	0			9<Q≤10m ³ /s
c))鉄筋(露出部)				10<Q≤12m ³ /s
鉄筋数量 (t)	0.0			12<Q≤14m ³ /s
工事費 (217千円/t)	0			14<Q≤16m ³ /s
d))鉄管露出式 (鋼管)				16<Q≤18m ³ /s
鉄管重量 (t)	0.0			18<Q≤20m ³ /s
鉄管単価 (千円/t)	0			20<Q≤30m ³ /s
鉄管工事費 (千円)	0			30<Q≤40m ³ /s
e))FRPM管埋設部				40<Q≤50m ³ /s
e)FRPM管埋設部	67,300			

f)タックタイル錆鉄管埋設部	0				
g)流量計（一測線式） 工事費（千円）	7,040				
h)既設改修工事費（千円）		一手入力			
<< 水圧管路工事費 計 >>	74,340				
h.放水路（無圧） 通水量(m ³ /sec)	1.00				
延長(m) [幌形全巻]	0				
延長(m) [幌形NATM]	0				
延長(m) [馬蹄形全巻]	0				
延長(m) [暗きよ]	0				
延長(m) [開きよ]	10				
h-1:幌形全巻 水路内径(m)	0.00				
a)掘削 掘削数量(m ³)	0				
掘削単価(千円/m ³)	0				
工事費(千円)	0				
b)コンクリート コンクリート数量(m ³)	0				
コンクリート単価(千円/m ³)	0				
工事費(千円)	0				
c)鉄筋 鉄筋数量(t)	0.00				
工事費(179千円/t)	0				
< 小々計 >	0				
d)その他[上記合計@15%]	0				
< 幌形全巻工事費 小計 >	0				
h-2:幌形NATM 水路内径(m)	0.00				
a)掘削 掘削数量(m ³)	0				
掘削単価(千円/m ³)	0				
工事費(千円)	0				
b)コンクリート コンクリート数量(m ³)	0				
コンクリート単価(千円/m ³)	0				
工事費(千円)	0				
c)鉄筋 鉄筋数量(t)	0.00				
工事費(179千円/t)	0				
< 小々計 >	0				
d)その他[上記合計@15%]	0				
< 幌形NATM工事費 小計 >	0				
h-3:馬蹄形全巻 水路内径(m)	0.00				
a)掘削 掘削数量(m ³)	0				
掘削単価(千円/m ³)	0				
工事費(千円)	0				
b)コンクリート コンクリート数量(m ³)	0				
コンクリート単価(千円/m ³)	0				
工事費(千円)	0				

c) 鉄筋					
鉄筋数量 (t)	0.00				
工事費 (179千円/t)	0				
< 小々計 >	0				
d) その他 [上記合計@15%]	0				
< 馬蹄形全巻工事費 小計 >	0				
h-4: 暗きよ					
断面寸法 $\sqrt{B \times H}$ (m)	0.00				
a) 堀削					
堀削数量 (m³)	0				
工事費 (5,600円/m³ : 千円)	0				
b) コンクリート+鉄筋					
延長当たり単価 (千円/m)	0				
工事費 (千円)	0				
< 小々計 >	0				
c) その他 [上記合計@15%]	0				
< 暗きよ工事費 小計 >	0				
h-5: 開きよ					
断面寸法 $\sqrt{B \times H}$ (m)	1.34				
a) 堀削					
堀削数量 (m³)	.34				
工事費 (5,600円/m³ : 千円)	190				
b) コンクリート+鉄筋					
延長当たり単価 (千円/m)	70				
工事費 (千円)	700				
< 小々計 >	890				
c) その他 [上記合計@30%]	267				
< 開きよ工事費 小計 >	1,157				
h-6: 既設改修工事費 (千円)					一手入力
<< 放水路工事費 計 >>	1,186				
i. 放水口 (無圧)					
設備省略要否[設置=0・省略=1]	0				
放水口ゲート[有=0・無=1]	1				
通水量(m³/sec)	1.00				
水路内径 (m)	1.34				
a) 堀削					
堀削数量 (m³)	133				
工事費(千円 : 6,000円/m³)	798				
b) コンクリート					
コンクリート数量 (m³)	32				
工事費(千円 : 42,000円/m³)	1,344				
c) 鉄筋					
鉄筋数量 (t)	2.0				
工事費(千円 : 174,000円/t)	348				
d) 放水口ゲート					
ゲート重量(t)	0.0				
ゲート単価(千円/t)	0				
工事費(千円)	0				
< 小々計 >	2,490				
e) その他 [上記合計@25%]	623				
f) 既設改修工事費 (千円)					一手入力
<< 放水口工事費 計 >>	3,191				
j. 雜工事					
工事費算定式 : 「3. 土木関係工事費1)水路のa.~」の各工事費合計] @10%					
a. 取水ダム	71,872 千円				50kW以下は5%
b. 取水口	2,083 千円				
c. 沈砂池	45,169 千円				
d. 導水路	0 千円				

e. 水槽	0	千円			
f. 余水路	0	千円			
g. 水圧管路	74,340	千円	積上分控除	67,300	
h. 放水路	1,186	千円			
i. 放水口	3,191	千円			
< 小々計 >	197,840	千円		130,540	
<< 雜工事 計 >>	13,054	千円			
 2) 水路合計 >>	210,894	千円			
2) 貯水池又は調整池					
工事費 (千円)	0				
3) 機械装置					
k. 機械装置基礎					
P/S型式 [地上=0・半地下=1・地下=2・正規=3]	0				
最大使用水量 (m³/sec)	1.00				
有効落差 (m)	47.5				
主機台数(台)	1				
a) 堀削					
堀削数量 (m³)	132				
堀削単価 (円/m³)	2,400				
工事費 (千円)	317				
b) コンクリート					
コンクリート数量 (m³)	57				
コンクリート単価 (円/m³)	50,000				
工事費 (千円)	2,850				
c) 鉄筋					
鉄筋数量 (t)	2.2				
鉄筋単価 (円/t)	175,000				
工事費 (千円)	385				
< 小々計 >	3,552				
d) その他「上記合計@20%」	710				
e) 既設改修工事費 (千円)		一手入力			
<< 機械装置基礎工事費 計 >>	4,369				
 I. 諸装置					
工事費算定式 : 土木関係工事費水路+貯水池又は調整池+機械装置基礎の各工事費合計] @10%					
1) 水路	210,894	千円		50kW以下は5%	
2) 貯水池又は調整池	0	千円			
3) 機械装置基礎	4,369	千円			
< 小々計 >	147,963	千円			
< 工事費 計 >	14,796	千円	ダム式は5%		
 機器搬入路工事費 (千円)	0				
		明かり新設	トンネル新設	既設改良	橋梁新設
延長 (m)	0	0	0	0	0
単価 (千円/m)	113	1,056	41	953	
工事費 (千円)	0	0	0	0	
 << 諸装置工事費 計 >>	15,166	千円			
 << 機械装置工事費 計 >>	19,534	千円			
 [土木関係工事費 合計]	230,429	千円			

4. 電気関係工事費					
	1 台				
最大出力	391	1台当り	391	kW	査定率
有効落差	47.5		P/ \sqrt{He} =	56.732	0.90
		ベルトン	フランシス	I R E M	
	ヘルトンデ'フレクタ付加	0			
	千円	水車	80,742	66,120	118,391
[電気関係工事費 計]	163,826	発電機	33,123	33,123	
		その他	62,626	54,583	
		単独運転検出	10,000	10,000	
		計	186,490	163,826	118,391
		1台当り	P/ \sqrt{He} =	56.732	
		クロスフロー	水中タービン	チューブラ	
		水車	58,048	21,053	53,235
		発電機	33,123		33,123
		その他	50,144	11,579	47,497
		単独運転検出	10,000	10,000	10,000
		計	151,314	74,254	143,854
				1,742	
5. 仮設備費					
工事費算定式 : [2. 建築+3. 土木+4. 電気の各工事費合計] @5%					50kW以下は1%
2. 建築関係工事費	16,851				
3. 土木関係工事費	230,429				
4. 電気関係工事費	163,826				
< 小々計 >	343,806	千円			
< 工事費計 >	17,190	千円			
工事用道路工事費 (千円)	0				
		明かり新設	トンネル新設	既設改良	橋梁新設
延長(m)	0	0	0	0	0
単価(千円/m)	113	1,056	41		953
工事費(千円)	0	0	0	0	0
〔 仮設備費 計 〕	17,620	千円	延長(m)	0	←敷砂利補修
			単価(千円/m)	20	
			工事費(千円)	0	
6. 総係費					
冬季作業休止 [有=0・無=1]	1				
率計算・積み上げ	0				
工事費算定式 : [2. 建築+3. 土木+4. 電気関係工事費+5. 仮設備費の合計] @ α					
α : 冬季作業休止有→15%					
冬季作業休止無→7%					
2. 建築関係工事費	16,851	千円			
3. 土木関係工事費	230,429	千円			
4. 電気関係工事費	163,826	千円			
5. 仮設備費	17,620	千円			
< 小々計 >	428,726	千円			
〔 総係費計 〕	30,011				
7. 以上計	462,737	千円			
8. ダム分担金: 検討対象外とする。					

9. 建設中利子				
対象工事費	: 1. 土地・補償費+2. 建築+3. 土木+4. 電気関係工事費+5. 仮設備費+6. 総係費			
工事費算定式	: 対象工事費 × 工期(年) × キャッシュフロー係数 × 利子率			
工期(ヶ月)	10			
工期(計算上の年数：月数/12)	0.83			
キャッシュフロー係数	0.400			
利子率	0.020			
[建設中利子 計]	3,073 千円			
10. 分担関連費				
対象工事費	: 1. 土地・補償費+2. 建築+3. 土木+4. 電気関係工事費+5. 仮設備費+6. 総係費			
工事費算定式	: 対象工事費@1%			
[分担関連費 計]	4,627 千円	50kW以下は省略		
11. 送配電設備費				
送配電線工事費（千円）	9,000			
配電線	配電線	配電線415V	送電線	送電線
240/410V	架空6.6kV	地中6.6kV	架空66kV	架空154kV
延長(m)	0	500	0	0
単価(千円/m)	7.8	18.0	22.0	85.0
工事費(千円)	0	9,000	0	0
[送配電設備費 計]	9,000 千円			
[建設工事費 合計]	479,437 千円			

2.2.3 ランニングコスト（年経費）

年経費の計算は、「ハイドロバレー計画ガイドブック：H17.3 経済産業省資源エネルギー庁、財団法人新エネルギー財団」の「7.3.2 年経費の算出」に基づき算出します。

算定に用いる項目および諸元は下表のとおりです。

表 7.3.2 年経費内訳

経費項目		解説
資本費	減価償却費	減価償却費は、固定資産の取得原価を費用として、各利用年度に合理的かつ計画的に配分する会計上の手続きをいいます。 つまり、いったん固定資産として投入した資本を、その固定資産の耐用年数間に合理的に配分して回収するために計上する費用が減価償却費です。
	金利	金利は事業報酬に相当するものです。 経費として見込むのは、建設借入金の返済利息額となります。
	固定資産税	固定資産税は、地方税法に基づき、土地、家屋、償却資産を課税物件とし、その所有者に課せられる地方税をいいます。 電気事業固定資産のうち土地及び償却資産の帳簿価額に固定資産税率を乗じて算定します。
直接費	人件費	発電所の保守・運用に必要な経費をいいます。
	修繕費	発電設備の維持・管理のための修繕費をいいます。
	その他経費	その他経費の主なものは、委託費、固定資産除却費、補償費、水利使用料、その他費用となります。
間接費	一般管理費	一般管理費は、発電所の運転に関連する経費をいいます。 固定資産税、人件費、修繕費、その他経費の合計額に一般管理費率を乗じて算定します。

表 7.3.3 年経費算出諸元

項目		諸条件・諸数値
減価償却費 ^{*1}	減価償却法	定率法
	残存率	10%
	耐用年数	返済期間と同値
金利 ^{*2}		2%
固定資産税 ^{*1}		建設費/初年度簿価×簿価×1.4%
人件費 ^{*2}		建設費×0.17%
修繕費 ^{*1}	初年度率	建設費×0.310%
	年增加率	建設費×0.019%
その他経費 ^{*1}		建設費×0.31%
一般管理費 ^{*1}		(固定資産税+人件費+修繕費+その他経費)×12%
割引率 ^{*2}		2%

*1) 水力発電効用評価の手引き(平成11年3月)：資源エネルギー庁、新エネルギー財団

*2) 平成16年度末時点における標準的な利率

弊社では法改正により残存率は0%に変更しています。

減価償却期間＝事業期間20年間としています。

2.2.4 税前IRR

税前IRRは税引き前の純利益に減価償却費と金利を加算した税前のフリーキャッシュで計算します。

計算自体はエクセルの関数式の「IRR」にて当該期間のフリーキャッシュの範囲を指定すれば計算してくれます。

税後IRRについては、会社規模や売上高によって税率等が変化しますので弊社では参考として示しています。

弊社の「概略可能性調査結果総括表」は以下のとおりです。

○○県○○町○○川

地点概略可能性調査結果総括表

項 目	内 容			備 考
	取水①	取水②	取水③	
水系河川名	●川水系○川	該当なし	該当なし	
河川等級	1級	該当なし	該当なし	「川の名前を調べる地図」より参照
取水地点位置	○○県○○町大字○	該当なし	該当なし	
発電所地点位置	○○県○○町大字○			
自然公園の指定状況		特別地域		「土地利権調整組合支援ネットワークシステム」他より
最大出力(kW)	391			水車発電機総合効率 0.840
最大使用水量(m3/s)	1.000 計	0.000	0.000	流況推定 : ○○ダム CA= 60.00
常時使用水量(m3/s)		0.00		湛水量 = (維持流量 + 淌溉水量)
最大理論水力(kW)	466			
常時理論水力(kW)	0			
取水位(EL.m)	100.00			
放水位(EL.m)	50.00			
総落差(m)	50.00			
最大損失落差(m)	2.50			
最大有効落差(m)	47.50			
常時有効落差(m)	50.00			
河川維持流量(m3/s)	1/1～12/31 0 最大 計	0.547 0.000 0.55	0.000 0.000 0.000	1級河川かつ自然公園特別地域内のため維持流量を設定する。 10ヶ年最小湯水とする。
魚道放流量(m3/s)	1/1～12/31 0	0.547 0.000	0.000 0.000	
流域面積(km2)	計	20.00	20.00	
発電諸元	取水ダム	高さ(m) 頂長(m)	5 20	該当なし 該当なし
	取水口	取水方式	チロル式	該当なし 該当なし
	沈砂池	新設or兼用	水槽兼用	該当なし 該当なし
	導水路	延長(m)	0	0
	水槽	新設or省略	省略	
	余水路	新設or省略 延長(m)	0	省略 0
	水圧管路	ボリ管理設延長・径(m)	0	埋設深さ(土被り) 0.60
		FRP管理設延長・径(m)	502	凍結深度(参考) 0.04
		ガラス管理設延長・径(m)	0	舗装率 100%
		露出部延長・径(m)	0	
		計	502	
	水車形式	横軸 Francis 水車		
	放水路	延長(m)	10	
	上用通路	延長(m)	0	なし
	連系配電線	延長(m)	500	発電所下流国道高圧配電線連系
発電量	① F I T 買取単価(円/kWh)		29	
	発電量区分	10ヶ年平均	10ヶ年最小	
	②年間可能発電電力量(MWh/年)	2,174	1,730	
	③有効電力量(MWh/年)	2,074	1,650	
	設備利用率(②/最大出力×8760h)	63.5%	50.5%	
	④年効用: V (①×③ 千円/年)	60,144	47,856	
建設工事費	⑤建設工事費計(千円)		479,437	
	1. 土地・補償費		4,000	
	2. 建物関係工事費		16,851	発電計画工事費積算手引き発電計画IIで算定 各種権利補償 地上式
	1) 水路	a. 取水ダム b. 取水口 c. 沈砂池 d. 導水路 e. 水槽 f. 余水路 g. 水圧管路 h. 放水路 i. 放水口 j. 施工工事 k. 基礎 l. 諸装置	71,872 2,083 45,169 0 0 0 74,340 1,186 3,191 13,054 4,369 15,166 19,534 0 230,429	除塵機省略 除塵機設置 水路構なし
	3. 土木関係工事費	「<小計>	210,894	
	2) 貯水池又は調整池		0	該当なし
	3) 機械装置			地上式
事業性	4. 電気関係工事費		163,826	
	5. 仮設備費		17,620	
	〔 1～5 計 〕		432,726	
	6. 総 係 費		30,011	
	〔 1～6 計 〕		462,737	
	7. ダム分担金			工期(ヶ月) 10 利子率 2.00%
	8. 建設中利子		3,073	
	9. 分担開通費		4,627	[1～6 計] ×1%
	10. 送配電設備費		9,000	
	建設単価(⑤/② 円/kWh)		221	
	⑥年経費: C (⑤×年経費率0.07721 千円/年)		37,017	
	V = C (④-⑥ 千円/年)	23,127	10,839	
	評価: C/V (⑥/④)	0.62	0.77	事業期間(返済期間:年) 耐用年数(年)
	税前IRR	9.0%	6.6%	20 20
	参考:税後IRR	7.1%	4.7%	資本金1千万円以下の法人が対象

第3章 実施設計編

弊社では基本設計を省略し概略設計から実施設計へ移行します。

この方が事業者の費用負担が少なくなるためです。

3.1 発電施設の測量

概略検討にて決定した各構造物（取水ダム、取水口、導水路、沈砂池、水槽、水圧管路、発電所基礎、放水路等）の配置計画、形状や素材、設置間隔、容量等について詳細検討を行います。

検討に際してはまず事業者が全体平面図を作成し弊社に提示します。

提示された全体平面図を基に主要構造物の基本構造図を作成し、取水ダムから放水口までの線形中心線および横断面図線形を設定し事業者へ提示します。

ここで、適当な線形を設定するとかなりの手戻りとなり場合によっては再測量となりコストが掛かりますので注意します。

横断面図はおおよそ 50 m ピッチ程度です。

事業者にて全体縦断面図、横断面図を作成し弊社に提示して頂きます。

そこから、実施設計が始まります。

なお、発電所建屋については建築基準法対象となる地域では弊社では扱えないため、別途事業者が発注する設計によります。

3.2 鉛毒水対策

実施設計に入る前に河川水の水質を確認します。

鉛毒水が混入し強酸性を示しているが否か。程度により鉛毒水対策が必要になります。

基本的な鉛毒水対策は以下のとおりです。

- ・鉄筋コンクリート構造物（道路土工カルバート工指針 P-118 に準拠）
 - ・常時鉛毒水と接している面については、耐酸性防食材を塗布する。
 - ・常時鉛毒水と接していない面については、対策しない。
- ・管路（メーカー提示ほか資料に準拠：次頁のとおり）
 - ・導水路はFRPM管を採用する。
 - ・水圧管路はFRPM管を採用するが、設計耐圧を超過する箇所はダクタイル鋳鉄管（エポキシ樹脂粉体塗装）およびステンレス管を採用する。
- ・鋼構造物
 - ・常時鉛毒水と接しているゲート・バルブ類は、ステンレス製とする。
 - ・常時鉛毒水と接している点検ステップ類は、合成樹脂またはステンレス製とする。

※K-2規格=下水道用FRPM管の規格になります。
下記に記載の通常管=JIS A 5350準拠品の内圧管・外圧管です。

取扱い注意

平成13年11月

強プラ管の耐酸性に関するQ & A

K-2-2000 耐酸性能について

①K-2規格に耐酸性能に関する規定が追加されたのは何故か？従来から、強プラ管は酸やアルカリに強いとされてきたが、それは間違いだったのか？

ステンレス鋼でも場合によっては錆びるよう、ほとんどの材料には適用範囲があります。酸やアルカリに強いと言われている強プラ管も例外ではありません。

下水道法による排水の規制値がpH5～9であることから、従来の強プラ管はそれに安全を見込んでpH3に耐えられるものとしていました。このpH3というは、コンクリート管では化学反応を生じて穴が開いていくほどの酸性状態です。

しかし近年、我が国においても食生活の変化等に伴い、硫化水素による下水道施設の腐食問題が大きくクローズアップされて参りました。下水道管渠において、場合によってはpH3よりも更に強い酸性環境が存在することが明らかとなってきたわけです。

このように硫化水素による腐食問題が下水道関係者に広く認識されるとともに、FRP製パイプの耐酸試験(耐ひずみ腐食試験)についてISOでも規格化される方向であること等から、いち早くそれを採り入れ、pH0相当にまで耐えられるよう耐酸性能を高めた強プラ管を開発し、それを新たにK-2規格品と致しました。

[参考資料]

ISO/DIS 10467 Plastics piping systems for pressure and non-pressure drainage and sewerage — Glass-reinforced thermosetting plastics (GRP) systems based on unsaturated polyester (UP) resin

ISO 10952 Plastics piping systems — Glass-reinforced thermosetting plastics (GRP) pipes and fittings — Determination of the resistance to chemical attack from the inside of a section in a deflected condition

②新しいK-2規格品は、従来品とどの程度違うのか？

次表のように想定した管内環境が異なります。許容たわみ率は同じです。

	想定した管内環境	許容たわみ率
新規格品	pH0相当	5%
従来品	pH3	5%

[参考] pH(ペーハー：水素イオン濃度指数)について



- 1 -

F R P M管の耐酸性（K鐵工所提示資料）

7 塗膜の耐酸性

エポキシ樹脂粉体塗装の塗膜の耐酸性を確認するため、強酸性水による通水試験を行った。

1) 試験方法

【通水条件】

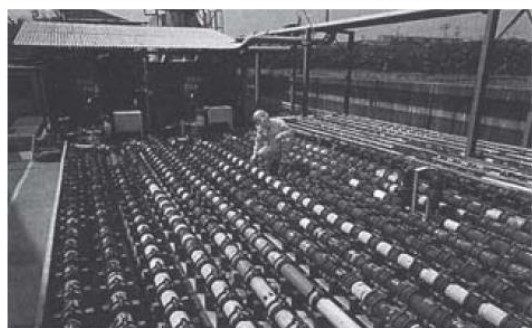
- ・ 水のpH値：2および4の2種類（塩酸を用いて調整）
- ・ 流速：約2.3m/s
- ・ その他：循環通水

試験状況を図表4-2-3-13に示す。

2) 試験結果

エポキシ樹脂粉体塗装には、13年間経過しても塗膜の膨れや剥がれは認められず、優れた耐酸性を有しているといえる。

●図表4-2-3-13 強酸性水通水試験状況



手前がpH2、奥がpH4の通水管路

ダクタイル鉄管（エポキシ樹脂粉体塗装）の耐酸性：日本ダクタイル鉄管協会

3.3 各構造物設計の基本

3.3.1 取水ダム

(1) 取水ダムの位置

取水ダムは河川幅が狭まり工事がし易く水圧管路を埋設する道路へのアプローチが容易な位置に設定します。

砂防ダムを利用する場合、満砂状態かあるいは事業期間中に満砂になる可能性が高い場合、チロル取水方式としてダム背面腹付け式とします。

満砂状態では無く事業期間中に満砂になる可能性が無い場合は、チロル取水ダム背面腹付け方式とするか、サイフォン取水方式します。

この場合、砂防ダムの水通し幅が長く高さも高いとコストの安いサイフォン方式を選択する場合もあります。

(2) 構造

取水方式をどうするかで変化しますが、基本的には砂防ダムの様な重力式ダムにします。

チロル取水方式であれば、取水ダム内部にチロル水路を設置します。

側方取水方式であれば、越流型のダムとなり、排砂ゲートを取水口の横に設置する必要があります。

魚道が必要な場合は階段式魚道を設置します。

3.3.2 取水口

(1) 取水方式

砂防ダムを利用しない渓流取水とする場合で、砂防指定地や河川勾配が急で土石災害が予想される場合はチロル取水方式を選択します。

そうではない場合は側方取水方式でも良いですが、極力チロル取水方式をお勧めします。

見分け方としては、現地調査時に河川の状況を見ます。

玉石、転石がゴロゴロしていたら過去に土石流が頻発しており危険です。

そうでは無く河岸に樹木がよく生えていて倒木などが無い場合は、比較的安全です。

しかし、気候変動により想定外の降水が頻発していますので、チロルをお勧めしている訳です。

1) チロルのメリット

土石流災害に強く復旧も容易で安心です。

コスト的に安価です。

2) チロルのデメリット

砂防ダム背面に腹付けする場合、水通しが長いと損失落差が大きくなります。

この場合、チロル内部に土石が堆積し易くなるので内部構造を検討します。

3) 側方取水のメリット

安定して取水できますが、こまめな除塵が必要ですので自動除塵機を設置した方が良いです。

チロルの様な落差損失がないです。

チロルだとスクリーンから落下して沈砂池へ流れる過程で1m以上落差損失します。

例えば総落差50mで1mの損失は結構、事業性に影響します。

4) 側方取水のデメリット

取水ダムに大きな排砂ゲートを設置するためコストUPします。

ダムには直接大きな転石が流れるため、排砂ゲートを大きくしないといけません。

(2) チロル式スクリーン

チロル式取水工は水理公式集では「縦格子形底部取水工」と呼ばれます。

スクリーンにはH型鋼、レール鋼、鋼管、平鋼e t cと色々です。

水理的に一番取水効率が良いのは円形断面です。上記の中では鋼管が当てはまります。

過去の弊社で採用したのは、丸鋼・レール鋼・平鋼・丸鋼+平鋼と試行錯誤しているのが実際です。

スクリーンに求められる性能は、取水性能と強度および塵芥・土石流入防止性能です。

また、コストも重要です。

最新型のスクリーンでは取水性能の良く安価な丸鋼を採用しました。

強度的には太い径にして転石に対する強度を確保し、スクリーン純間隔は10mm程

度とし、勾配は $0^{\circ} \sim 30^{\circ}$ と流れやすくして塵芥・土石流入防止を図ります。
安い部材なのでコストも安価になり加工もし易いです。
事業期間は20年なので高価かつ加工し辛いステンレス鋼は採用しません。
またもし転石等により破損した場合は、1mパネル1枚を取替えれば対応出来ます。

(3) 取水口制水ゲート

取水口には制水ゲートを設置します。
これは発電所事故時の断水時の対応および設備のメンテナンスを行うためです。
ゲート形式は後面4方水密ゲートとします。電動か手動かあるいは遠隔操作にするかは事業者の判断ですが、冬期は遮断される場合は電動・遠隔操作が好ましいでしょう。

(4) 取水口排砂ゲート

取水工チロル内部の排砂のため排砂ゲートを設置する場合があります。
チロル内部に土砂が堆積しない設計とすれば不要です。
ゲート形式は後面4方水密ゲートとします。電動か手動かあるいは遠隔操作にするかは事業者の判断ですが、冬期は遮断される場合は電動・遠隔操作が好ましいでしょう。

(5) 点検口

取水口内の点検に必要であれば点検口を設置します。
点検口入口はマンホールやグレーチング（T-2細目）とし、壁面には0.3m間隔程度でステップを埋め込む必要があります。

(6) 放水銃

とある事業者さんからチロルスクリーンの凍結対策を相談され色々と検討した結果、ゴミ処理場の消防用放水銃を応用して氷結したスクリーンの氷を吹き飛ばしたらよいのでは？と提案しました。

この放水銃は遠隔操作も可能で全方向への放水が可能と言う優れものでした。
当然コストは掛かりますが冬季に現地へ行けないような山間僻地での取水工に対しては効果抜群のようでした。

副次的な効果として塵芥処理にも効果があったとの事で良い提案をしました。
特許も取られていますが、弊社へは事後報告程度で未だに説明はありません。

3.3.3 沈砂池

(1) 規模

沈砂池本体の幅、長さの決定については後述の水理計算によります。

沈砂池には余水吐を設置し、最大使用水量および洪水時の余水処理を行います。

(2) 計画堆砂量

沈砂池内の計画堆砂量に関する基準はありません。

冬期閉鎖となるような地点については、可能な限り確保するものとしますが、このような地点は遠隔操作にて冬期でも排砂が可能な計画にする必要があります。

ただし、コストを伴うため最終的には事業者の判断によります。

水路内に土砂流入した場合は、水車へのダメージが心配されます。

なお、通常運転時には土石が掃流されずに堆積する虞があるため、巡回点検等により堆砂状況を把握し、必要に応じて後述の沈砂池排砂ゲートにより掃流（フラッシング）する必要があります。

(3) 沈砂池自動除塵機

沈砂池自動除塵機は極力設置した方が良いと考えます。特に冬期閉鎖となるような地点については、可能な限り設置した方が良いですが、コストを伴うため最終的には事業者の判断によります。

小水力用にはスクリーン兼用のワイヤーベルト式が多く採用されています。

この方式はスクリーンの目幅は約10mm程度と小さく堆積土砂の堰き止め効果が期待されます。

(4) 沈砂池排砂ゲート

沈砂池内の排砂のためゲートを設置する必要があります。

ゲート形式は後面4方水密ゲートとします。電動か手動かあるいは遠隔操作にするかは事業者の判断ですが、冬期は遮断される場合は電動・遠隔操作が好ましいでしょう。

(5) 排砂路兼余水路

排砂路兼余水路を地山法面に設置する場合は河川の洗堀防止のため水路末端に減勢工を設置して緩やかに河川へ放流する必要があります。

(6) 点検口

沈砂池の点検に必要であれば点検口を設置します。

点検口入口はグレーチング（T-2細目）とし、壁面には0.3m間隔でステップを埋め込む必要があります。

3.3.4 導水路

本来導水路は取水口または沈砂池から水槽へ導水する無圧水路です。

小水力では沈砂池または水槽にて水圧を掛けて水圧管路にて発電所まで導水するのがほとんどで導水路を設置するケースは少ないです。

導水路はトンネル、暗渠、開水路に分類され、いずれも無圧です。

トンネルは非常にコストが掛かるため発電規模は最低でも 1 MWは必要になります。

暗渠や開水路はよくあります。

また、稀に逆サイフォン水路もあります。

(1) 暗渠、開水路

暗渠の材質はF R P M管、ポリエチレン管、鉄筋コンクリート水路などがあります。

いずれの材質でも設計可能ですが、コスト的にF R P M管が有利だと思われます。

(2) 逆サイフォン水路

逆サイフォン水路は取水地点から対岸または沢渡りして下流へ導水するための水路です。

逆サイフォン上下部には水位を調整する水槽が必要です。

サイフォン管の質はF R P M管、ポリエチレン管、鉄筋コンクリート水路などがあります。

いずれの材質でも設計可能ですが、粗度係数が低く（0.010）損失水頭が少ないポリエチレン管またはF R P M管が有利だと思われます。

3.3.5 水槽

(1) 規模

水槽は発電運用に必要な容量、水深を有していることが必要です。

水槽本体の幅、長さの決定については後述の水理計算によります。

水槽には必要に応じて余水吐を設置し、最大使用水量および洪水時の余水処理を行います。

(2) 点検口

水槽の点検に必要であれば点検口を設置します。

点検口入口はグレーチング（T-2 細目）とし、壁面には 0.3m 間隔でステップを埋め込む必要があります。

3.3.6 水圧管路

水圧管路は既設道路または地山に埋設配管とし、発電所付近や途中の急峻な法面は露出配管にする必要があります。

(1) 構造

水圧管の埋設深さ（土被り）については、今までの実績より水力発電所のように水量が多く径が大きい管は凍結しないことが分かっていますが、水鉄基準の規定により寒冷地では凍結深度より深くし更に道路の基準に従います。

しかし、凍結に対して埋設より厳しい露出管には凍結に対する何らの規定も無いことには矛盾を感じます。

管内径が同じであれば水圧管内の流速は変化しませんから、距離が短いからかあるいは斜面に設置されるため氷結が流れ易いからなのかは不明です。

道路路面に作用する活荷重については、大型車両の通行に考慮して T-25（25 t 車相当）とします。

水圧管平面曲り部の計算上の必要箇所にはスラストブロックを設置し曲り部の内圧による不平衡力や遠心力に対する安定性を確保します。

水圧管点検マンホールについては、水門鉄管技術基準 P-120 第 41 条の規定では「必要に応じ設ける」とされていますが、小口径の場合マンホールは設置出来ません。ただし、点検用単管（ $L = 1\text{ m}$ ）を設置する場合があります。

超音波流量計は発電所付近の直線区間（10D 以上必要）に設置します。

また、水圧管末端には水圧管ドレーンバルブを配置し、水圧管内の断水作業を行うものとしています。水圧管の抜水時間は半日程度にしています。

(2) 水圧管の材質

1) 沈砂池・水槽埋設部

沈砂池または水槽に埋め込む水圧管は本体の沈下によるせん断破壊に対して安全であるように JIS 鋼管とします。

2) 道路・地山埋設部

市販品で適用可能な水圧管は軽量で施工性の良い「FRP (M) 管」と水道管などに実績がある「ダクタイル鉄管」「高密度ポリエチレン管」および「JIS 鋼管」の 4 種類があります。

FRP (M) 管の種別は内圧強度に優れたガラス繊維だけで構成される FRP 管と外圧強度に優れた樹脂モルタル層を含む FRP (M) 管があり、コストは FRP (M) 管の方が優れていますが、内圧強度は 1.3 MPa (1 種管) が上限です。

FRP 管は任意の設計内圧による設計が可能ですが、2.0 MPa が上限です。

しかし、特注となるためコストが 3 倍程度と高価です。

ダクタイル鉄管は呼び径 300mm で最大 2 MPa 以上耐えられますが FRP (M) 管より高価であるものの、大口径でも極端なコストアップはしません。

高密度ポリエチレン管は最大 1. 6 MPa の耐圧がありますが、大口径の場合 F R P (M) 管より相当高価となります。

水理特性として粗度係数が低い順は高密度ポリエチレン管 0.010、F R P (M) 管 0.011、ダクタイル鉄管や J I S 鋼管は 0.013 であり、高密度ポリエチレン管の水理特性が良いです。

設計・施工面での制約としては、F R P (M)、ダクタイル鉄管ともに単管を差し込み接続するため、継手部の強度に若干不安があります。

高密度ポリエチレン管は単管を溶着し一体化するため、シームレス構造となり強度的な不安は少ないです。また、地形が急斜面である場合、崖崩れ等により管が宙づりになっても脱落しない可能性が高いです。

J I S 溶接鋼管も同様です。

また、平面的・縦断的な曲げ配管の可否については、メーカーの指定では F R P M 管およびダクタイル鉄管は平面曲げ配管に限定され、平面・縦断複合曲げ配管は高密度ポリエチレン管と J I S 鋼管のみ可能です。

ただし、縦断的な曲げ配管は曲げ配管接続部の埋戻し土の締固め転圧に十分配慮し埋戻し土の流失が無く沈下が無いものとすれば問題ないものと考えられるものの、急傾斜部の埋設設計は出来ません。

以上、のような特性がありますが、事業者の希望により設計します。

3) 露出配管部

道路埋設部をショートカットする場合や道路が無い場合は地山斜面に露出配管します。

露出配管にすると気温差の影響により膨張収縮しますから、影響を受け易いポリエチレン管は避けた方が良いです。

弊社初期の設計ではありましたが、強度的なことより管が所謂グネるため見た目が悪く感じます。

それとポリエチレン管が固定台コンクリートと出入りする部分で管の膨張による剪断破壊の懸念が発生します。

なので、ポリエチレン管以外の材質にします。

F R P M 管や J I S 鋼管、ダクタイル鉄管です。

管路の基礎は斜面上下や中間部に固定台を設置し、固定台間には小支台を設置するか、連続基礎にして半埋設にすることもあります。

現場の状況により判断します。

4) 発電所付近

水車入口との調整管部は J I S 鋼管にします。

5) ドレーン設備

ドレーン管を水圧管調整管より分岐し、ドレーンバルブを経由して放水路へ排出する

構造とします。

(3) 水管橋部

水圧管路の途中には河川を横切るために水管橋を設置する場合があります。

水管橋は基礎橋台も含めコストが掛かるため出来るだけ避けた方が良いです。

今までの事例では2地点あります。

構造は安価なパイプビームが良く支間20m程度まで可能です。

弊社では概略設計までで、詳細設計は事業者からメーカーへ依頼してもらっています。

3.3.7 発電所基礎

発電所基礎は洪水時に水没しない高さを確保します。

(1) 構造

発電所基礎は鉄筋コンクリート製直接基礎にします。

基礎は発電した後の水が放水される放水庭と一体化した構造です。

放水庭の寸法は水車型式により決定されます。

フランシス水車などの反動水車ではドラフト吸出し高さを確保するため、深いプールになります。

ペルトン水車などの衝動水車では必要ありませんが、クロスフロー水車で吸出し管を付けてドラフト効果を求める場合は、プールが必要になります。

これらの寸法は水車メーカーと協議して決定します。

また、水車発電機点検スペースや配電盤開閉装置設置スペースを確保します。

3.3.8 放水路、放水口

(1) 構造

放水路は開水路または暗渠とし放水口まで設置します。

放水口は河岸とうまく摺り付くようなウイング形状にするのが通常です。

3.4 土木構造物の水理計算

小水力発電所の設計において一番重要であるのは水理計算です。

ここを間違うと出力が出ないとか水が溢れたなどの異状が発生します。

以下、具体的な水理計算方法について述べます。

3.4.1 最大出力と最大使用水量の決定

最大出力について、総落差、有効落差を詳細計算し検討します。

(1) 有効落差

1) 最大使用水量の決定

最大使用水量は「第2章概略設計編」で検討した流量付近にします。

ただし、最大出力をF I T制度買取り単価の閾値にする場合は、後述によります。

2) 取水位の決定

有効落差の計算に使用する取水位はチロル取水方式では水槽基準水位とします。

側方取水方式やサイフォン取水方式では取水ダム天端水位とします。

水槽基準水位の計算方法は後述のとおりです。

3) 放水位の決定

採用する水車型式により変化します。

フランシス水車などの反動水車は放水庭水位、ペルトン水車などの衝動水車は水車中心標高とします。

ただし、2射横軸ペルトンでは実際の水車中心がブレるため、メーカー指定値とします。また、吸出し効果のあるクロスフロー水車もメーカー指定値とします。

4) 総落差、最大損失落差、最大有効落差、最大出力の計算

i) 総落差

総落差 = 取水位 - 放水位

ii) 最大損失落差の計算

最大出力時の損失落差の項目一覧は下表のとおりです。

損失の項目		備考
取水口	① 流入口における損失	チロル取水方式以外
	② スクリーンによる損失	チロル取水方式以外
沈砂池・ 水槽	③ スクリーンによる損失	自動除塵機兼用の場合、メーカー聞取
	④ 余裕	上記 20%端数切上げ
水圧管路	⑤ 水圧管流入による損失	
	⑥ 摩擦による損失	
	⑦ 屈折による損失	
	⑧ 曲りによる損失	
	⑨ 漸縮による損失	
	⑩ 入口弁による損失	
	⑪ 余裕	上記 1%程度
放水路	⑫ 排棄損失	反動水車のみ

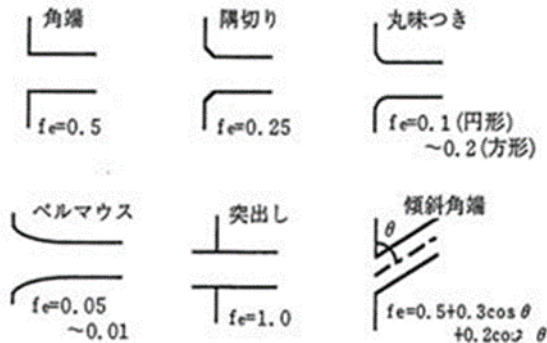
損失落差の計算方法は以下のとおりです。

①流入口における水面低下量

$$h_e = (1 + f_e) \cdot v_2^2 / 2g \quad \text{発電水力演習 P-92 3.25 式}$$

ここに

f_e : 流入損失係数 下図より選択



v_2 : 流入後の平均流速

②取水口スクリーンまたは水槽スクリーンによる損失 (バースクリーンの場合)

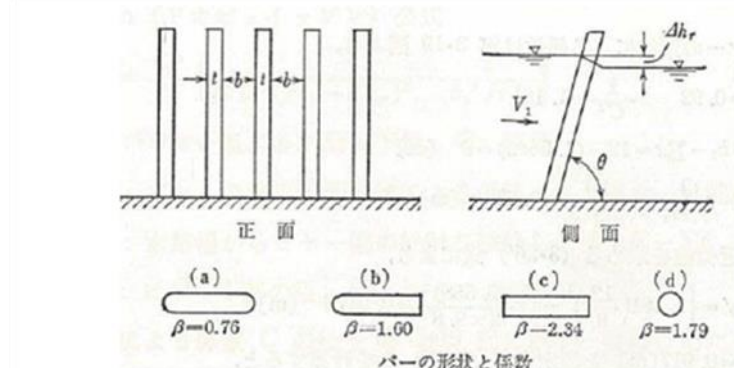
$$h_r = f_r \cdot v_1^2 / 2g \cdot \alpha \quad \text{発電水力演習 P-94 3.27' 式}$$

ここに

f_r : スクリーンによる損失係数

$$f_r = \beta \cdot \sin \theta \cdot (t/b)^{(4/3)}$$

β : スクリーンバーの断面形状による係数 下図より選択



θ : スクリーンの傾斜角 (°)

t : スクリーンバーの板厚 (mm)

b : スクリーンバー純間隔 (mm)

v_1 : スクリーンの上流側の平均流速 (m/s)

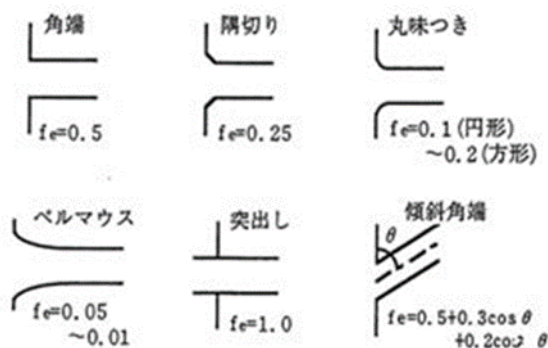
α : 割増率 3 (塵芥閉塞を考慮)

⑤水圧管流入による損失

$$h_e = f_e \cdot v_2^2 / 2g \quad \text{発電水力演習 P-81 3.15 式}$$

ここに

f_e : 流入による損失係数 下図より選択



v_2 : 流入後の平均流速 (m/s)

⑥摩擦による損失

$$hf = f \cdot L/D \cdot v^2/2g \quad \text{発電水力演習 P-77 3.13a 式}$$

ここに

f : 摩擦損失係数

$$f = 124.5 \cdot n^2/D^{(1/3)}$$

n : マニングの粗度係数

D : 管の内径 (m)

L : 管路の長さ (m)

v : 平均流速 (m/s)

⑦曲りによる損失

$$hb = fb1 \cdot fb2 \cdot v^2/2g \quad \text{発電水力演習 P-86 3.20 式}$$

ここに

$fb1$: 損失係数、 $fb2$: 損失係数

$$fb1 = 0.131 + 0.1632(D/\rho)^{(7/2)}$$

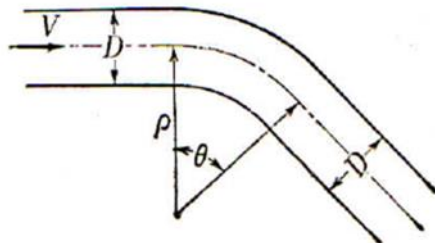
$$fb2 = (\theta/90^\circ)^{(1/2)}$$

D : 管の内径 (m)

ρ : 曲りの曲率半径 (m)

θ : 曲りの中心角 ($^\circ$)

v : 平均流速 (m/s)



⑧屈折による損失

$$hbe = fb e \cdot v^2/2g \quad \text{発電水力演習 P-88 3.22 式}$$

ここに

f_{be} : 損失係数

$$f_{be} = 0.946 \cdot \sin^2 \alpha / 2 + 2.05 \cdot \sin^4 \alpha / 2$$

α : 屈折角 (°)

v : 平均流速 (m/s)

⑨漸縮による損失

$$h_{gc} = f_{gc} \cdot v_2^2 / 2g \quad \text{発電水力演習 P-83 3.19 式}$$

ここに

f_{gc} : 漸縮による損失係数 第 3-11 図より読み取り

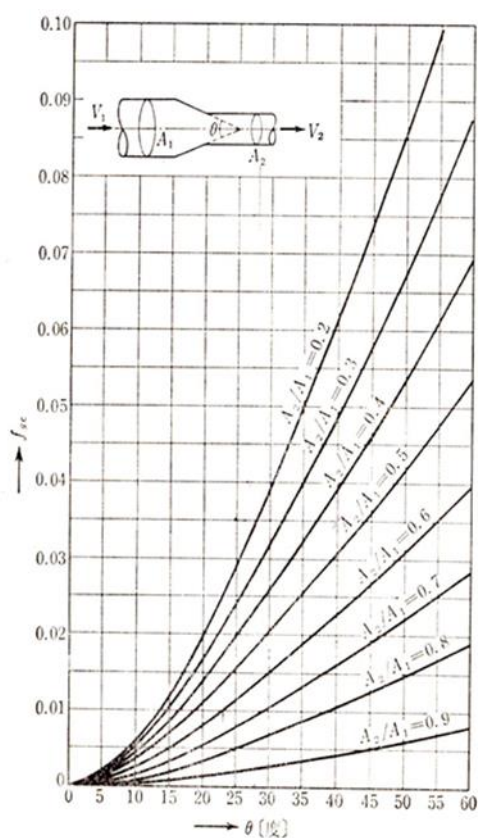
v_2 : 漸縮後の平均流速 (m/s)

D_1 : 漸縮前水圧管径 (m)

D_2 : 漸縮後水圧管径 (m)

θ = 漸縮角度 (°)

$$A_2/A_1 = (D_2/D_1)^2$$



第 3-11 図 漸縮損失係数

⑩入口弁による損失

$$h_v = f_v \cdot v^2 / 2g \quad \text{発電水力演習 P-125 3.52 式}$$

ここに

f_v : バルブによる損失係数 下図より選択

v : 平均流速 (m/s)

入力弁の適応落差・性能比較表

	ロータリ弁	ちょう形弁	複素弁
適用落差	250m以上	200m以下	350m以下
損失係数 ζ_p 〔注1〕	≥ 0	弁体最大厚さ/弁口径 (0.25~0.35)	0.1~0.2
漏水量係数 K 〔注2〕	0.004	0.2	0.05
構造・寸法	やや複雑、大形	簡単、中型	簡単、やや小形

(注1) 損失係数 ζ_p は下記式による

$$H_f = \zeta_p \frac{v^2}{2g}$$
 ここに H_f : 損失水頭 (m)
 v : 管路平均流速 (m/s)

(注2) 漏水量係数 K は下記式による

$$Q_f = KPDv$$
 ここに Q_f : 漏水量 (l/min)
 P : 最大静水圧 (kgf/cm²)
 Dv : 弁口径 (m)

「ハイドロタービン」ターボ機械協会編 日本興業出版 p.124

表 6.1 入力弁の適応落差・性能比較表より

⑫ 排棄損失(反動水車)

$$h_{loss} = f_{se} \cdot v^2 / 2g \quad \text{発電水力演習 P-129}$$

ここに

f_{se} : 急拵損失係数

$$f_{se} = \{1 - (a/A)\}^2$$

a : 吸出管出口の流積 (m²)

A : 放水庭における流積 (m²)

v : 急拵前の平均流速 (m/s)

iii) 最大有効落差の計算

最大有効落差 = 総落差 - 損失落差

iv) 最大出力の計算

$$P = 9.8 \cdot Q \cdot H \cdot \eta_t \cdot \eta_g$$

ここに

P : 最大出力 (kW)

Q : 最大使用水量 (m³/s)

H : 最大有効落差 (m)

η_t : 水車効率 メーカー提示値

η_g : 発電機効率 メーカー提示値

計算事例は以下のとおり。

最大有効落差、最大出力の計算

1. 条件

取水位	818.500 m (水槽基準水位)
放水位	723.000 m (水車中心標高)
総落差	95.500 m
使用水量	0.264 m ³ /s
水圧管内径	
・SGP管部 (水槽)	
SGP 450A	0.4414 m
・ポリエチレン管部 (林道)	
SDR11 500A	0.4092 m
SDR13.6 500A	0.4264 m
SDR17 500A	0.4406 m
SDR21 500A	0.4522 m
SDR26 500A	0.4620 m
・JIS鋼管管部 (発電所内)	
STPY 400 450A	0.4452 m
STPY 400 350A	0.3436 m
管路延長	840.68 m (水路縦断面図より)
粗度係数	0.010 (ポリエチレン管)
粗度係数	0.013 (鋼管)

2. 損失落差の計算

a 沈砂池における損失水頭

- (a). スクリーンによる損失 (除塵機ワイヤーベルト相当)
【メーカー提示データ】

《1. 機種の選定》

1: 条件

水路幅	W0 = 1 m
水路高	H = 2.25 m
最大水量	Q = 25,056 m ³ /D (0.290 m ³ /s)
最大水深	h = 1 m
スクリーン目幅(公称)	a = 10 mm
据付角度	θ = 70 度
機械機幅	W1 = 0.9 m
有効機幅	W2 = 0.68 m
通過流速	v = 0.60 m/s
スクリーン開口率	η = 67.1 %

2: 水路幅より機械幅を決定

水路幅に対し、両サイド 50 mm の余裕を取り、機械幅 W1 とする。

$$\begin{aligned} W_0 &= W_0 - (0.05 \times 2) \\ &= 1 - (0.05 \times 2) \\ &= \underline{\underline{0.9 \text{ m}}} \end{aligned}$$

3: 機械幅より有効機幅を決定

機械幅に対し、両サイド 110 mm の余裕を取り、有効機幅 W2 とする。

$$\begin{aligned} W_2 &= W_1 - (0.11 \times 2) \\ &= 0.9 - (0.11 \times 2) \\ &= \underline{\underline{0.68 \text{ m}}} \end{aligned}$$

4: 有効機幅から通過流速を算出

$$\begin{aligned} v &= \frac{Q}{W_2 \times h \times \eta} \times \sin \theta \\ &= \frac{0.290}{0.68 \times 1.00 \times 0.671} \times \sin 70^\circ \\ &= \underline{\underline{0.60 \text{ m/s}}} \end{aligned}$$

《2. 損失水頭による水位変化量の算出》

1: 条件

据付角度	θ	=	70 度
スクリーン断面形状係数	β	=	2.34
通過流速	v	=	0.60 m/s
スクリーン開口率	A	=	67.1 %
スクリーン閉塞率	C	=	32.9 %
スクリーン損失係数	f_r	=	0.850
損失水頭	h_r	=	0.01547 m
水位変化量	Δh_r	=	15.5 mm

スクリーン断面形状係数 β	
斜面	1.60
直角	1.77
平行	2.34
丸形	1.73

2: スクリーン損失係数

$$\begin{aligned}
 f_r &= \beta \times \sin \theta \left(\frac{C}{A} \right)^{\frac{4}{3}} \\
 &= 2.34 \times \sin 70 \left(\frac{0.329}{0.671} \right)^{\frac{4}{3}} \\
 &= \underline{\underline{0.850}}
 \end{aligned}$$

3: 損失水頭

$$\begin{aligned}
 \Delta h_r &= f_r \times \frac{v^2}{2g} \\
 &= 0.850 \times \frac{0.60^2}{2 \times 9.8} \\
 &= 0.01547 \text{ m} \\
 &= 15.5 \text{ mm}
 \end{aligned}$$

計算水頭損失による水位変化量は 15.5 mmとなります。

よって

= 0.016 m となるが、塵芥付着時の割増しとして 3 倍程度の余裕を考慮する。

(b). 損失水頭

$$\begin{aligned}
 h = h_r &\quad \times \quad 3 \text{ 倍} \\
 &= 0.016 \quad \times \quad 3 \\
 &\doteq 0.047 \text{ m} \\
 &\doteq 0.050 \\
 \text{損失係数} &= 0.717
 \end{aligned}$$

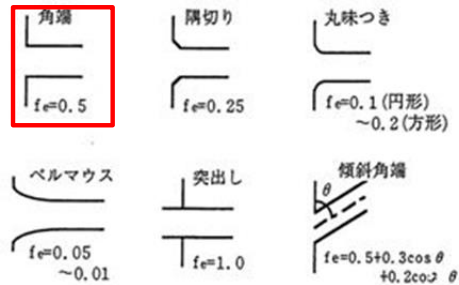
よって、沈砂池における損失水頭は 0.050 mとする。

b 水圧管における損失水頭

(a) 水圧管流入による損失

$$h_e = f_e \cdot v^2 / 2g$$

f_e : 流入による損失係数
 A : 通水面積 = $\Phi \cdot 0.4414 \text{ m}^2$



$$\begin{aligned}
 &= 0.50000 \times \frac{Q^2}{A^2} \times \frac{1}{2 \times 9.8} \\
 &= 0.50000 \times \frac{Q^2}{0.023415804} \times \frac{1}{19.6} \\
 &= 1.0894439 \times Q^2 \\
 &= 0.076 \text{ m}
 \end{aligned}$$

(b) 水圧管路摩擦による損失

$$h_f = f \cdot L / D \cdot v^2 / 2g$$

f : 摩擦損失係数

$$f = 124.5 \cdot n^2 / D^{(1/3)}$$

IPNo	管材質	管中心標高	L : 斜距離	D	V	f	h f	摘要
BP		0.000	0.000					沈砂池水位
BP	水深		1.900					呑口
BP+1.400	SGP	816.600	1.400	0.4414	1.725	0.02763	0.013	
No. 1+4.235	SDR26	812.902	53.256	0.4620	1.575	0.01610	0.235	
No. 2+3.471	SDR26	806.850	49.607	0.4620	1.575	0.01610	0.219	
No. 3+3.422	SDR26	800.717	50.326	0.4620	1.575	0.01610	0.222	
No. 4+13.889	SDR26	795.399	60.701	0.4620	1.575	0.01610	0.268	
No. 5+12.887	SDR26	789.410	49.363	0.4620	1.575	0.01610	0.218	
No. 6+3.780	SDR26	784.389	41.200	0.4620	1.575	0.01610	0.182	
No. 7+4.880	SDR26	777.664	51.541	0.4620	1.575	0.01610	0.227	
No. 8+8.606	SDR26	770.115	54.254	0.4620	1.575	0.01610	0.239	
No. 9+5.248	SDR26	765.185	46.903	0.4620	1.575	0.01610	0.207	
No. 10+4.601	SDR21	759.998	49.625	0.4522	1.644	0.01622	0.245	
No. 11+2.998	SDR21	755.756	48.583	0.4522	1.644	0.01622	0.240	
No. 12+8.942	SDR21	750.862	56.158	0.4522	1.644	0.01622	0.278	
No. 13+7.453	SDR17	744.107	48.980	0.4406	1.732	0.01636	0.278	
No. 14+0.391	SDR17	738.072	43.360	0.4406	1.732	0.01636	0.246	
No. 14+44.419	SDR17	733.417	44.274	0.4406	1.732	0.01636	0.251	
No. 15+38.371	SDR13.6	727.268	44.381	0.4264	1.849	0.01654	0.300	
EP-3.239	SDR13.6	723.000	36.682	0.4264	1.849	0.01654	0.248	
EP	STPY400	723.000	3.239	0.4452	1.696	0.02756	0.029	調整管
E	STPY400	723.000	0.855	0.3944	2.161	0.02869	0.015	漸縮管
入口弁	STPY400	723.000	6.000	0.3436	2.847	0.03004	0.217	発電所内
合計			840.684		↑ 漸縮前後の平均径にて算定		4.379	

$$= 62.82447 \times Q^2$$

$$= 4.379 \text{ m}$$

(d) 曲りによる損失

$$h_b = f_{b1} \cdot f_{b2} \cdot v^2 / 2g$$

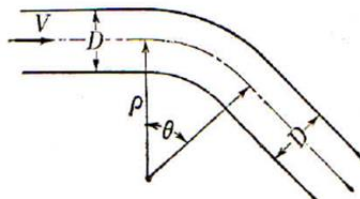
f_{b1} : 損失係数、 f_{b2} : 損失係数

$$f_{b1} = 0.131 + 0.1632(D/\rho)^{7/2}$$

$$f_{b2} = (\theta/90^\circ)^{1/2}$$

ρ : 曲りの曲率半径 (m)

θ : 曲りの中心角 (° : 図面より)



$$= 3.8359017 \times Q^2$$

$$= 0.267 \text{ m}$$

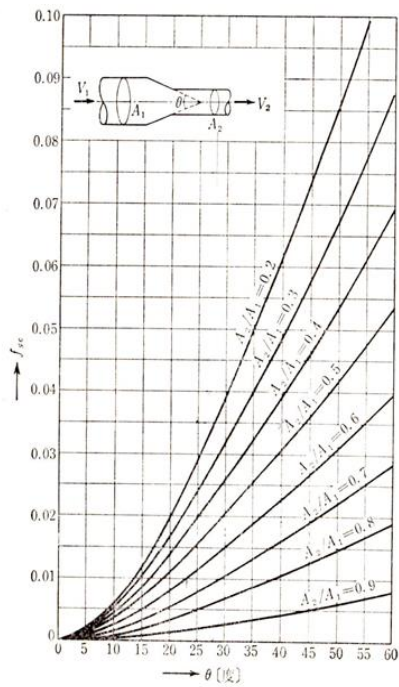
生曲げ配管RNo	D	ρ	fb1	θ	fb2	v	損失水頭	摘要
1	0.4620	40.30	0.131	20.00	0.471	1.575	0.008	SDR26
2	0.4620	40.30	0.131	20.00	0.471	1.575	0.008	SDR26
3	0.4620	40.30	0.131	70.00	0.882	1.575	0.015	SDR26
4	0.4620	40.30	0.131	45.00	0.707	1.575	0.012	SDR26
5	0.4620	40.30	0.131	50.00	0.745	1.575	0.012	SDR26
6	0.4620	50.00	0.131	55.00	0.782	1.575	0.013	SDR26
7	0.4620	50.00	0.131	10.00	0.333	1.575	0.006	SDR26
8	0.4620	40.00	0.131	31.00	0.587	1.575	0.010	SDR26
9	0.4620	40.00	0.131	22.00	0.494	1.575	0.008	SDR26
10	0.4522	40.00	0.131	55.00	0.782	1.644	0.014	SDR21
11	0.4522	40.00	0.131	30.00	0.577	1.644	0.010	SDR21
12	0.4522	40.00	0.131	20.00	0.471	1.644	0.009	SDR21
13	0.4406	40.00	0.131	28.00	0.558	1.732	0.011	SDR17
14	0.4406	40.00	0.131	30.00	0.577	1.732	0.012	SDR17
15	0.4406	40.00	0.131	36.00	0.632	1.732	0.013	SDR17
16	0.4406	40.00	0.131	20.00	0.471	1.732	0.009	SDR17
計							0.169	
ペンド管No	D	ρ	fb1	θ	fb2	v	損失水頭	摘要
1	0.4620	1.00	0.142	45.00	0.707	1.575	0.013	SDR26
2	0.4522	1.00	0.141	45.00	0.707	1.644	0.014	SDR21
3	0.4406	1.00	0.140	45.00	0.707	1.732	0.015	SDR17
4	0.4406	1.00	0.140	45.00	0.707	1.732	0.015	SDR17
5	0.4406	1.00	0.140	45.00	0.707	1.732	0.015	SDR17
6	0.4406	1.00	0.140	45.00	0.707	1.732	0.015	SDR17
7	0.4452	0.69	0.167	20.00	0.471	1.696	0.012	STPY400
計							0.099	
合計							0.267	

(e). 漸縮による損失 ($\Phi 450 \rightarrow 350$)

$$h_{gc} = f_{gc} \cdot v^2 / 2g$$

f_{gc} : 漸縮による損失係数

0.005 第3-11図より読み取り



第3-11 図 漸縮損失係数

D1: 漸縮前水圧管径 0.445 m
 D2: 漸縮後水圧管径 0.344 m
 漸縮管長 0.500 m
 $\theta =$ 漸縮角度 $\approx 12^\circ$
 $A_2/A_1 = (D_2/D_1)^2 = 0.595656656$

$$\begin{aligned}
 &= f_{gc} \times \frac{Q^2}{A^2} \times \frac{1}{2 \times 9.8} \\
 &= f_{gc} \times \frac{Q^2}{0.0085979} \times \frac{1}{19.6} \\
 &= \frac{f_{gc} \times Q^2}{0.16851884} \\
 &= \frac{0.005 \times Q^2}{0.16851884} \\
 &= 0.02967 \times Q^2 \\
 &= 0.002 \text{ m}
 \end{aligned}$$

(f) 入口弁による損失 ($\Phi 350$)

事業者提示図よりゲート弁とする。

$$h_v = f_v \cdot v^2 / 2g$$

f_v : バルブによる損失係数

$$f_v =$$

0.00 (全開時)

D : バルブ円板の直径

0.35 m

入力弁の適応落差・性能比較表

	ローラクリ弁	ちょう形弁	複葉弁
適用落差	250m以上	200m以下	350m以下
損失係数 ζ (注1)	≈ 0	弁体最大厚さ/弁口径 (0.25~0.35)	0.1~0.2
漏水量係数K (注2)	0.004	0.2	0.05
構造・寸法	やや複雑、大形	簡単、中型	簡単、やや小形

(注1) 損失係数 ζ は下記式による

$$H_f = \zeta \frac{v^2}{2g}$$
 ここに H_f : 損失水頭 (m)
 v : 管路平均流速 (m/s)

(注2) 漏水量係数Kは下記式による

$$Q_f = KPDv$$
 ここに Q_f : 漏水量 (l/min)
 P : 最大静水圧 (kgf/cm²)
 Dv : 弁口径 (m)

「ハイドロタービン」ターボ機械協会編 日本興業出版 p.124

表 6.1 入力弁の適応落差・性能比較表より

$$\begin{aligned}
 &= 0.00 \quad \times \quad \frac{Q^2}{A^2} \quad \times \quad \frac{1}{2 \times 9.8} \\
 &= 0.00 \quad \times \quad \frac{Q^2}{0.009256609} \quad \times \quad \frac{1}{2 \times 9.8} \\
 &= 0.00 \quad \times \quad \frac{Q^2}{0.009256609} \quad \times \quad \frac{1}{19.6} \\
 &= 0 \quad \times Q^2 \\
 &= 0.000 \text{ m}
 \end{aligned}$$

(f). 水圧管の損失水頭の余裕は、1%程度とする。

$$\begin{aligned}
 h &= he + hf + hbe + hb + hgc + hv \\
 &= 0.076 \quad + \quad 4.379 \quad + \quad 0.267 \quad + \quad 0.002 \quad + \\
 &\quad 0.000 \quad + \quad \quad \quad = \quad 4.724 \\
 \text{余裕} &= 4.724 \quad \times \quad 1\% \quad = \quad 0.047 \\
 &\doteq 4.780 \\
 \text{損失係数} &= 68.584
 \end{aligned}$$

c 放水路における損失
衝動水車のため該当なし

損失水頭の計算

区分	損失水頭	損失係数
(1) 沈砂池における損失	0.050 m	0.717
(2) 水圧管における損失	4.780 m	68.584
(3) 放水路における損失	0.000 m	
計	4.830 m	69.301

3. 有効落差

$$\begin{aligned}
 \text{総落差} & (m) & 95.500 \\
 \text{損失落差} & (m) & 4.830 \\
 \text{有効落差} & (m) & 90.670
 \end{aligned}$$

4. 最大出力の計算

最大出力は200 kW未満となっているか計算する。

$$P = 9.8 \cdot Q \cdot H \cdot \mu$$

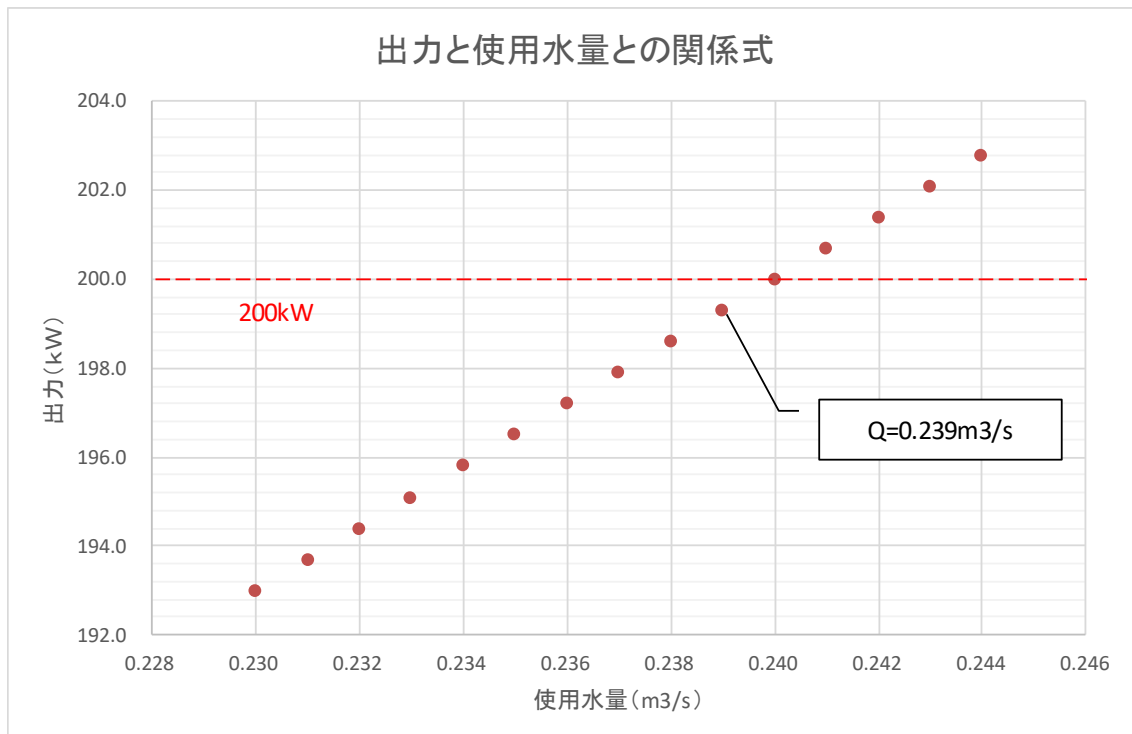
$$\begin{aligned}
 Q &= 0.264 \text{ m}^3/\text{s} \\
 H &= 90.670 \text{ m} \\
 \mu &= 0.850 \quad (\text{水車発電機総合効率: 事業者提示値}) \\
 &= 199.4 \text{ kW} \quad \text{OK}
 \end{aligned}$$

(2) 最大出力をF I T買取単価の閾値にする場合の最大使用水量の決定

事例として最大出力を200kW未満に抑制しF I T単価34円とする場合とします。

計算に使用する初期値として最大有効落差は最大使用水量を0.230から0.246m³/sとして前述の方法で計算します。

検討した結果、下図のとおり最大使用水量は0.239m³/sとなります。



このように使用水量と有効落差を変化させ最大出力を計算することにより、最大使用水量を決定します。

決定した最大使用水量にて以降の水理計算を行います。

3.4.2 取水ダム

(1) 設計洪水流量

通常、設計洪水流量は、合理式（ラショナル式）より算定します。

しかし、計算方法は砂防指定等の有無などにより河川管理者の指導内容が異なりますので注意が必要です。

河川管理者との事前協議が必要です。

$$Q = 1/3.6 \cdot f \cdot r \cdot A$$

ここに

Q_p : 計画高水流量 (m³/s)

f : 流出係数 下図より選択

表4-1-1-1 流出係数 (出典: 砂設公p85)

流域の状況	fの値	平均値
急峻な山地	0.75 ~ 0.90	0.83
三紀層山岳	0.70 ~ 0.80	0.75
起伏のある土地および樹林	0.50 ~ 0.75	0.63
平坦な耕地	0.45 ~ 0.60	0.53
灌漑中の水田	0.70 ~ 0.80	0.75
山地河川	0.75 ~ 0.85	0.80
平地小河川	0.45 ~ 0.75	0.60
流域の半ば以上が平地である大河川	0.50 ~ 0.75	0.63

r : 洪水到達時間内の平均雨量強度 (mm/hr)

rについては、河川管理者の指導によります。

なお、確率年も管理者により変わりますので注意が必要です。

A : 流域面積 (km²)

(2) 設計洪水位

設計洪水位の計算は、以下の方法がありますが、これも同様河川管理者により指導内容が異なりますので注意が必要です。

河川管理者との事前協議が必要です。

1) 不等流計算による方法

2) マニングの流速公式に基づく方法

3) セキの公式に基づく方法

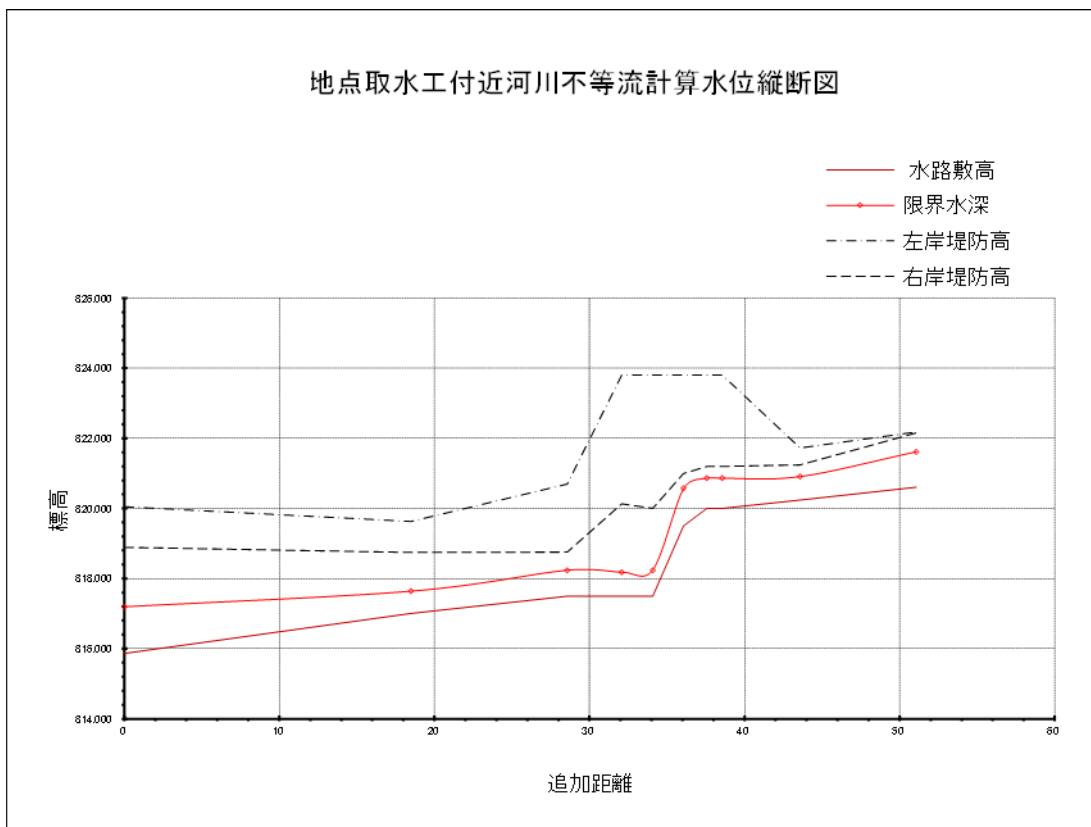
不等流計算による方法の一例は以下のとおりです。

取水工地点の設計洪水位について、不等流計算を行い確認した。

計算結果、取水工断面 B-6 で WL. 820.866m とする。

不等流計算内容については、下表のとおり。

測点	区間距離 (m)	流量 (m³/s)	粗度係数	流積 (m²)	横辺 (m)	径深 (m)	フルード数	摩擦損失 水頭 (m)	その他の 損失水頭 (m)	エネルギー 標高 (m)	流速 (m/s)	速度水頭 (m)	水路敷高 (m)	水深 (m)	水面標高 (m)
B-P-34.437	0.000	26.000	0.050	9.453	13.846	0.6827	1.000	—	0.000	817.578	2.751	0.386	815.860	1.332	817.192
B-P-52.928	18.491	26.000	0.050	8.029	17.243	0.4656	1.494	0.91	0.000	819.026	3.238	0.535	817.000	0.491	817.491
D	10.081	26.000	0.050	8.637	14.387	0.6012	1.198	0.730	0.000	818.617	3.010	0.462	817.500	0.654	818.154
① D-3.5	3.500	26.000	0.050	4.769	15.975	0.2985	3.130	1.131	0.000	819.347	5.452	1.517	817.500	0.330	817.830
② D-5.5	2.000	26.000	0.050	3.577	13.263	0.2697	4.376	0.769	0.000	820.478	7.269	2.696	817.500	0.282	817.782
C	2.000	26.000	0.014	6.012	13.585	0.4425	1.952	0.010	0.000	821.247	4.325	0.954	819.500	0.793	820.293
B-9	1.500	26.000	0.014	9.389	13.732	0.6838	1.000	—	0.000	821.257	2.769	0.391	820.000	0.866	820.866
B-5	1.000	26.000	0.014	9.389	13.732	0.6838	1.000	—	0.000	821.257	2.769	0.391	820.000	0.866	820.866
B	5.000	26.000	0.050	6.646	16.541	0.4018	1.941	0.592	0.000	821.456	3.912	0.781	820.240	0.436	820.676
A	7.500	26.000	0.050	8.974	11.355	0.07903	1.000	—	0.000	822.048	2.897	0.428	820.600	1.020	821.620



設計洪水流量と設計洪水位計算の一例は以下のとおりです。

設計洪水位は事業者が確認した行政指導に基づき 100 年確率計画高水流量で検討した結果、W L 331.11m とする。

計算結果は次項のとおり。

(1) 計画高水流量の検討

a. 「福井県砂防事業技術指針IV設計編」に準拠する。

計画高水流量は、合理式（ラショナル式）より算定する。

$$Q_p = 1/3.6 \cdot f \cdot r \cdot A$$

ここに

Q_p : 計画高水流量 (m³/s)

f : 流出係数

0.8 山地河川

表4-1-1-1 流出係数 (出典: 砂設公p85)

流域の状況	fの値	平均値
急峻な山地	0.75 ~ 0.90	0.83
三紀層山岳	0.70 ~ 0.80	0.75
起伏のある土地および樹林	0.50 ~ 0.75	0.63
平坦な耕地	0.45 ~ 0.60	0.53
灌漑中の水田	0.70 ~ 0.80	0.75
山地河川	0.75 ~ 0.85	0.80
平地小河川	0.45 ~ 0.75	0.60
流域の半ば以上が平地である大河川	0.50 ~ 0.75	0.63

A : 流域面積 (km²)

4.16

r : 洪水到達時間内での平均雨量強度 (mm/hr)

62 (100年確率)

<九頭竜川下流>適用時間: 10 ≤ t ≤ 180分

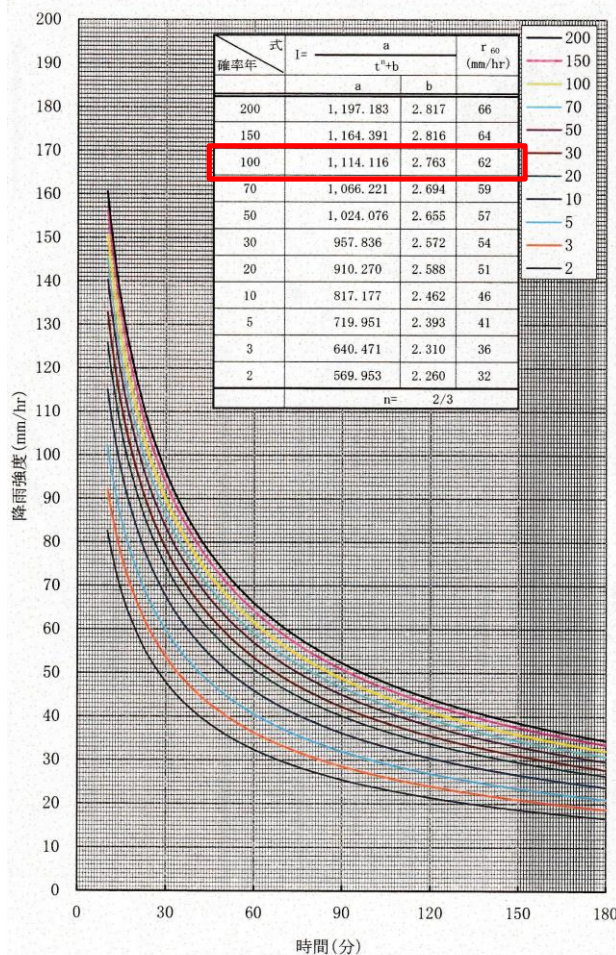


図 4-1-1-2 (1) 降雨強度曲線(九頭竜川下流)

b. 土砂流ピーク流量の検討

土石流ピーク流量は、流出土砂量に基づいて求める。

$$Q_{sp} = 0.01 \cdot \Sigma Q$$

$$\Sigma Q = \frac{C_* \cdot V dqp}{Cd}$$

ここに

Q_{sp} : 土石流ピーク流量 (m³/s)

ΣQ : 土石流総流量 (m³)

$V dqp$: 1波の土石流により流出すると想定される土砂量 (空隙込み) (m³)

6,500 m³ (後述のとおり)

Cd : 土石流濃度

$$Cd = \frac{\rho \cdot \tan \theta}{(\sigma - \rho) (\tan \phi - \tan \theta)}$$

σ : 磯の密度 2,600 kg/m³

ρ : 水の密度 1,200 kg/m³

ϕ : 溪流堆積土砂の内部摩擦角 35°

θ : 溪流勾配 (°) (計画地点から概ね上流200m区間の平均渓床勾配)

計画地点の標高 328 m (地形図読取)

上流200m地点の標高 366 m (")

標高差 38 m (")

渓流勾配 11°

$$= 0.329$$

C_* : 溪流堆積土砂の容積濃度

0.6 程度

よって、

$$\Sigma Q = \frac{0.6}{0.329} \times 6,500$$

$$= 11,840 \text{ m}^3$$

よって、

$$Q_{sp} = 0.01 \times 11,840$$

$$= 118 \text{ m}^3/\text{s}$$

$V dqp$ の検討

これまでの災害実態調査から、全支渓から同時に土砂が流出する例は少なく、そのため土石流ピーク流量の最大値は1洪水期間に複数発生する土石流のうち、最大となる土砂量に対応したものとなる。そこで、流出土砂量に基づく土石流ピーク流量を求める際の、1波の土石流により流出すると想定される土砂量: $V dqp$ は、施設の計画地点または土石流流下区間の下流端と考えられる地点より上流の範囲において、土石流・流木対策施設のない状態を想定して、渓流長、侵食可能断面積を総合的に判断して最も土砂量の多くなる「想定土石流流出区間」を設定し、この区間ににおける移動可能土砂量と運搬可能土砂量のうち、比較して小さい方の値とする。なお、「想定土石流流出区間」とは渓床勾配が10°以上の地点より流域界までの区間を示し、 $V dqp$ が1,000m³未満である場合は1,000m³とする。

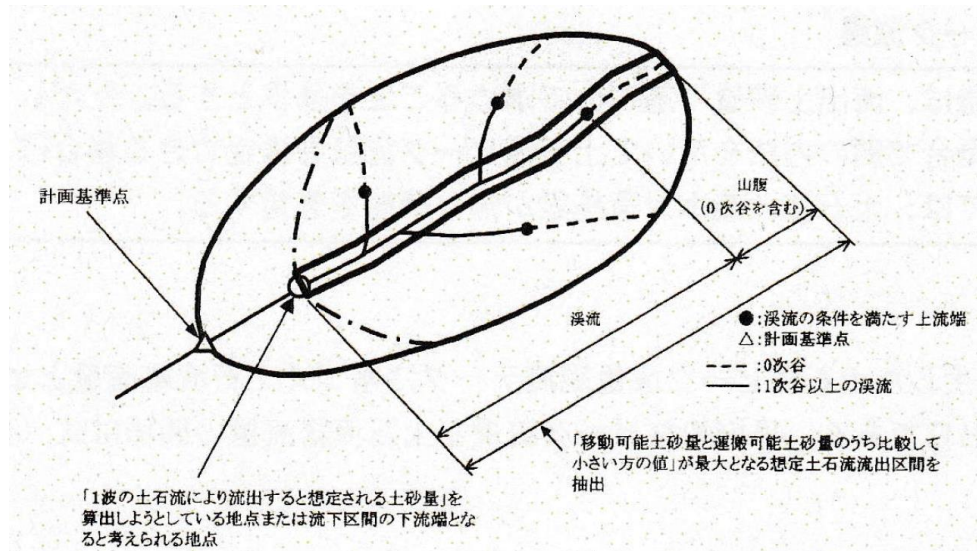


図 4-1-2-1 想定土石流流出区間のイメージ図

・想定土石流流出区間の設定

計画地点付近の渓床勾配は部分的に 10° 以上となっているが、その上流は概ね緩やかであり計画地点付近は除外した。別紙のとおり4区間を想定土石流流出区間として設定した。

・移動可能土砂量の検討（砂防基本計画策定指針（国総研）より）

$$Vdy1 = Vdy11 + Vdy12$$

$$Vdy11 = Ady11 \times Ldy11$$

$$Ady11 = Bd \times De$$

ここに

$Vdy1$ ：移動可能土砂量（m³）

$Vdy11$ ：流出土砂量を算出しようとしている地点、計画基準点あるいは補助基準点から1次谷の最上端までの区間の移動可能渓床堆積土砂量（m³）

$Vdy12$ ：崩壊可能土砂量（m³）

$Ady11$ ：移動可能渓床堆積土砂の平均断面積（m²）

$Ldy11$ ：流出土砂量を算出しようとしている地点、計画基準点あるいは補助基準点から1次谷の最上端までの渓流に沿って測った距離（m）

Bd ：土石流発生時に浸食が予想される平均渓床幅（m）

De ：土石流発生時に浸食が予想される渓床堆積土砂の平均深さ（m）

区間	Bd	De	Ady11	Ldy11	Vdy11
①	5	1	5	950	4,750
②	5	1	5	740	3,700
③	5	1	5	380	1,900
④	5	1	5	890	4,450

・崩壊可能土砂量の検討

$$Vdy12 = \sum (Ady12 \times Ldy12)$$

$$Ady12 = Bd \times De$$

ここに

$Ady12$ ：0次谷における移動可能渓床堆積土砂の平均断面積（m²）

$Ldy12$ ：流出土砂量を算出しようとしている地点より上流域の1次谷の最上端から流域の最遠点までの流路谷筋に沿って測った距離で支渓がある場合はその長さも加える（m）

区間	B d	D e	A dy12	L dy12	V dy12
①	5	1	5	200	1,000
②	5	1	5	560	2,800
③	5	1	5	230	1,150
④	5	1	5	0	0

区間	V dy11	V dy12	V dy1
①	4,750	1,000	5,750
②	3,700	2,800	6,500
③	1,900	1,150	3,050
④	4,450	0	4,450

max (採用)

- ・運搬可能土砂量の検討（砂防基本計画策定指針（国総研）より）

運搬可能土砂量は、計画規模の年超過確率の降雨量（Pp(mm)）に流域面積（A(km²))を掛けて総水量を求め、これに流動中の土石流濃度（Cd）乗じて算出する。その際流出補正率（Kf2）を考慮する。

なお、Ppは24時間雨量とされており、ここでは三国観測所の過去最大日降水量（2004年174mm）を使用する。

$$V dy2 = \frac{10^3 \cdot Pp \cdot A}{1 - Kv} \left[\frac{Cd}{1 - Cd} \right] Kf2$$

ここに

V dy2 : 運搬可能土砂量 (m³)

Kv : 空隙率 0.4

Kf2は図-11によって流域面積に対して与える。

$$Kf2 = 0.145$$

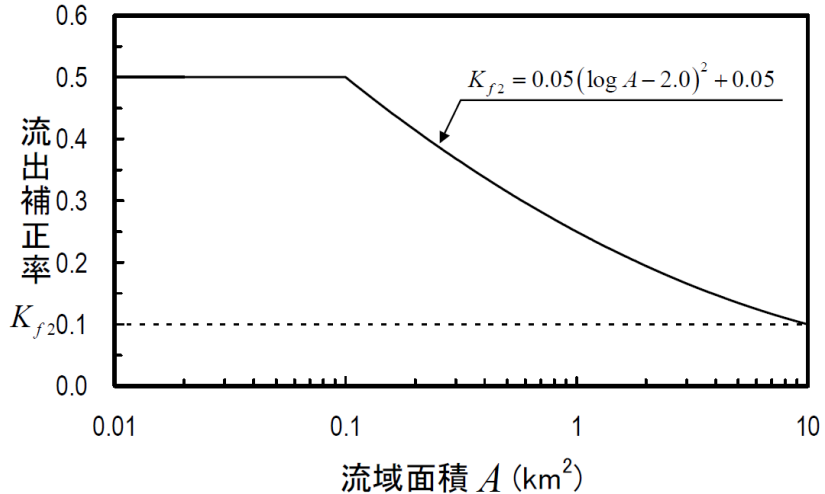


図-11 流出補正率⁴⁾

よって、

$$V dy2 = \frac{723,840}{0.6} \left[\frac{0.329}{0.671} \right] 0.145$$

$$= 85,919 \text{ m}^3$$

よって、

$$\begin{aligned} \text{移動可能土砂量 } V dy1 &= 6,500 \text{ m}^3 (\leq V dy2) \\ \text{運搬可能土砂量 } V dy2 &= 85,919 \text{ m}^3 \end{aligned}$$

よって、V dy2は小さい方の値となるV dy1とする。

(2) 設計洪水位の検討

a. 計算データ

・河床勾配（現況勾配とする）	
No. I-11	331.52 (CAD図読み取り)
取水ダム地点	329.00 (ダム天端標高)
標高差	2.52
水平距離	69.20 (CAD図読み取り)
よって河床勾配は	0.036

b. 洪水位の計算

(a) マニングの流速公式に基づく方法（土石流時）

$$V = 1/n \cdot R^{2/3} \cdot I^{1/2}$$

$$Q = A \cdot V$$

ここに

V : 流速 (m/s)
n : 粗度係数
R : 径深 (= A/S S : 潤辺 (m))
I : 水面勾配
Q : 設計流量 (m³/s)
A : 流積 (m²)

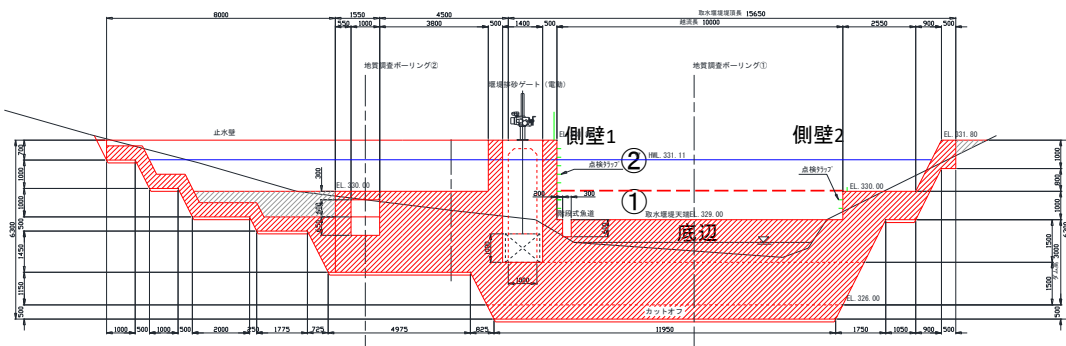
・粗度係数

水理公式集P-89表2-2.1の(d)自然流路(山地流路大玉石混りの玉石) n = 0.05 とする。

・流積、径深および潤辺の計算

通水断面

水深を2.11mで仮定する。



A	水深	上辺	下辺	高さ	流積
流積①	1.000	10.000	10.000	1.000	10.000
流積②	1.110	13.305	12.750	1.110	14.461
計	2.110			2.110	24.461 m ²
S		底辺	側壁1	側壁2	計
潤辺①		10.000	1.000	1.000	12.000
潤辺②		2.750	1.110	1.241	5.101
計					17.101 m

$$\text{径深} = A \times S = 1.430 \text{ m}$$

・流速の計算

$$V = 1/n \cdot R^{2/3} \cdot I^{1/2} = 4.817 \text{ m/s}$$

・流量の計算

$$Q = A \cdot V = 118 \text{ m}^3/\text{s} \quad \hat{=} \text{ 設計流量 (不透過型)} \quad 118 \text{ m}^3/\text{s}$$

よって、洪水位は $329.00 + 2.11 = 331.11 \text{ m}$ とする。

なお、設計流量が $200 \text{ m}^3/\text{s}$ 未満のため余裕高さは 0.60 m 以上とする。

よって、非越流部の標高は、 $331.11 + 0.60 = 331.71 \text{ m}$ 以上とする。

(b) せきの公式に基づく方法 (洪水時)

台形せきの公式に基づき計算する。 (水理公式集P-245)

$$Q = C \cdot B \cdot h^{3/2}$$

1.1.3 台形せきの越流量 (図 3-1.13 参照)

(a) 越流水深による表示

$$Q = CBh^{3/2} \quad \dots \quad (3-1.7)$$

$$m_1 = 0 \sim 4/3, m_2 \geq 5/3 : C = 1.37 + 1.02(h/W) \quad (3-1.7.a)$$

$$m_1 = 0 \sim 2/3, m_2 = 1/1 \text{ 附近} : C = 1.28 + 1.42(h/W) \quad (3-1.7.b)$$

$$m_1 = 0 \sim 1/3, m_2 = 2/3 \text{ 附近} : C = 1.24 + 1.64(h/W) \quad (3-1.7.c)$$

$$m_1 = m_2 = 0, h/L < 1/2 : C = 1.55 \quad \dots \quad (3-1.7.d)$$

ここに、 Q : 越流量 (m^3/s), B : せきの幅 (m), h : 越流水深 (m), m_1 : 上流面勾配, m_2 : 下流面勾配, C : 流量係数 ($\text{m}^{1/2}/\text{s}$), W : せき高 (m), L : せき長 (m)。

ここに

$$Q : \text{設計流量 } (\text{m}^3/\text{s}) \quad 87 \text{ m}^3/\text{s}$$

$$C : \text{流量係数}$$

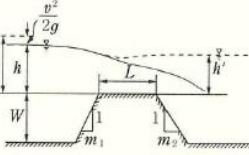


図 3-1.13 台形せきの諸元

$$B : \text{せきの幅} \quad 10 \text{ m}$$

$$h : \text{越流水深 (m)}$$

$$m_1 : \text{上流面勾配}$$

$$0.20$$

$$m_2 : \text{下流面勾配}$$

$$1.00$$

$$W : \text{せき高 (m)}$$

$$1.50 \text{ m}$$

越流水深を 1.97 m で仮定する。

流量係数の計算

$$C = 1.28 + 1.42(h/W) = 3.145$$

$$Q = 87 \text{ m}^3/\text{s} \quad \hat{=} \text{ 設計流量 (不透過型)} \quad 87 \text{ m}^3/\text{s}$$

よって、洪水位は $329.00 + 1.97 = 330.97 \text{ m}$ とする。

なお、設計流量が $200 \text{ m}^3/\text{s}$ 未満のため余裕高さは 0.60 m 以上とする。

よって、非越流部の標高は、 $330.97 + 0.60 = 331.57 \text{ m}$ 以上とする。

以上の検討結果、土石流時の洪水位が一番高いケースとなるためこれを採用する。

3.4.3 取水口

(1) チロル取水方式（縦格子形底部取水工）

1) 水路幅Bの計算

縦格子形底部取水工の規模については、Mostkow（モストコフ）の実験式を用いて算定しますが、限られたケースでの水理実験であり丸鋼などの水理特性の良い部材形状での実験は行っていません。

また、塵芥や凍結による閉塞リスクに対する考え方の基準はありません。

そのため、以降の計算方法は弊社独自で考えたものです。

取水工長さLについては、チロルの必要深さが相当高くなることから内部の点検・補修作業性に考慮して1.00mで固定し、水路幅Bを計算します。

取水量が少ない場合はもう少し取水工長さLを短くすることは可能です。

水路幅は砂防ダムを利用する場合は、水通し幅とせざるを得ません。

砂防ダム水通し天端を越流水深より若干嵩上げすれば、計算幅まで縮小可能ですが、砂防基準上、現状変更は認めてもらえないものと考えます。

ここでは、砂防ダムを利用しない場合で最大取水量Qを1.00m³/sとした場合の計算方法についてご紹介します。

砂防ダムは利用しないため、水路幅Bは計算値とします。

$$L = Q' / (\mu \cdot B' \cdot \phi \cdot \sqrt{2gH}) \quad \text{水理公式集 S46 改訂版 P-272}$$

上式を変換し

$$B' = Q' / (\mu \cdot L_f \cdot \phi \cdot \sqrt{2gH})$$

ここに

B' : チロル取水工の単位幅 (m)

L : 単位幅当りの流量を取水するのに必要な取水工長さ (1.00mで固定します)

Q' : 単位幅当り最大取水量 (m³/s)

μ : 流量係数

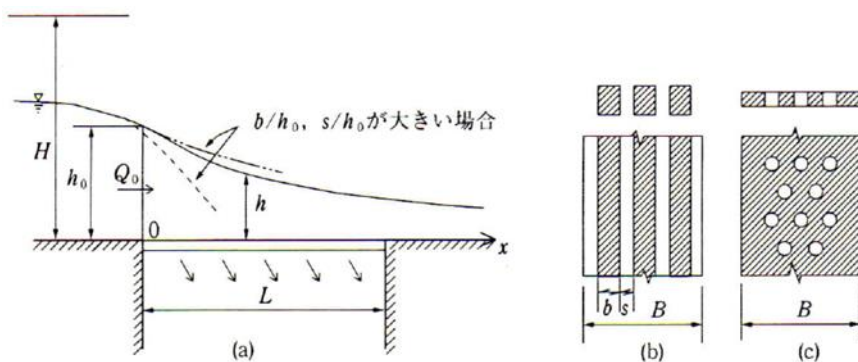


図 3-1.22 底部取水工の諸元

表 3-1.4 縦格子型取水工の流量係数

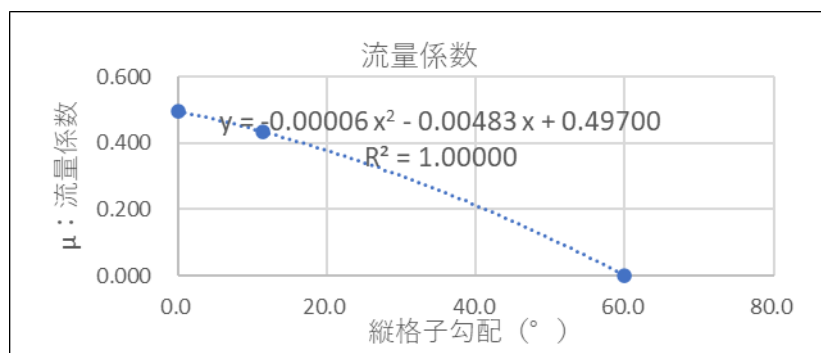
設置場所	格子勾配	μ
水路底	水平	0.514~0.609
	1/5	0.441~0.519
ダム越流頂	水平	0.497
	1/5	0.435

(「水理公式集 平成 11 年版」P252) より

縦格子勾配と流量係数の関係は、水平と 1/5 の値より多項式にて求めます。

格子勾配(°)	流量係数
水平 0.00	0.497
1/5 11.31	0.435
60.00	0.000

縦格子勾配が垂直に近づくと 0 となるが、安全側に考慮して勾配 60° を 0 とすると下図の多項式が導かれます。



ここで、格子勾配を 30.00° とすると流量係数は 0.298 になります。

ϕ : 取水路の開度 ($\Sigma s / B$) は、丸鋼採用のため全開 1.00 とします。

H : 上流側の水頭 (m)

長方形せきの越流量より求めると、H (エネルギー水頭)

=越流水深 h + 接近流速水頭 $v^2/2g$ として算定されます。

$$h = (Q' / CB'')^{2/3}$$

ここに

h : 越流水深 0.229m で仮定します。

Q' : 単位幅当たりの最大取水量 0.170m³/s で仮定します。

B'' : 安全率を考慮しない単位幅

C : 越流係数 下式長方形せきの式より計算します。

(水理公式集 H11 版 P-244)

$$\begin{aligned} 0 < h/L \leq 0.1 ; C &= 1.642(h/L)^{0.022} & \dots \dots \dots (3-1.5.a) \\ 0.1 < h/L \leq 0.4 ; C &= 1.552 + 0.083(h/L) & \dots \dots \dots (3-1.5.b) \\ 0.4 \leq h/L \leq (1.5 \sim 1.9) ; C &= 1.444 + 0.352(h/L) & \dots (3-1.5.c) \\ (1.5 \sim 1.9) \leq h/L ; C &= 1.785 + 0.237(h/W) & \dots (3-1.5.d) \end{aligned}$$

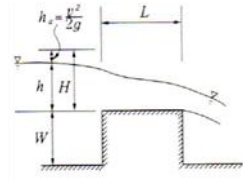


図 3-1.11 長方形せきの諸元

L : せき頂長 3.00m とする。

よって、 $h/L = 0.076$ であり、3-1.5.a 式で計算すると、

C : 越流係数 = 1.552 とします。

よって

$h = 0.229$ となり仮定値と一致します。

接近流速 $v = Q' / (h B'')$ = 0.742m/s になります。

よって、 $v^2/2g = 0.028m$ です。

よって

$$H = 0.229 + 0.028 = 0.257m \text{ になります。}$$

よって

$$\begin{aligned} B'' &= Q' / (\mu \cdot L \cdot \phi \cdot \sqrt{2gH}) \\ &= 0.25 m \text{ になります。} \end{aligned}$$

ここで、安全率を設定します。

モロトコフの実験式はケースによっては数倍の誤差が認められるとされています。

従って、2倍の安全率を見込むものとします。

また塵芥・凍結によるスクリーン閉塞を見込む必要があるため安全率を設定します。

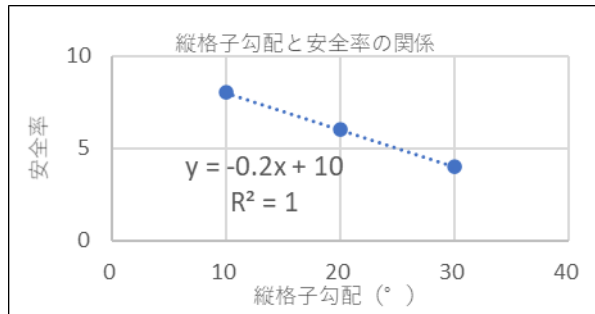
塵芥は縦格子勾配が急であるほど下流へ排出され易くなりますから、安全率は縦格子勾配が急であるほど軽減するものとし、 30° で安全率 1 とします。

凍結については、取水地点の過去 10 ヶ年最低平均気温が -5° 以下の年がある場合は、安全率 2 とします。

上記の各要素を掛け算して安全率を求めます。

格子勾配(°)	安全率			
	実験式誤差	塵芥閉塞	凍結閉塞	計
10	2.0	2.0	2.0	8
20	2.0	1.5	2.0	6
30	2.0	1.0	2.0	4

表より下図の近似式が導かれます。



過去 10 ヶ年最低平均気温が-5°C以下の年がある場合とすると、凍結安全率は 2.0 となり、縦格子勾配は 30.00° であるので上式より全体の安全率は 4 になります。

よって

$$B' = B' \times 4 = 1.00m \doteq \text{単位幅 } 1m \text{ となり整合します。}$$

この時の単位幅当たりの最大取水量は仮定値の 0.170m³/s です。

次に水路幅 B を計算値します。

当地点の最大取水量 Q は 1.000 m³/s と設定しましたから、必要な水路幅 B は

$$\begin{aligned} B &= Q / Q' \\ &= 1.000 / 0.170 \\ &\doteq 6m \text{ となります。} \end{aligned}$$

最後に最大使用水量時の越流水深がどれくらいかを確認します。

$$h = (Q / C B)^{2/3}$$

ここに

h : 越流水深

Q : 最大使用水量 1.000m³/s

B : 水路幅 6.00m

C : 越流係数

L : せき頂長 3.00m

h / L 0.076

$$C = 1.642 \left(h/L \right)^{0.022} = 1.552$$
$$= 0.226m \text{ となります。}$$

取水工長さ L = 1.00m に対して十分余裕のある水深であり、問題ありません。

2) チロル水路内部の掃流力

チロル水路内部の掃流力を検討します。

チロル水路内部には土砂や塵芥も流入しますので堆積しないように水路勾配や形状を計算します。

チロル水路内部の土砂を掃流するためには、掃流力が限界掃流力を上回っていることが必要です。

掃流力は水路の径深と水路勾配により決定され、径深は取水量により決定されます。

限界掃流力は砂礫の平均粒径で決まります。

取水量が少なくなると掃流力が低下し土砂が掃流されない虞がありますが、取水量が回復すれば掃流されます。

通常この繰り返しとなるため、最大取水量時の掃流力が限界掃流力を上回っていることが必要です。

しかし、水量の少ない渴水期は掃流力が不足するかも知れません。

そのため、渴水量で掃流力が限界掃流力を上回っていることを確認します。

場合によってはチロル底部の形状を台形断面や溝状にして径深を増やしておく工夫が必要です。

ここでは、水路勾配を 1/50、渴水量を 0.45 m³/s とした場合、溝状にして径深を増やした場合の計算方法についてご紹介します。

i) 渴水量時の掃流力

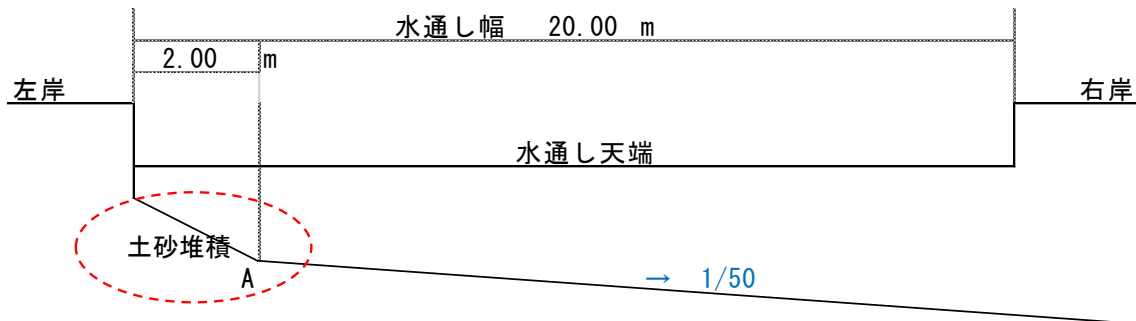
取水工チロル水路掃流力の計算

取水工形状（上流より）

10ヶ年平均渴水量時に土砂を掃流可能とする。

取水工チロルのコーナー部は土砂が堆積し易いため、水路の2m区間はをテーパー状にする。

A点より水路勾配を $1/50$ として土砂を掃流する。



取水工チロル水路の等流水深をマニングの式より求め径深を計算する。

$$Q = 1/n \cdot R^{2/3} \cdot I^{1/2} \cdot A$$

ここに

Q_1 : 10ヶ年平均渴水量 $0.450 \text{ m}^3/\text{s}$ で仮定

B : 水路幅 20.000 m で仮定

Q : 単位幅当り取水量 $0.023 \text{ m}^3/\text{s}/\text{m}$

QA : A点の取水量 $0.045 \text{ m}^3/\text{s}$

n : 水路の粗度係数 0.014

R : 径深

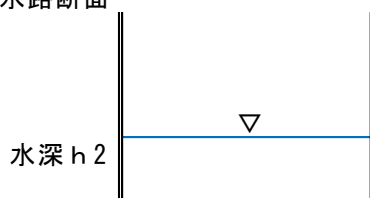
$$R = A/S \quad 0.037 \text{ m}$$

$$A : 通水面積 = h^2 \cdot b \quad 0.040 \text{ m}^2$$

$$S : 潤辺 = 2h^2 + b \quad 1.080 \text{ m}$$

$$I : 水路勾配 \quad 0.020 \quad (1/50 \text{ で設定})$$

水路断面



水路幅 b 1.00 m
水深を 0.040 m で仮定する。

$$Q = 0.045 \doteq QA : A点の取水量$$

よって、水路水深は 0.040 m とする。

掃流力（水理公式集第4章2-4.1式）を求める。

$$\tau = \rho u_*^2 = \rho g R I e$$

$$\begin{aligned}
 \tau &: \text{掃流力 (cm-s)} \\
 \rho &: \text{水の密度 (1)} \\
 u_* &: \text{摩擦速度} \\
 g &: \text{重力の加速度 (980cm/s\(^2\))} \\
 R &: \text{径深 (cm)} \\
 I_e &: \text{エネルギー勾配 = 水路勾配} \\
 &= 980 * 3.7 * 1/50 & 4 \text{ cm} \\
 &= 73 \text{ cm-s} & 1/50
 \end{aligned}$$

限界掃流力（水理公式集第4章2-4.12式）を求める。

$$\begin{aligned}
 u_* c^2 &= 80.9d \\
 u_* c^2 &: \text{限界掃流力} \\
 d &: \text{砂礫の平均粒径 (0.3030cm \leq d の場合)} & 1.0 \text{ cm} \\
 &(\text{スクリーン純間隔}) \\
 &= 81 \text{ cm-s}
 \end{aligned}$$

$$u_* c^2 \geq \tau \quad \text{OUT}$$

よって、最大粒径1.0cmの礫を渴水量時に掃流出来ない。

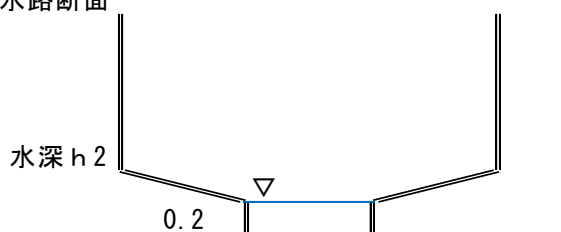
取水工チロル水路底部の断面を矩形に変更し等流水深をマニングの式より求め径深を計算する。

$$Q = 1/n \cdot R^{2/3} \cdot I^{1/2} \cdot A$$

ここに

$$\begin{aligned}
 QA &: A点の取水量 & 0.045 \text{ m}^3/\text{s} \\
 n &: \text{水路の粗度係数} & 0.014 \\
 R &: \text{径深} \\
 R &= A/S & 0.052 \text{ m} \\
 A &: \text{通水面積} = h^2 \cdot b & 0.033 \text{ m}^2 \\
 S &: \text{潤辺} = 2h^2 + b & 0.630 \text{ m} \\
 I &: \text{水路勾配} & 0.020 \quad (1/50)
 \end{aligned}$$

水路断面



$$\begin{aligned}
 \text{通水幅} & 0.50 \text{ m} \\
 \text{水路幅 } b & 1.00 \text{ m}
 \end{aligned}$$

水深を 0.065 m で仮定する。

$$Q = 0.045 \approx QA : A点の取水量$$

よって、水路水深は 0.065 m とする。

掃流力（水理公式集第4章2-4.1式）を求める。

$$\tau = \rho u_*^2 = \rho g R I e$$

τ : 掃流力 (cm-s)
 ρ : 水の密度 (1)
 u_* : 摩擦速度
 g : 重力の加速度 (980 cm/s²)
 R : 径深 (cm)
 I_e : エネルギー勾配 = 水路勾配
= 980 * 5.2 * 1/50
= 101 cm-s

5 cm
1/50

限界掃流力（水理公式集第4章2-4.12式）を求める。

$$u_* c^2 = 80.9d$$

$u_* c^2$: 限界掃流力
 d : 砂礫の平均粒径 ($0.3030 \text{ cm} \leq d$ の場合)
(スクリーン純間隔)
= 81 cm-s

OK

よって、最大粒径1.0cmの礫を渴水量時に掃流可能である。

チロル取水工の一例です。

この発電所は初期型の設計でスクリーンは丸鋼+平鋼タイプです。

$L_f = 1\text{ m}$ 、 $B = 9\text{ m}$ です。Bは半分以下でも取水可能だと考えます。



スクリーンを通過してすぐにチロル内部に落下している様子がわかります。

取水効率は問題なしです。



1~2月初旬で渇水期ですので流量は少ないですが、最大使用水量近く取水していた様です。

(2) 側方取水方式

弊社で側方取水方式を採用した発電所はH発電所の1箇所です。

取水口における水面低下量の計算は前述のとおりです。

注意したのは、流入口の流速を緩やかにしてゆったりとした取水が出来ることです。

流入流速は0.30～0.50m/s程度が望ましいとされています。

過去に建設に携わった岐阜県の美濃川合発電所の流入流速は、約2m/sでした。

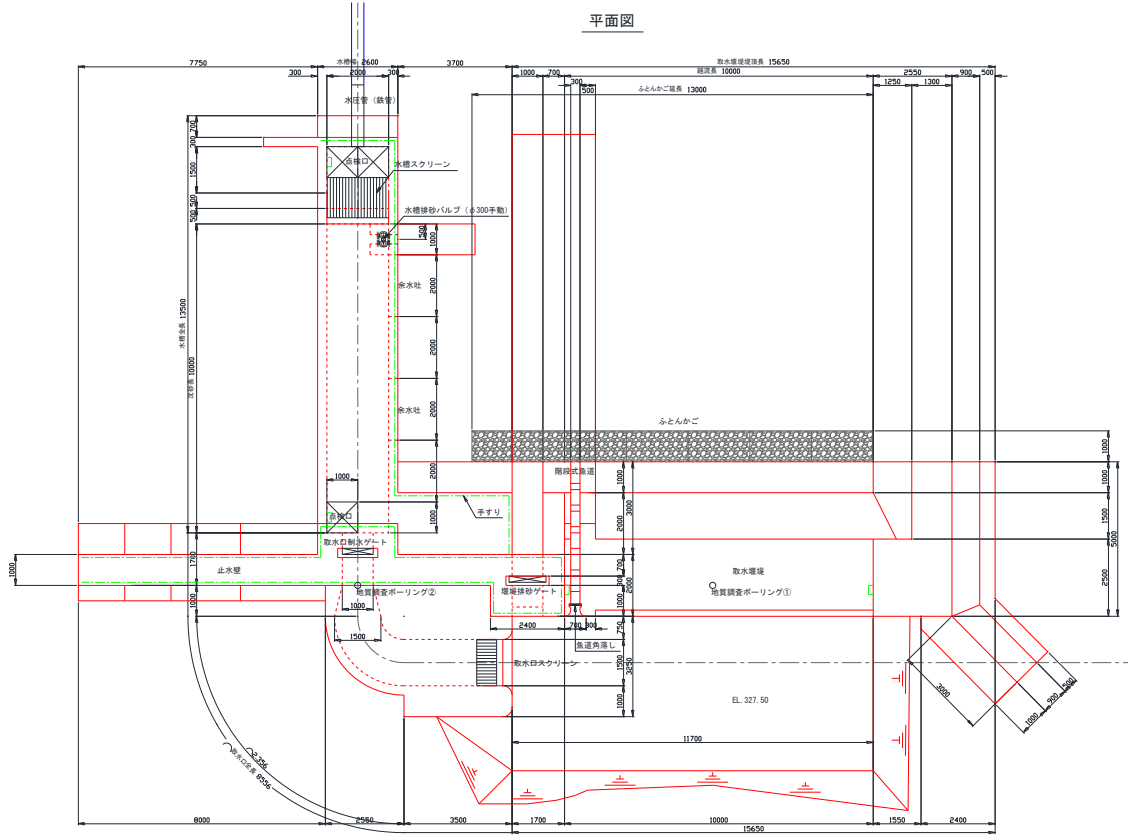
流速が速く出水時に塵芥がスクリーンに張り付き損失落差が発生して大変でした。

流速は低いと流入損失、土砂流入とも少なく、除塵作業も容易です。

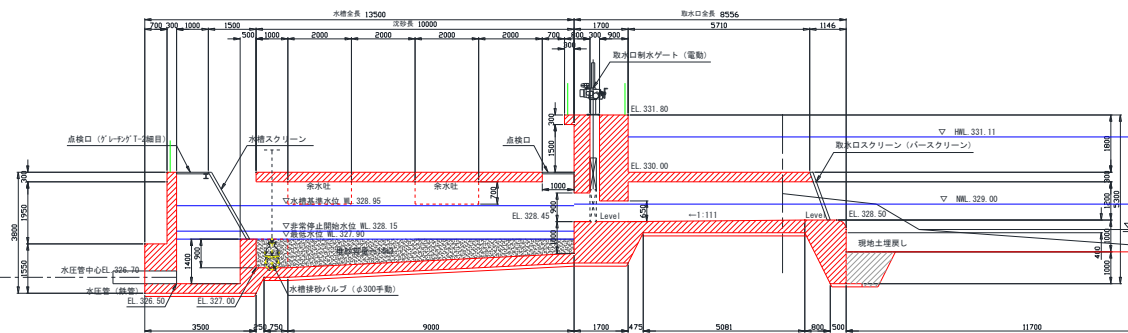
流入口はベルマウス形状が最適ですが、型枠組立が複雑でコストが掛かるので小水力では円形で良いと考えます。

水面低下量の計算方法の一例は以下のとおりです。

地点平面図



地点縦断面図



取水口水面低下量の計算（水槽基準水位の決定）

(1) 計算条件

① Q : 使用水量	0.239 m ³ /s
② 取水位（取水ダム天端）	329.000 m
③ 取水口敷高	328.500 m
④ 取水口流入幅	1.500 m
⑤ 水路漸縮部敷高	328.459 m
⑥ 水路急縮部流入幅	1.000 m
⑦ 取水口制水ゲート前面敷高	328.450 m
⑧ 水槽前面流入幅	2.000 m
⑨ 水槽本体敷高（堆砂面）	327.450 m

(2) 取水口における水面低下量の計算

a. 流入口における水面低下量

$$\Delta h_e = (1 + f_e) \cdot v^2 / 2g$$

$$\begin{aligned} f_e &: \text{流入損失係数} \quad \text{円形} & 0.10 \\ v^2 &: \text{流入後の平均流速} = Q / A = & 0.322 \text{ m/s} \\ h_{\text{水深}} &= ② - ③ - \text{仮想 } \Delta h_e = & 0.494 \\ A_{\text{流積}} &= \text{水深} \times ④ = & 0.741 \\ = & (1 + 0.1) \times 0.104 & / 19.6 \\ = & 0.00583 \text{ m} & \text{仮想 } \Delta h_e = 0.00583 \text{ m} \quad \Delta h_e \text{ と一致するまでトライアル} \end{aligned}$$

b. スクリーンによる水面低下量

$$\Delta h_r = f_r \cdot v^2 / 2g + \alpha + (v^2 / 2g - v^2 / 2g)$$

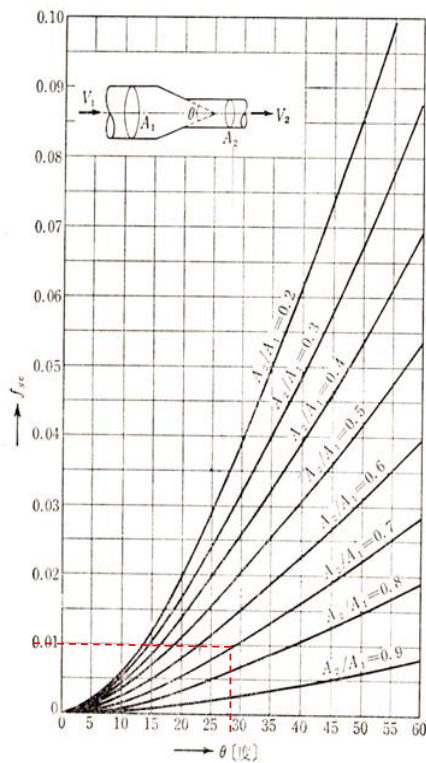
$$\begin{aligned} f_r &: \text{スクリーンによる損失係数} \\ fr &= \beta \cdot \sin \theta \cdot (t/b)^{(4/3)} = & 1.113 \\ \beta &: \text{スクリーンバーの断面形状による係数} & 2.34 \quad (\text{フラットバー}) \\ \theta &: \text{スクリーンの傾斜角} & 70^\circ \quad (\text{構造図より}) \\ t &: \text{スクリーンバーの板厚} & 6.00 \text{ mm} \\ b &: \text{スクリーンバー純間隔} = & 10.00 \text{ mm} \\ \alpha &: \text{割増率} & 3 \quad (\text{塵芥閉塞を考慮}) \\ v_1 &: \text{スクリーンの上流側の平均流速} & 0.322 \text{ m/s} \\ h_{\text{水深}} &= ② - ③ - \Delta h_e = & 0.494 \text{ m} \\ A_{\text{流積}} &= \text{水深} \times ④ = & 0.741 \text{ m}^2 \\ v_2 &: \text{スクリーンの下流側の平均流速} & 0.546 \text{ m/s} \\ h_{\text{水深}} &= ② - ③ - \Delta h_e - \text{仮想 } \Delta h_r = & 0.467 \text{ m} \\ A_{\text{流積}} &= \text{水深} \times ④ \times b / (t + b) = & 0.437 \text{ m}^2 \\ = & 1.113 \times 0.005 \times 3 & \\ + & (0.015 - 0.005) & \\ = & 0.02764 \text{ m} & \text{仮想 } \Delta h_r = 0.02764 \text{ m} \quad \Delta h_r \text{ と一致するまでトライアル} \end{aligned}$$

c. 流入口から水路漸縮部における水面低下量

流入口から水路漸縮部における水面低下量 Δh_c は、流入口における流積 A1 から水路漸縮部の流積 A2 への漸縮によるものと考えて、

$$\Delta h_c = f_c \cdot v^2 / 2g + (v^2 / 2g - v^2 / 2g)$$

$$\begin{aligned} f_c &: \text{損失係数} \\ h_1 &= \text{水深} = ② - ③ - \Delta h_e - \Delta h_r = & 0.467 \text{ m} \\ A_1 &= \text{水深} \times ④ = & 0.700 \text{ m}^2 \\ h_2 &= \text{水深} = ② - ⑤ - \Delta h_e - \Delta h_r - \text{仮想 } \Delta h_c = & 0.502 \text{ m} \\ A_2 &= \text{水深} \times ⑥ = & 0.502 \text{ m}^2 \\ A_2 / A_1 &= & 0.72 \\ \theta &= 28^\circ \quad (\text{平面図より}) \\ \text{よって、第3.11図より、} & f_{gc} \doteq 0.010 \quad \text{とする。} \end{aligned}$$



第3.11図 漸縮損失係数

水力発電演習 第3.11図

$$\begin{aligned} v_1 &: \text{流入口断面における平均流速} & 0.342 \text{ m/s} \\ v_2 &: \text{水路漸縮部断面における平均流速} & 0.476 \text{ m/s} \end{aligned}$$

$$\begin{aligned} &= 0.01 \quad \times \quad 0.012 \quad + (\quad 0.012 \quad - \quad 0.006 \quad) \\ &= 0.000 \quad + \quad 0.006 \\ &= 0.00574 \text{ m} \quad \text{仮想 } \Delta h_c = 0.00574 \text{ m } \Delta h_c \text{ と一致するまでトライアル} \end{aligned}$$

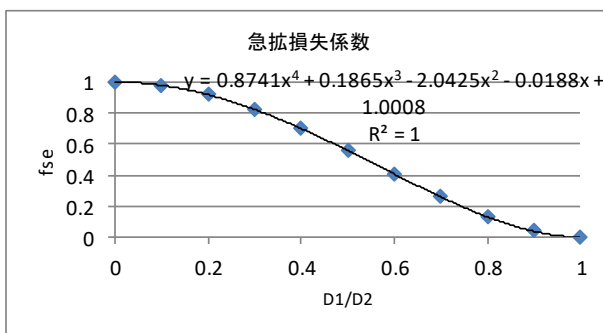
d. 取水口制水ゲート部から水槽前面における水面低下量

取水口制水ゲート部から水槽前面における水面低下量 Δh_c は、制水ゲート部における流積 A_1 から水槽前面の流積 A_2 への急拡によるものと考えて、

$$\Delta h_{se} = f_{se} \cdot (v_1^2 - v_2^2) / 2g - (v_1^2 / 2g - v_2^2 / 2g)$$

$$f_{se} : \text{急拡損失係数} = 0.943$$

D_1/D_2	f_{se}
0	1
0.1	0.98
0.2	0.92
0.3	0.82
0.4	0.7
0.5	0.56
0.6	0.41
0.7	0.26
0.8	0.13
0.9	0.04
1	0



$$\begin{aligned}
v_1 &: \text{急拡前の平均流速} & 0.476 \text{ m/s} \\
v_2 &: \text{急拡後の平均流速} & 0.079 \text{ m/s} \\
h_1 &= \text{水深} = ② - ⑤ - \Delta h_e - \Delta h_r - \Delta h_c = & 0.502 \text{ m} \\
A_1 &= \text{水深} \times ⑥ = & 0.502 \text{ m}^2 \\
h_2 &= \text{水深} = ② - ⑦ - \Delta h_e - \Delta h_r - \Delta h_c - \text{仮想} \Delta h_{g,e} = & 1.514 \text{ m} \\
A_2 &= \text{水深} \times ⑧ = & 3.029 \text{ m}^2 \\
A_1 / A_2 & = & 0.17 \\
\\
&= 0.943 \times (0.476 - 0.079) ^2 / 19.600 \\
&= 0.008 - 0.011 \\
&= -0.00366 \text{ m} \quad \text{仮想} \Delta h_{g,e} = -0.00366 \text{ m} \quad \Delta h_{g,e} \text{ と一致するまでトライアル}
\end{aligned}$$

f. 取水口における総水面低下量

単位 : m

項目	計算値	余裕(20%)	計
a. 流入口における水面低下量	0.006	0.001	0.007
b. スクリーンによる水面低下量	0.028	0.006	0.033
c. 流入口から水路漸縮部における水面低下量	0.006	0.001	0.007
d. 取水口制水ゲート部から水槽前面における水面低下量	-0.004	-0.001	-0.004
$\Sigma \Delta =$	0.036	0.007	0.043

以上より、取水口における水面低下量は約 0.050 mである。

よって、水槽基準水位は取水位WL329.00より水面低下量0.05mを差し引き、WL 328.95 とする。
ただし、水槽余水吐天端標高は余裕を考慮して329.00mとする。

3.4.4 沈砂池

(1) 沈砂池の水深

一般に沈砂池内の平均流速は 0.3m/s 程度で考えられています。(「発電水力演習 P-251 : 千秋信一」)。

例えば、 $Q = 1.00\text{m}^3/\text{s}$ 、沈砂池幅 $B = 3.0\text{m}$ で設計した場合に平均流速を 0.3m/s にするための沈砂池の水深は、

$$v = Q / A = Q / (B \cdot h)$$

変換すると、

$$h = Q / (B \cdot v)$$

$$= 1.000 / (3.00 \times 0.30) \approx 1.11\text{m} \text{ 以上必要です。}$$

この水深の位置は「沈砂池の終端の底部」とされています。

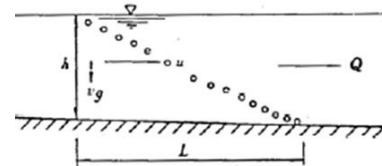
通常、「沈砂池の終端の底部」は水槽あるいは導水路に接続する水路敷より低くして排砂ゲートを設置するなどして土砂流入を防止しますから、その分の深さを加えても良いことになります。

しかし、安全側に考慮して水槽あるいは導水路に接続する水路敷での水深であると考えます。

(2) 沈砂池の長さ

沈砂池の長さは、細砂が沈砂池の終端で底部に達する十分な長さが必要とされます。

$$L \geq h / v_g \cdot v \quad \text{発電水力演習 P-251 5.26 式}$$



ここに

L : 沈砂池の長さ (m)

h : 沈砂池の水深 (m)

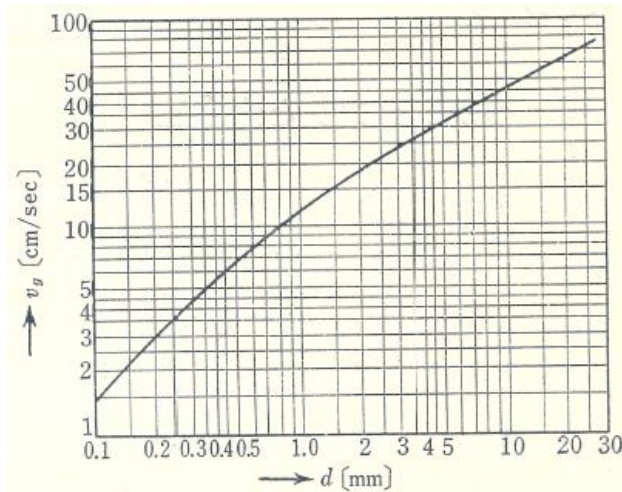
v_g : 沈降すべき最小土粒子の限界沈降速度 (m/s)

v : 沈砂池内の平均流速 (m/s)

上記は理論式であり、通常の設計上の必要長としては計算値の 2 倍以上を見込むものとします。

沈降すべき最小土粒子の径については、水車ランナー等の摩耗を考慮して $0.5\sim1.0\text{mm}$ 程度とします。

砂粒子の平均径 d と限界沈降速度 v_g の間には下図の第 5.22 図の関係があり、沈降すべき最小土粒子の径を $0.5\sim1.0\text{mm}$ 程度 とすると、限界沈降速度 v_g は約 0.10m/s になります。要するに、毎秒 10cm の速さで沈砂池に沈降して行きます。



第 5.22 図 砂粒子の平均径 d と
限界沈降速度 v_g との関係

例えば、 $Q = 1.00 \text{m}^3/\text{s}$ 、沈砂池幅 $B = 3.0 \text{m}$ 、沈砂池の水深 $h = 1.11 \text{m}$ で設計した場合の 理論沈砂池長 L は、

$$L = h / v_g \cdot v = 1.11 / 0.10 \times 0.30 \doteq 3.33 \text{m} \text{ になります。}$$

沈砂池長さを理論沈砂池長さの 2 倍以上とすると沈砂池長さは約 7 m 必要となります。

しかし、弊社では沈砂池の設置環境により更に余裕を見込んでいます。

土石流が頻発する河川であるか？冬期に排砂作業等のメンテナンスが容易に出来ない環境か？ などです。

そんな環境であれば、余裕率は 3 倍以上程度にして沈砂池を長くし、結果として堆砂容量を増やすことにします。

(3) 沈砂池における跳水現象

沈砂池や水槽まで射流で導水された場合、跳水が発生し水面が上昇するとともに、水流の乱れにより土砂の沈降効果が期待できない領域（跳水長さ）が発生します。

射流とはフルード数が 1 以上の急な流れです。

簡単にイメージすると、川下りでゆっくりと下っていると急に流れが速くなり舟も波打つような場所です。

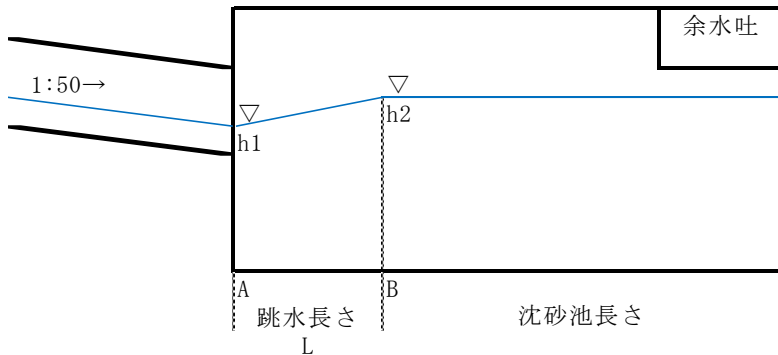
また、一番解り易いのは石を川面に投げたときの波紋が上流側へ伝搬せず下流へ流れる場合は射流と言えます。

射流かどうかはフルード数を計算して判断します。

計算したフルード数から跳水長さと跳水の高さを計算して沈砂池の長さと高さに反映します。

計算方法は以下のとおりです。

取水した水は沈砂池まで開水路（矩形水路または管水路）にて導水される。
 射流の場合、沈砂池では跳水が発生し水面が上昇とともに、水流の乱れにより土砂の沈降効果が期待できない領域（跳水長さ）が発生する。
 ここでは取水路が水路勾配1/50の矩形水路である場合の跳水長さを計算する。

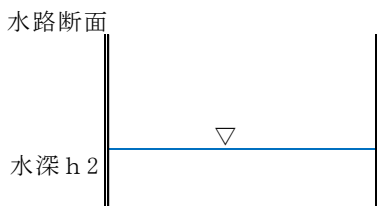


取水路の等流水深をマニングの式より求める。

$$Q = 1/n \cdot R^{2/3} \cdot I^{1/2} \cdot A$$

ここに

Q : 最大取水量	1.000 m ³ /s
n : 水路の粗度係数	0.014
R : 径深	
$R = A/S$	0.188 m
A : 通水面積 = $h_2 \cdot b$	0.302 m ²
S : 潤辺 = $2h_2 + b$	1.604 m
I : 水路勾配	0.020 (1/50)



水路幅 b 1.00

水深を 0.302 m で仮定する。

$$Q = 1.002 \approx \text{最大取水量}$$

よって、水路水深は 0.302 m とする。

$$V_1 : \text{跳水前の平均流速} = Q/A = 3.311 \text{ m/s}$$

$$D : \text{水理水深} = A/b = 0.302 \text{ m}$$

跳水の長さ

沈砂池入口の跳水による安定領域長さと跳水後の常流水深の検討を行う。

水理公式集P-296「水平水路の跳水」の計算式に基づき検討する。

跳水長さの計算式

$$\frac{h_2 - h_1}{L} = \frac{1}{2} \sqrt{1 + 8 Fr_1^2} - 1$$

ここに

h_1 : 跳水前の射流水深(m)

$h_1 = D$ 沈砂池入口水理水深 0.302 m とする。

h_2 : 跳水後の常流水深(m)

Fr_1 : 跳水前のフルード数

$$= V_1 / \sqrt{g D}$$
$$= 3.311 / \sqrt{9.8} \times 0.302$$
$$= 1.925$$

L : 跳水の長さ

上式を変換して、

$$\frac{h_2 - h_1}{L} = h_1 \cdot \frac{1}{2} \sqrt{1 + 8 Fr_1^2} - 1$$
$$= 0.685 \text{ m}$$

よって、跳水の長さは

$L = 2.297 \text{ m} \approx 2.30 \text{ m}$ 以上とする。

ここで計算した跳水の長さは沈砂池長さへ反映するとともに、跳水後の水深は水槽基準水位の決定へ反映します。

水槽基準水位は跳水後の水深より余裕を見て高めに設定します。

(4) 沈砂池の堆砂容量

沈砂池の堆砂容量の基準はありません。

おそらく、電力会社などの大規模な発電所はヘリポートなどを整備して冬期でも必ずメンテナンスする「保安規程」があるので、基準が無いのだと考えます。

小水力では前述した冬期に排砂作業等のメンテナンスが容易に出来ない地点は堆砂容量を出来るだけ確保しておくことと、沈砂池排砂ゲートを遠隔操作可能にしておくことが重要です。

(5) 沈砂池の掃流力

沈砂池排砂時の掃流力を検討します。

通常、排砂作業は発電を停止し行います。

沈砂池の堆積土砂を掃流するためには、掃流力が限界掃流力を上回っていることが必要です。

掃流力は水路の径深と水路勾配により決定され、径深は取水量により決定されます。

限界掃流力は砂礫の平均粒径で決まります。

取水量が少なくなると掃流力が低下し土砂が掃流されない虞がありますが、取水量が回復すれば掃流されます。

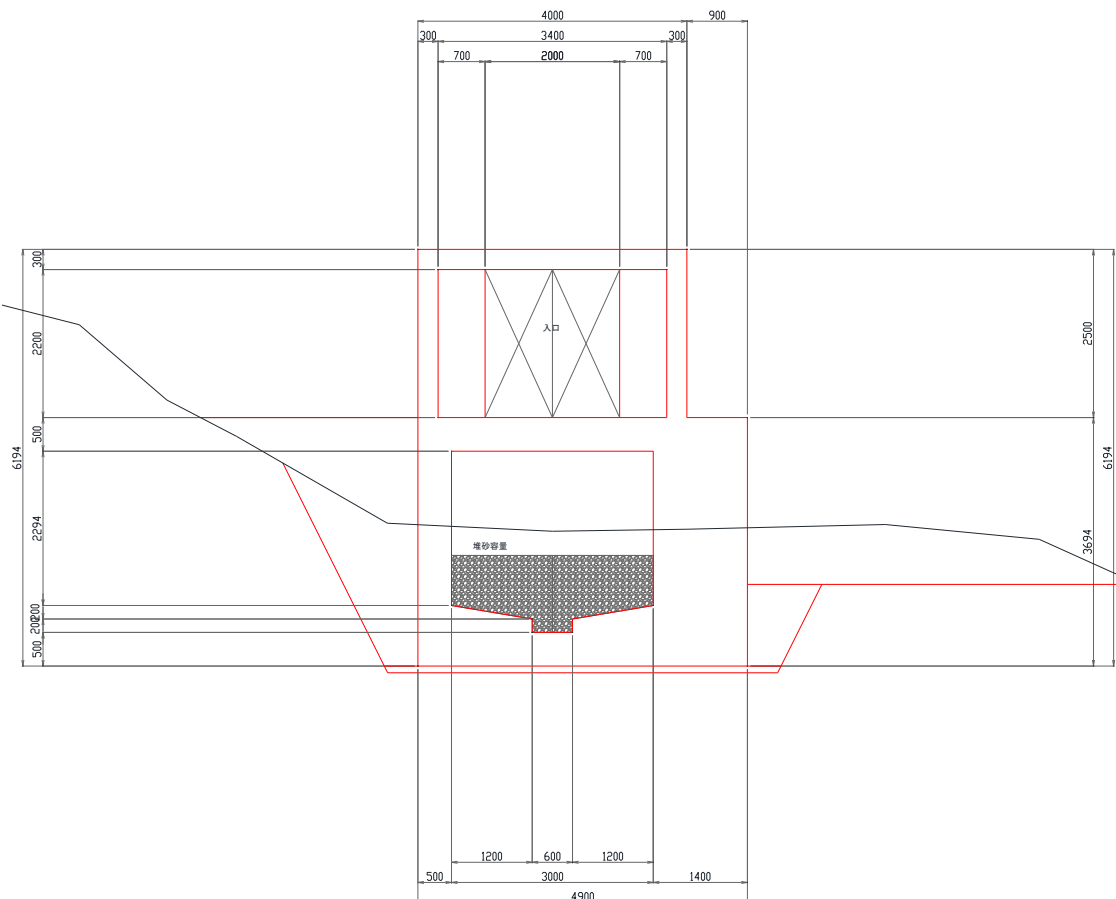
通常この繰り返しとなるため、最大取水量時の掃流力が限界掃流力を上回っているこ

とを確認します。

しかし、水量の少ない時期に排砂を行う場合は掃流力が不足するかも知れません。

そのため、沈砂池底部の形状を溝状にして径深を増やしておく工夫が必要です。

ある地点の沈砂池断面は下図のとおりにしました。



計算方法は取水工チロルと同様です。

(6) 沈砂池余水吐容量

沈砂池余水吐の容量は設計洪水時の最大流入量以上とします。

洪水時には河川水位が上昇し取水口より多くの水が流入するため、取水口制水ゲートを徐々に閉めて流入量をコントロールします。

河川水位が予め決めた規定値に達すれば発電を停止しゲートを全閉します。

ただし、機器故障等により操作出来ない場合も想定されますので、洪水時の最大流入量は取水口制水ゲートが全開のままであるとして計算します。

1) 洪水時の最大流入量

計算方法は以下のとおりです。

上流水深を 3 m と仮定した場合の計算です。

ゲート幅・高さとも 1 m で仮定します。

・ゲート通水量の計算

水理公式集（H11年版）P-254「ゲートおよびバルブからの流出」より計算する。

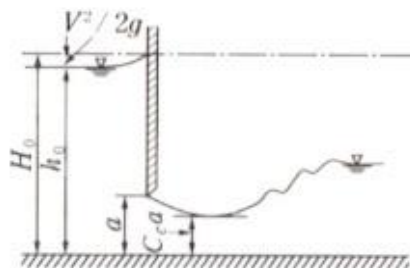


図3-2.1 スルースゲートからの自由流出

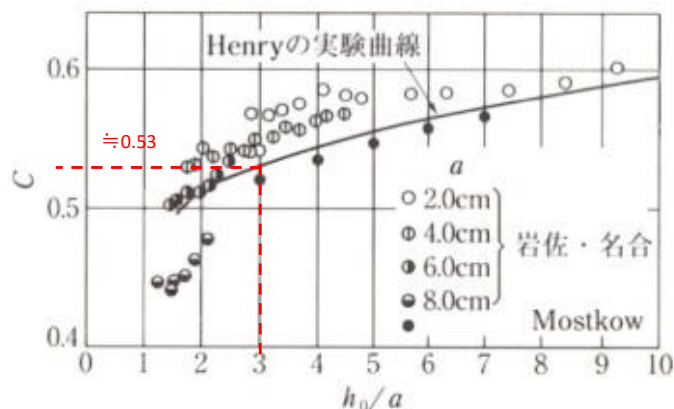


図3-2.3 スルースゲートの流量係数（自由流出）

ゲート通水量計算式は以下のとおり。

$$Q = C \cdot a \cdot B \cdot \sqrt{2g} h_0 \quad \text{水理公式集3-2.2式}$$

ここに

Q : 流出量

C : 流量係数

a : ゲート開度

B : 流出幅

h_0 : 上流水深

h_0/a

0.53 水理公式集P-254図3.2.3より読み取り

1.00 m 全開状態

1.00 m 水路幅

3.00 m 設計洪水時

3.0

$$= 4.064 \text{ m}^3/\text{s} \text{ となる。}$$

2) 沈砂池余水吐容量

計算方法は以下のとおりです。

余水吐最大越流量の計算

$$Q = 1.84 B H^{3/2}$$

ここに、

1.84 : 刃形全幅ぜきに対するフランシス公式の流量係数

Q : 最大越流量(m³/s)

B : 越流長(m) = 5.00 m で仮定

H : 越流水頭(m) 0.600 m で仮定(余水吐高さ)

$$= 4.276 \text{ m}^3/\text{s} > \text{最大流入流量 } 4.064 \text{ m}^3/\text{s}$$

余水吐最大越流量は最大流入量以上であり問題ない。

(7) 沈砂池余水路減勢工

沈砂池吐に余水路がある場合の減勢工長さの計算事例です。

沈砂池余水路減勢工の検討

余水路の減勢工を副ダム付き水平水叩き式減勢工としたときの検討を行う。

参考文献：水利公式集平成11年版 P269

(1) 設計条件

対象流量Qは、最大使用水量	1.000 m ³ /s で仮定する。
水路幅Bは、	2.00 m で仮定する。
全落差は	10.00 m で仮定する。

(2) 減勢工高さの計算

水利公式集P-269「副ダム付き水平水叩き式減勢工」の計算式に基づき検討する。

$$d/h_1 = \frac{(1 + 2F_1^2) \sqrt{1 + 8F_1^2} - 1 - 5F_1^2}{1 + 4F_1^2 - \sqrt{1 + 8F_1^2}} - \left(\frac{F_1}{\sqrt{2\mu}} \right)^{2/3}$$

ここに

d : 減勢工高さ

F1 : 流入フルード数

$$= v_1 / \sqrt{gh_1}$$

$$v_1 : \text{流入流速} = \sqrt{2gzo} = 14.000 \text{ m/s}$$

$$zo : \text{全落差} = 10.00 \text{ m}$$

$$h_1 : \text{流入水深} = Q / vB = 0.036 \text{ m}$$

$$= 14.000 / 0.592$$

$$= 23.664$$

$$\mu : \text{副ダムの越流係数} \quad 0.4 \quad (\text{水理公式集P-270解説より})$$

よって、

$$d/h_1 = \frac{72,239}{2,174} - \left(\frac{23.664}{0.894} \right)^{2/3}$$

$$= 24.349$$

$$d = 0.870 \text{ m}$$

∴ 0.90 m とする。

(3) 減勢工越流水深の計算

余水路幅2.00mの長方形せきとして水位を計算する。

$$h_1 = (Q/CB)^{2/3}$$

h : 越流水深	0.459 m	(仮定値 : 計算値と一致するまでトライアル)
Q : 最大取水量	1.000 m ³ /s	
B : せき幅	2.00 m	
C : 越流係数	1.606	

$$\begin{aligned} 0 < h/L \leq 0.1 &; C = 1.642(h/L)^{0.022} & \dots (3-1.5.a) \\ 0.1 < h/L \leq 0.4 &; C = 1.552 + 0.083(h/L) & \dots (3-1.5.b) \\ 0.4 \leq h/L \leq (1.5 \sim 1.9) &; C = 1.444 + 0.352(h/L) & \dots (3-1.5.c) \\ (1.5 \sim 1.9) \leq h/L &; C = 1.785 + 0.237(h/W) & \dots (3-1.5.d) \end{aligned}$$

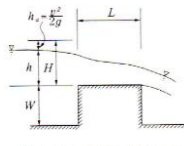


図 3-1.11 長方形せきの諸元

L : せき頂長 1.00 m で仮定する。
 h/L 0.459

$$\begin{aligned} 0 < h/L \leq 0.1 & 1.614 \\ 0.1 < h/L \leq 0.4 & 1.590 \\ 0.4 < h/L \leq (1.5 \sim 1.9) & 1.606 \end{aligned}$$

$$h_1 = 0.459 \text{ m} \doteq \text{仮定値}$$

よって越流水深は 0.459 m とする。

(4) 減勢工長さLの計算

$$L = 4.5h_2 \quad (\text{水理公式集P-270解説より})$$

ここに、 L : 減勢工の長さ

$$h_2 : 出口水深 = d + H = 1.359 \text{ m}$$

$$\begin{aligned} &= 6.12 \text{ m} \\ &\doteq 7.00 \text{ m} \text{ とする。} \end{aligned}$$

3.4.5 導水路

小水力の無圧導水路の水理計算は簡単です。

前述のマニングの等流計算式で等流水深を計算するだけですので省略します。

しかし、稀にややこしい計算をする水路があります。

逆サイフォン水路です。伏せ越しとも言います。

以下、逆サイフォン水路の計算方法についてです。

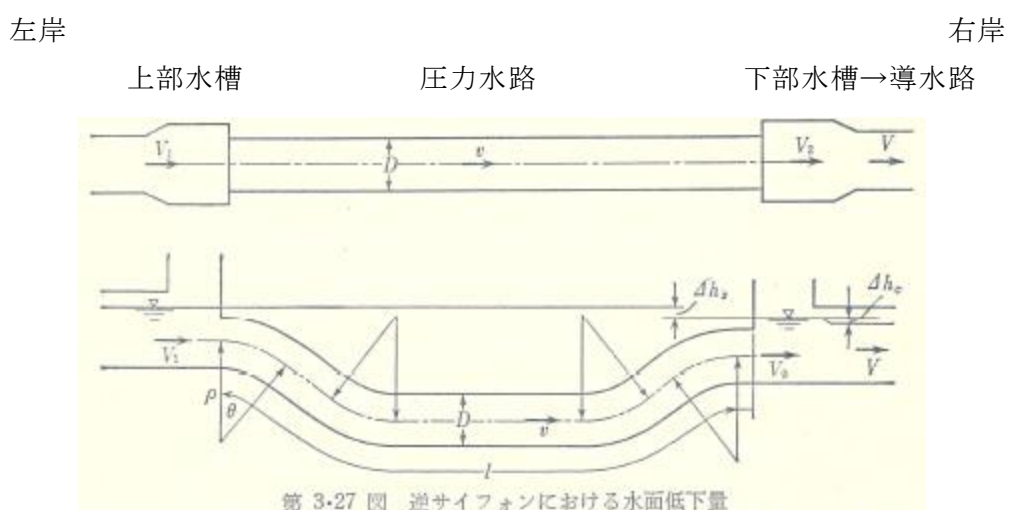
(1) 逆サイフォン水路（伏せ越し）

例えば左岸から右岸へ河川や溪流などを逆サイフォン水路にて横断し導水するとなります。

最大使用水量は $1.00\text{m}^3/\text{s}$ と仮定します。

右岸に上部水槽、左岸に下部水槽、その間は圧力水路で結びます。

下図はイメージ図です。



第 3-27 図 逆サイフォンにおける水面低下量

各水位は逆サイフォン水路の水面低下量の計算により決定します。

下部水槽の水位は導水路入口の等流水深に支配され、これをスタート水位とします。

導水路は無圧水路（F R P M 管）とします。

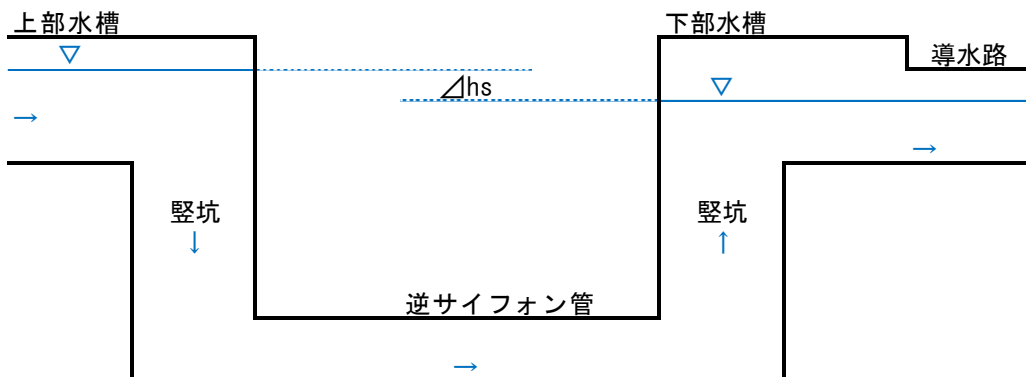
計算方法は以下のとおりです。

逆サイフォン水面低下量の計算（最大使用水量時）

1. 計算条件

最大使用水量 : Q	1.00 m ³ /s 仮定値
上部水槽敷高	100.00 m 仮定値
下部水槽敷高	100.00 m 仮定値
上部水槽幅 : b1	2.00 m 仮定値
下部水槽幅 : b2	2.00 m 仮定値
上部水槽延長 : L1	4.00 m 仮定値
下部水槽延長 : L2	4.00 m 仮定値
上部水槽豎坑径 : D1	1.20 m 仮定値
上部水槽豎坑通水断面積 : A1	1.13 m ²
上部水槽豎坑の径深 : R1	0.30 m
下部水槽豎坑径 : D2	1.20 m 仮定値
下部水槽豎坑通水断面積 : A2	1.13 m ²
下部水槽豎坑の径深 : R2	0.30 m
逆サイフォン管内径 : D	0.70 m 仮定値
逆サイフォン管通水断面積 : A4	0.385 m ²
逆サイフォン管内平均流速 : v4	2.598 m ³ /s (1.5~3.0m ³ /s : 砂防基準設計 I P-141)
逆サイフォン管路延長	30.00 m 仮定値
上部水槽豎坑高さ	5.00 m 仮定値
下部水槽豎坑高さ	6.00 m 仮定値
逆サイフォン管粗度係数	0.011 (FRPM管)
豎坑粗度係数	0.014 (豎坑コンクリート部)
下部水槽の水深 : h2	0.746 m
下部水槽平均流速 : v6	0.125 m/s
上部水槽平均流速 : v5	0.125 m/s
導水路入口の水深 : h	0.641 m
導水管内径 :	1.500 m 仮定値
導水管粗度係数 :	0.011 (FRPM管)
導水管水路勾配 :	0.001 m 仮定値

概略図



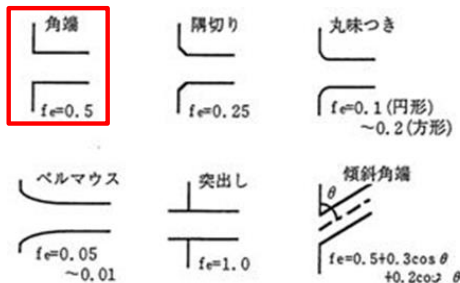
2. 水面低下量の計算

(1) 逆サイフォンによる水面低下量の算定

(a). 逆サイフォンの入口損失水頭

$$h_e = f_e \cdot v^2 / 2g$$

豎坑上部入口損失を上部水槽における流積から豎坑断面積への流入による損失と考える。
発電水力演習P-81第3.7図の「角端」とする。



よって、

$$f_e = 0.500$$

$$v = v_1 = Q/A_1 = 0.884 \text{ m/s}$$

$$h_e = 0.020 \text{ m}$$

豎坑下部入口損失を豎坑における流積から管路断面積への流入による損失と考える。

発電水力演習P-81第3.7図の「角端」とする。

よって、

$$f_e = 0.500$$

$$v = v_2 = 2.598 \text{ m/s}$$

$$h_e = 0.172 \text{ m}$$

$$\sum h_e = 0.192 \text{ m}$$

(b). 豊坑の摩擦による損失水頭

$$h_f = f' \cdot L/R \cdot v^2 / 2g$$

上部水槽豎坑の摩擦による損失

$$f' = 2g \cdot n^2 / R_1^{(1/3)} = 0.006$$

$$v = v_1 = 0.884 \text{ m/s}$$

$$h_f = f' \cdot L/R_1 \cdot v^2 / 2g = 0.004 \text{ m}$$

下部水槽豎坑の摩擦による損失

$$f' = 2g \cdot n^2 / R_2^{(1/3)} = 0.006$$

$$v = v_3 = Q/A_2 = 0.884 \text{ m/s}$$

$$h_f = f' \cdot L/R_2 \cdot v^2 / 2g = 0.005 \text{ m}$$

$$\sum h_f = 0.008 \text{ m}$$

(c). サイフォン管の摩擦による損失水頭

$$h_f = f \cdot L/D \cdot v^2 / 2g$$

サイフォン管の摩擦による損失

$$f = 124.5 \cdot n^2 / D^{(1/3)} = 0.017$$

$$v = v_4 = 2.598 \text{ m/s}$$

$$h_f = f \cdot L/D \cdot v^2 / 2g = 0.250 \text{ m}$$

(d). 逆サイフォンの出口損失水頭

サイフォン管出口損失を管路断面積から下部水槽豎坑における流積への急拡による損失と考える。

$$h_{se} = f_{se} \cdot v^2 / 2g$$

下部水槽豎坑における流積

$$A_2 = 1.131 \text{ m}^2$$

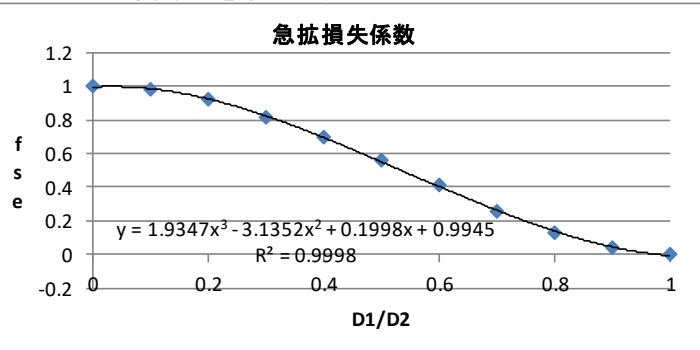
管路断面積

$$A_4 = 0.385 \text{ m}^2$$

$$D_1/D_2 = \sqrt{A_4/A_2} = 0.583$$

水理公式集P-245表1.3より以下の関係式を求める。

D1/D2	fse
0	1
0.1	0.98
0.2	0.92
0.3	0.82
0.4	0.7
0.5	0.56
0.6	0.41
0.7	0.26
0.8	0.13
0.9	0.04
1	0



よって、

$$f_{se} = 0.428$$

$$v = v_4 = 2.598 \text{ m/s}$$

$$h_{se} = f_{se} \cdot v^2 / 2g = 0.148 \text{ m}$$

下部水槽豎坑出口損失を豎坑断面積から下部水槽における流積への急拡による損失と考える。

$$h_{se} = f_{se} \cdot v^2 / 2g$$

下部水槽における流積

$$A_5 = b_2 \cdot L_2 = 8.000 \text{ m}^2$$

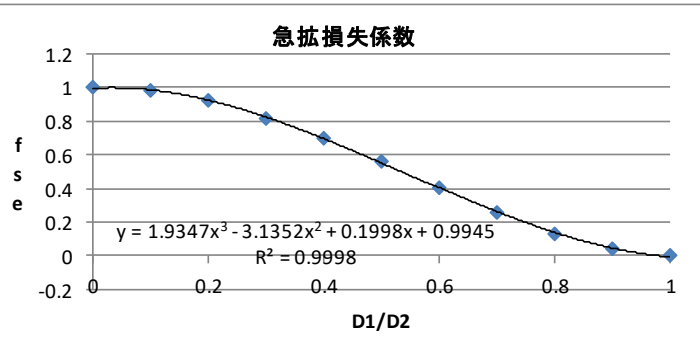
下部水槽豎坑における流積

$$A_2 = 1.131 \text{ m}^2$$

$$D_1/D_2 = \sqrt{A_5/A_2} = 0.376$$

水理公式集P-245表1.3より以下の関係式を求める。

D1/D2	fse
0	1
0.1	0.98
0.2	0.92
0.3	0.82
0.4	0.7
0.5	0.56
0.6	0.41
0.7	0.26
0.8	0.13
0.9	0.04
1	0



よって、

$$f_{se} = 0.729$$

$$v = v_3 = 0.884 \text{ m/s}$$

$$h_{se} = f_{se} \cdot v^2 / 2g = 0.029 \text{ m}$$

$$\sum h_{se} = 0.177 \text{ m}$$

以上により、逆サイフォン管路の総損失水頭 Σh は、

区分	損失水頭 Σh
(a) 逆サイフォンの入口損失水頭	0.192
(b) 竪坑の摩擦による損失水頭	0.008
(c) サイフォン管の摩擦による損失水頭	0.250
(d) 逆サイフォンの出口損失水頭	0.177
計	0.628

よって、逆サイフォン管路による水面低下量（上部水槽と下部水槽との間の水位差）は、

$$\Delta hs = \Sigma h + (V_7^2/2g - V_6^2/2g)$$

Σh :	逆サイフォンによる総損失水頭	0.628 m/s
V ₅ :	逆サイフォンの上部水槽内の平均流速	0.125 m/s
V ₆ :	逆サイフォンの下部水槽内の平均流速	0.125 m/s
=	0.628 + 0.000	
=	0.628 m	

余裕として端数を切り上げる。

$$\text{余裕} = 0.002 \text{ m}$$

逆サイフォン上部水槽の水深と下部水槽の水深との水位差は

$$\Delta hs = 0.630 \text{ m} \text{ とする。}$$

(2) 円形導水路等流水深の算定

導水管内径	1.500 m 仮定値
導水管粗度係数	0.011 (FRPM管)
導水管水路勾配	0.001 m 仮定値

r= 0.750		n= 0.011		i= 0.001					
h	h/D	h/r	α	A	P	R	V	Q	
0.641	0.428	0.855	1.4253	0.721	2.138	0.337	1.393	1.00438	
トライアル									

水深を 0.641 mで仮定する。

$$Q = 1.004 \text{ } \therefore \text{最大使用水量}$$

よって、導水路水深hは 0.641 m とする。
この時の平均流速vは 1.393 m/s となる。

(3) 導水路入口急縮部における水面低下量の算定

導水路入口急縮部における水面低下量 Δh_c は、流入口における流積A_{2'}から水路入口部の流積A₃への急縮によるものと考える。

導水路入口における流積

$$A_6 = 0.721 \text{ m}^2$$

入口の流速

$$v_6 = 1.393 \text{ m/s}$$

流入口における流積

$$A_7 = b_7 * h_7 = 1.493 \text{ m}^2$$

ここに b₇:下部水槽幅

$$h_7:下部水槽水深$$

放水庭の流速

$$2.000 \text{ m}$$

$$0.746 = h_2 + \text{仮定値 } \Delta h_2$$

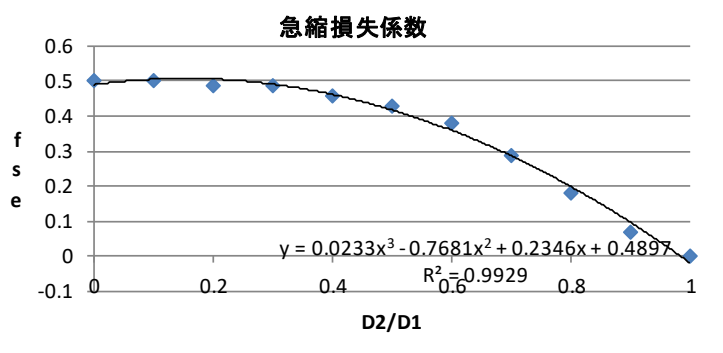
$$\Delta h_2 = 0.105$$

$$v7 = 0.670 \text{ m/s}$$

$$D2/D1 = \sqrt{A6/A7} = 0.695$$

水理公式集P-245表1.4より以下の関係式を求める。

D2/D1	fse
0	0.5
0.1	0.5
0.2	0.49
0.3	0.49
0.4	0.46
0.5	0.43
0.6	0.38
0.7	0.29
0.8	0.18
0.9	0.07
1	0



よって、
 $fsc = 0.290$

よって、流積の急縮による水面低下量は
 $\Delta h_c = fsc \cdot \sqrt{v6^2/2g} + (\sqrt{v6^2/2g} - \sqrt{v7^2/2g})$

$$= 0.029 + 0.076$$

$$= 0.105 \text{ m} = \text{仮定値}$$

(4) 下部水槽水深の算定

下部水槽水深は導水路等流水深に導水路入口急縮部における水面低下量を加算した水深とする。

導水路等流水深	0.641 m
導水路入口漸縮部における水面低下量	0.105 m
下部水槽水深	0.746 m

よって、下部水槽基準水位 = 下部水槽敷高 + 下部水槽水深
 $= 100.000 + 0.746$
 $= 100.746 \text{ m}$

(5) 上部水槽基準水位の算定

上部水槽基準水位は下部水槽基準水位に逆サイフォン水位差を加えた水位とする。

下部水槽基準水位	100.746 m
逆サイフォン水位差	0.630 m
上部水槽基準水位	101.376 m とする。

上部水槽水深はサイフォン管への空気混入防止のため豊坑内幅の1倍以上とする。

豊坑内幅 : D	1.200 m
上部水槽水深 : 1D	1.200 m

よって、被り水深 = 上部水槽基準水位 - 上部水槽敷高
 $= 101.376 - 100.000$
 $= 1.376 \text{ m} > 1D \quad \text{OK}$

3.4.6 水槽

小水力における水槽は沈砂池と兼用した場合が多いです。

これは沈砂池と一体化した水槽を設置し機能を共有する構造です。

一方、沈砂池の下流に単独で水槽を設置する場合もあります。

これは沈砂池と水槽の機能を共有せずそれぞれ保持する構造です。

いずれの場合の水理計算も以下のとおりです。

最大使用水量 $1.00\text{m}^3/\text{s}$ 、沈砂池または水槽の長さは 7m 、沈砂池または水槽の幅を 3m で仮定した場合です。

兼用の場合、水槽の長さは考慮しません。

沈砂池と水槽との間には通常はスクリーンまたは自動除塵機を設置します。

水槽の長さは「中小水力発電ガイドブック H17.9 版 P-310 図 11.12：新エネルギー財団」に準拠し水槽の有効面積（水面積）を流入してからスクリーンまでの長さで計算します。

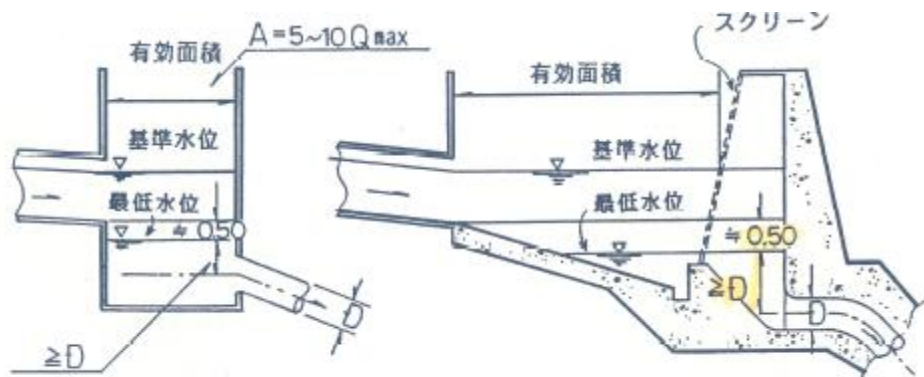
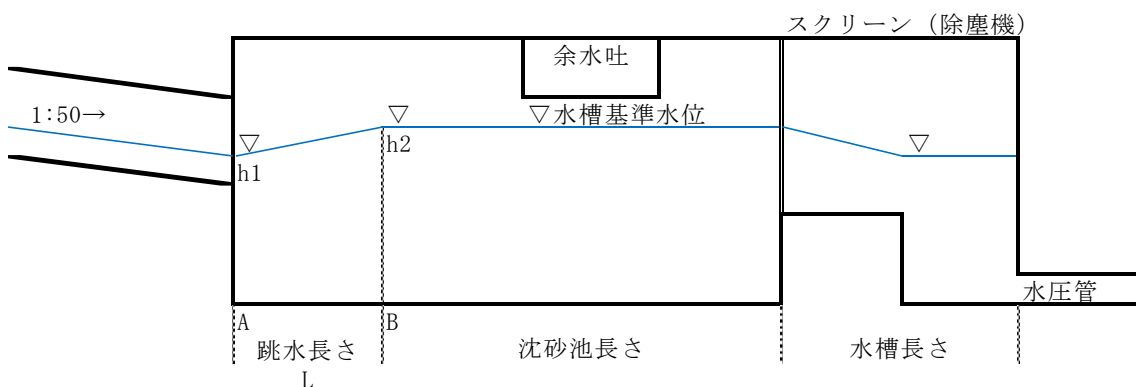


図 11.12 ヘッドタンクの容量略図



(1) 水槽の水面積

水位調整器がハンティング現象を起こさないために必要な水槽の面積は $5 \sim 10 Q_{\max}$ 以上とされています。ここでは、必要面積は最大使用水量の 10 倍以上を見込みます。

$$A = \alpha \times Q_{max}$$

ここに、 A : 水槽の必要面積(m²)

$$Q_{max} : 最大使用水量 = 1.000 \text{ (m}^3 / \text{s)}$$

$$\alpha = 10 \text{ とする。}$$

$$A = 10 \times 1.00 = 10.0 \text{ (m}^2\text{)}$$

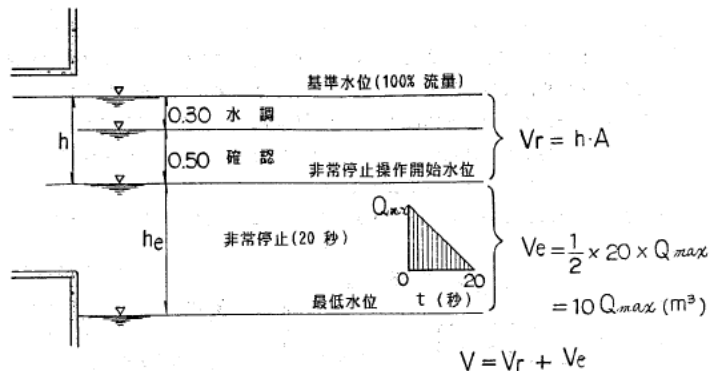
水槽の設計長は前述より 7m、幅 3m としているため実際の水面積は 21m² であり問題ありません。

(2) 水槽の必要容量

水槽の容量（基準水位より最低水位までの内容量）については、水位検出装置の故障で水槽内に異常な水位低下が生じるような運転が行われた時あるいは水路の破壊等により水槽内への水の流入が阻害された時に、発電所の機器がこれらの異常現象発生に応答して停止操作が完了するまでに必要な容量 V_e に、水調・確認容量 V_r（下図の水深 0.8m）を加算したものとなります。

このとき、 V_e は、下図より $10Q_{max}$ とされています。

これは非常停止時間（閉鎖時間） 20sec を前提にしています。



$$V_e = 10 \times 1.00 = 10.0 \text{ m}^3$$

$$h_e = V_e / A = 10.0 / 21.0 \approx 0.48 \text{ m}$$

余裕を見て 0.50m となります。

これより、水槽の有効水深は $0.80 \text{ m} + 0.50 \text{ m} = 1.30 \text{ m}$ となり、水槽基準水位が決定します。

ここで、実際に 20sec で非常停止させた場合に問題になるのは水撃圧です。

水車のタイプによっては過大な水撃圧になる場合があります。

ある事例では水圧上昇を抑えるため、閉鎖時間を 35sec に設定し、静水圧の 20% を水撃圧とすることになりました。

では、 V_e の計算に使用する閉鎖時間をどうするかですが、希頻度な事故障害に対する検討であり、ガイドブックの主旨は水槽規模の縮小による建設費の低減にあることを

踏まえてガイドブックに基づくことにしています。

ただし、下記の被り水深は安全側に考慮しています。

(3) 水圧管の被り水深

水圧管入口の被り水深が少ないと渦巻きが発生しエアが混入して水圧管や水車にキャビテーションによるダメージを与えます。

中小水力発電ガイドブックによれば、「通常、被り水深 1 D 以上の水深を確保する」とあります。

ここで重要なのは被り水深の始まりはどの水位かと言うことです。

それぞれのコンサルで解釈されていると思いますが、弊社では安全側に考慮して上図の非常停止開始水位から水圧管上端までとしています。

最低水位からだと安全側過ぎる、基準水位からだと危険 と解釈しています。

いざ、発電所が非常停止操作に入る水位からの被り水深にしています。

この状態だと使用水量を絞っていくのでエア混入は非常に少ないと考えます。

(4) 動水勾配の確認

水圧管路の動水勾配を計算し、最も負圧が生じやすい水槽呑口付近に負圧が生じないか確認します。

3.4.7 放水路

放水路は放水庭と放水路（無圧水路）で構成します。

ここでは、損失落差の計算に使用する放水位の計算方法についてです。

以下、反動水車（フランシス水車）の場合の放水位の求め方についてです。

(1) 放水位の計算

定義上の放水位とは最終的には河川水位まで行くわけですが、その水位から放水庭水位を計算することは出来るものの、少し簡略的に求めます。

放水路は通常、一定の断面、勾配にします。

この水路の等流水深を求めてスタート水位とします。

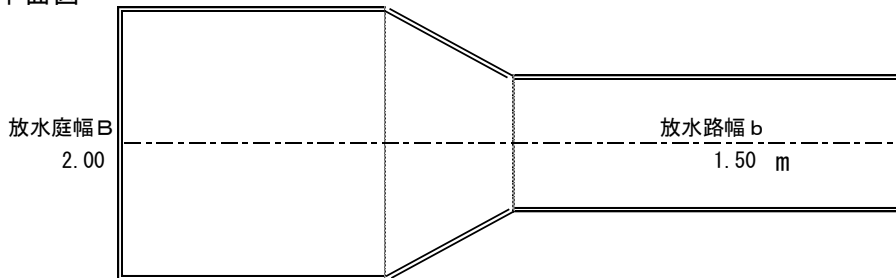
そして放水庭にはドラフトチューブが据え付きますので掘り下げたプール状にし、放水路に向かって縦断的に漸縮する形状にします。

計算例では平面的にも漸縮する形状にしています。

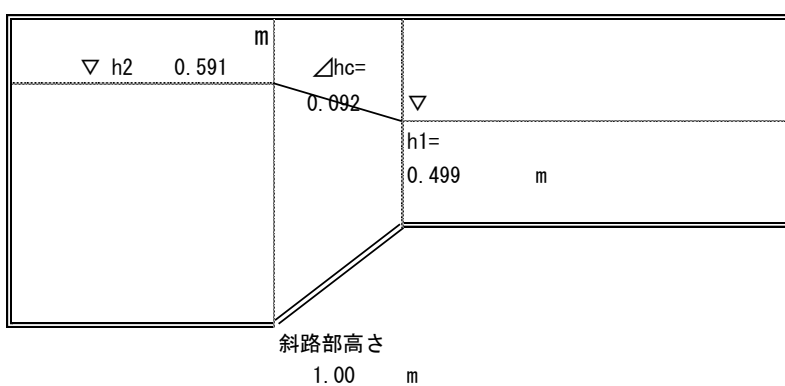
計算方法の一例は以下のとおりです。

放水位の計算

平面図



縦断図



1. 放水路水深

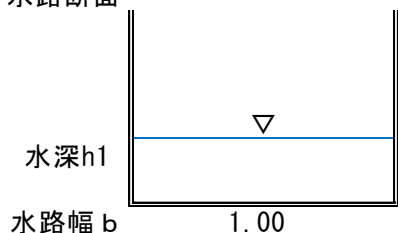
放水路の等流水深をマニングの式より求める。

$$Q = 1/n \cdot R^{2/3} \cdot I^{1/2} \cdot A$$

ここに

Q : 最大使用水量	1.000 m ³ /sで仮定
n : 水路の粗度係数	0.014
R : 径深	
$R = A/S$	0.250 m
A_1 : 通水面積 = $h_1 \cdot b$	0.499 m ²
S : 潤辺 = $2h_1 + b$	1.998 m
I : 水路勾配	0.005 (1/200で仮定)

水路断面



h_1 を 0.499 mで仮定する。

$$Q = 1.000 \quad \doteq \quad \text{最大使用水量}$$

よって、放水路等流水深 h_1 は 0.499 m とする。
この時の平均流速 v_1 は 2.004 m/s となる。

2. 放水庭水位

(1) 放水庭漸縮部における水面上昇量の算定
放水庭漸縮部の水面上昇量 Δh_c を計算する。

$$\Delta h_c = f_{gc} \cdot v_1^2/2g + (v_1^2/2g - v_2^2/2g)$$

ここで

f_{gc} : 漸縮による損失係数

$h_2 = 0.591$ m で仮定する。

$$\begin{aligned} &= h_1 + \text{仮定値 } \Delta h_c \\ \Delta h_c &= 0.092 \end{aligned}$$

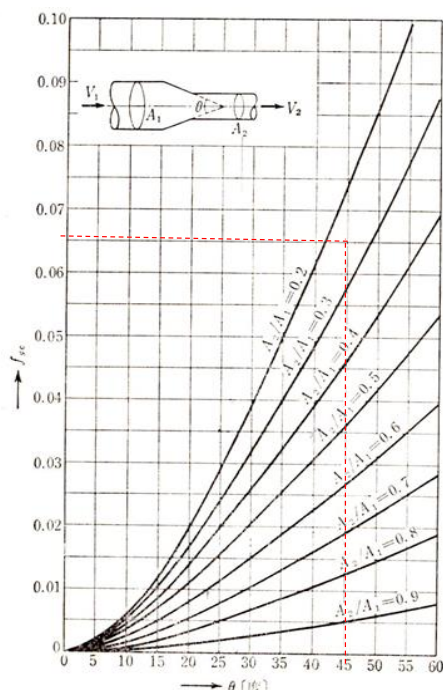
A_2 : 漸縮前通水面積 3.182 m²

A_1 : 漸縮後通水面積 0.749 m²

θ = 漸縮角度 ≈ 45°

$A_2/A_1 = 0.235$

よって、第3.11図より読み取り、 $f_{gc} \approx 0.065$ とする。



第3.11図 漸縮損失係数

発電水力演習 第3.11図

v_1 : 始点断面における平均流速 0.314 m/s
 v_2 : 終点断面における平均流速 1.336 m/s

$$\Delta h_c = 0.092 \text{ m} \quad \approx \text{仮定値 OK}$$

(3) 放水庭水深

$$h_2 = h_1 + \Delta h_c = 0.591 \text{ m} \text{ とする。}$$

3.5 土木構造物の安定計算

各土木構造物について必要な安定計算を行います。

3.5.1 取水ダム

取水ダムの安定計算はチロル取水方式と側方取水方式で若干変化します。

何れにしても、コンクリート重力式ダムとして計算します。

砂防ダムの計算ソフトなどは多々発売されていますが、ダム内部にチロル水路の控除空間などある場合、対応していませんし特段難しい計算ではないので弊社ではセクセルで計算しています。

計算方法の一例は以下のとおりです。

この例は普通河川に設置する場合ですから、指定河川の場合は水叩きや護床工などの細部構造が厳しく審査されます。

取水工越流部の安定計算（不透過型砂防堰堤 高さ15m未満）

1. 基本条件

取水工越流部の安定計算は「土石流・流木対策技術指針」（以下技術指針）に準拠する。

検討は標準断面について、転倒、滑動に対する安定性および基礎地盤の破壊に対して行う。

また、パイピング破壊に対して「技術指針」では基準は無いが、「砂防技術基準（案）設計編Ⅰ第1章第6節床止め」に準拠し検討を行った。

1.1 計算条件

荷重の組み合わせは技術指針表-1の条件について行う。

(1) 土石流時

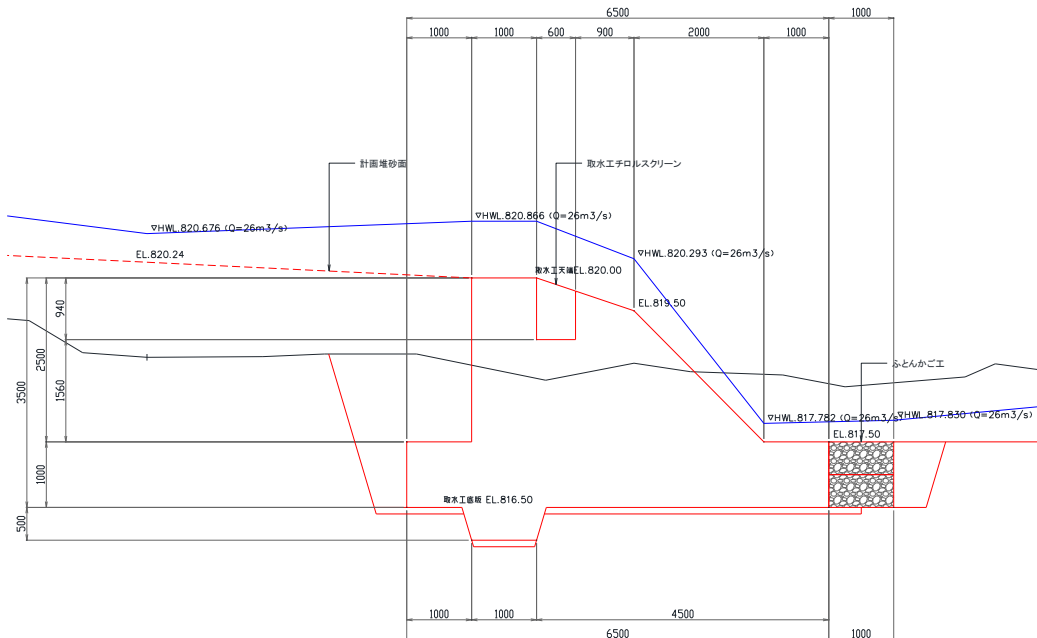
(2) 洪水時

表-1 不透過型砂防堰堤の安定計算に用いる設計外力（自重を除く）

	平 常 時	土 石 流 時	洪 水 時
堰堤高 15m未満		静水圧、堆砂圧、 土石流流体力	静水圧
堰堤高 15m以上	静水圧、堆砂圧、揚 圧力、地震時慣性力、 地震時動水圧	静水圧、堆砂圧、 揚圧力 土石流流体力	静水圧、堆砂圧、 揚圧力

下図に取水工チロル越流部の標準断面を示す。

カットオフは断面に考慮しない。



1.2 安定条件および計算方法

(1) 転倒に対する安定

合力の作用点が、が底部の中央1/3 以内に入ること。

$$x = \frac{M}{V}$$

ここに、

x : 荷重の合力の作用線と堤底との交点から堤底の下流端までの距離 (m)

M : 単位幅あたり原点まわりモーメント (KN·m)

V : 単位幅あたりの鉛直力 (KN/m)

(2) 滑動に対する安定

岩塊玉石地盤とみなしかつ堰堤高15m未満のため技術指針に準拠し、 $\tau_0 \cdot l$ は無視する。

$$n \leq \frac{f \cdot V + \tau_0 \cdot l}{H}$$

ここに、

n : 安全率 1.2 (岩塊玉石)

f : 堤体と基礎地盤との摩擦係数 = 0.7 (岩塊玉石)

表4-2-2-6 地盤のせん断強度 (kN/m³)・内部摩擦係数

岩 盤			砂 磯 地 盤		
区分	せん断強度: τ_0	摩擦係数: f	区分	せん断強度: τ_0	摩擦係数: f
硬岩 (A)	3,000	1.2	岩塊玉石	300	0.7
中硬岩 (B)	2,000	1	礫層	100	0.6
軟岩 (II) (C _H)	1,000	0.8	砂質層	—	0.55
軟岩 (I) (C _M)	600	0.7	粘土層	—	0.45

v : 単位幅あたりの鉛直力 (KN/m)

τ : 堤体または基礎地盤のうち小さい方のせん断強度 = 0 (KN/m²)

l : せん断抵抗を期待できる長さ = 0 (m)

H : 単位幅あたりの水平力 (KN/m)

(3) 基礎地盤の破壊に対する安定

垂直応力 σ に引張応力が生じないとともに堤体および基礎地盤の許容応力度以下であること。

$$\sigma = \frac{V}{b_2} \left(1 \pm \frac{6e}{b_2} \right) < \text{許容応力} \quad 600 \text{ KN/m}^2$$

$$e = x - 1/2 \cdot b_2$$

ここに、

σ : 堤底の上流端または下流端における垂直応力 (KN/m²)

V : 単位幅あたりの鉛直力 (KN/m)

b_2 : 堤底幅 (m)

e : 荷重の合力の作用線と堤底との交点から堤底の中央までの距離 (m)

x : 荷重の合力の作用線と堤底との交点から堤底の下流端までの距離 (m)

許容応力 :

表4-2-2-5 地盤の許容支持力 (kN/m²)

岩 盤		砂 磯 地 盤	
区分	許容支持力	区分	許容支持力
硬岩 (A)	6,000	岩塊玉石	600
中硬岩 (B)	4,000	礫層	400
軟岩 (II) (C _H)	2,000	砂質層	250
軟岩 (I) (C _M)	1,200	粘土層	100

1.3 計算に対する諸数値

W_o : 水の単位体積重量	11.77 (KN/m ³)
W_c : 堤体コンクリート単位体積重量	22.56 (KN/m ³)
W_e : 堆砂の水中単位体積重量	9.81 (KN/m ³)
H : 堤堤の高さ	3.50 (m)
h : 土石流の水深 (= D _d)	0.00 (m) ※後述
b_2 : 堤堤底幅	6.50 (m)

荷重算出に関する計算水位、標高を下記に示す。

(1) 取水堰堤越流天端水位	WL	820.000 (m)
(2) 取水堰堤水叩き標高	EL	817.500 (m)
(3) 取水堰堤底盤標高	EL	816.500 (m)
(4) 計画高水位	WL	820.866 (m)
		0.866 (m)

1.4 荷重条件

(1) 荷重の組み合わせ

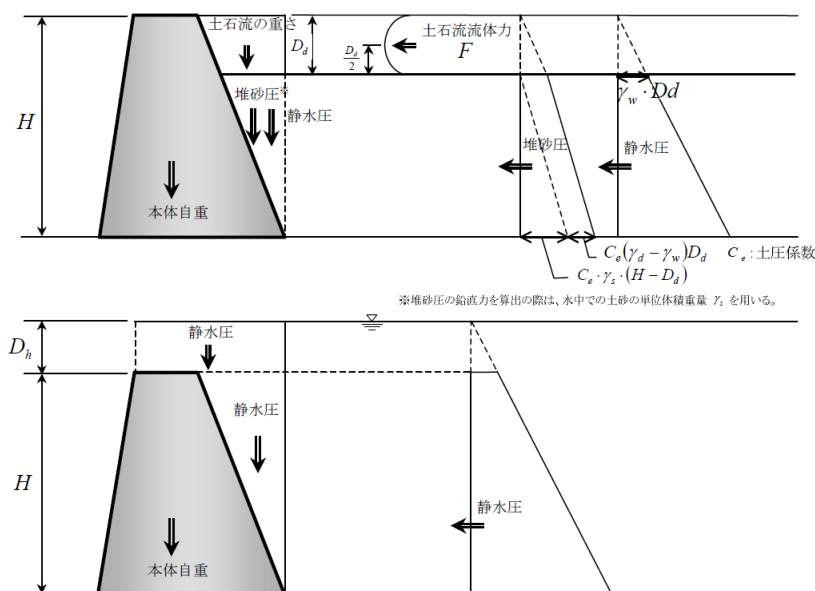


図-3 不透過型砂防堰堤 越流部の設計外力図

(H < 15m、上段：土石流時、下段：洪水時)

a. 土石流時

※土石流については、堰上流側を天端まで埋戻しする計画であり考慮しない。

- ① 本体の重量
- ② 静水圧：堰天端より底盤までの水深とする。
- ③ 堆砂圧：堰天端より底盤までの高さとする。
- ④ 土石流流体力：考慮しない。

b. 洪水時

- ① 本体の重量
- ② 静水圧

(2) 設計荷重

荷重は単位幅1.0mあたりの荷重とする。

a. 本体の重量

堤体コンクリートの単位体積重量を22.56KN/m³として算出する。

b. 静水圧

- ① 土石流時

静水圧

$$\begin{aligned} P_{H1} &= 1/2 \cdot \gamma_0 \cdot (H - h)^2 \\ &= 0.50 \times 11.77 \times (3.500 - 0.000)^2 \\ &= 72.091 \text{ (KN/m)} \end{aligned}$$

$$\begin{aligned} P_{H2} &= \gamma_0 \cdot h \cdot (H - h) \\ &= 11.77 \times 0.00 \times (3.500 - 0.000) \\ &= 0.000 \text{ (KN/m)} \end{aligned}$$

作用点位置

$$\begin{aligned} y_{H1} &= \frac{1}{3} \times (H - h) \quad (\text{m}) \\ &= \frac{1}{3} \times 3.500 \\ &= 1.167 \text{ (m)} \end{aligned}$$

$$\begin{aligned} y_{H2} &= \frac{1}{2} \times (H - h) \quad (\text{m}) \\ &= \frac{1}{2} \times 3.500 \\ &= 1.750 \text{ (m)} \end{aligned}$$

ここに、

$$\begin{aligned} H &: \text{チロル天端高} & 3.500 \text{ (m)} \\ h &: \text{土石流の水深} & 0.000 \text{ (m)} \end{aligned}$$

②. 洪水時

水位はチロル天端高に越流水深を加算した高さとする。

静水圧

$$\begin{aligned} P_{H1} &= \gamma_0 \cdot h_3 \cdot H \\ &= 11.77 \times 0.87 \times 3.500 \\ &= 35.675 \text{ (KN/m)} \end{aligned}$$

$$\begin{aligned} P_{H2} &= 1/2 \cdot \gamma_0 \cdot H^2 \\ &= 0.50 \times 11.77 \times 12.250 \\ &= 72.091 \text{ (KN/m)} \end{aligned}$$

作用点位置

$$\begin{aligned} y_{H1} &= \frac{1}{2} \times H \quad (\text{m}) \\ &= \frac{1}{2} \times 3.500 \\ &= 1.750 \text{ (m)} \end{aligned}$$

$$\begin{aligned} y_{H2} &= \frac{1}{3} \times H \quad (\text{m}) \\ &= \frac{1}{3} \times 3.500 \\ &= 1.167 \text{ (m)} \end{aligned}$$

ここに、

$$\begin{aligned} H &: \text{チロル天端高} & 3.500 \text{ (m)} \\ h_3 &: \text{洪水時越流水深} & 0.866 \text{ (m)} \end{aligned}$$

c. 堆砂圧

①. 土石流時

$$\begin{aligned} P_{eH1} &= 1/2 \cdot C_e \cdot W_e \cdot (H - h)^2 \\ &= 0.5 \times 0.333 \times 9.81 \times (3.500 - 0.000)^2 \\ &= 20.029 \text{ (KN)} \end{aligned}$$

$$\begin{aligned} P_{eH2} &= C_e \cdot W_e \cdot (H - h) \cdot h \\ &= 0.333 \times 9.81 \times (3.500 - 0.000) \times 0.000 \\ &= 0 \text{ (KN)} \end{aligned}$$

ここに、
C_e : 土圧係数

$$C_e = \frac{\cos i - \sqrt{\cos^2 i - \cos^2 \phi}}{\cos i + \sqrt{\cos^2 i - \cos^2 \phi}}$$

$$= \frac{0.5000}{1.5000}$$

$$= 0.333$$

ここに、
i : 堆砂勾配（埋め戻し勾配） 0°
φ : 堆砂土の水中での内部摩擦角 30°

作用点位置

$$y_{eH1} = 1/3 (H - h) = 1.167 \text{ (m)}$$

$$y_{eH1} = 1/2 (H - h) = 1.750 \text{ (m)}$$

d. 土石流流体力

$$F = K_h \cdot \gamma_d / g \cdot D_d \cdot U^2$$

$$= 1.0 \times 15.876 / 9.80 \times 0.000 \times 0.000^2$$

$$= 0.000 \text{ (KN/m)}$$

ここに、
F : 単位幅当りの土石流流体力 (KN/m)
K_h : 係数 1.0 とする
γ_d : 土石流単位体積重量 (KN/m³)
γ_d = {σ · C_d + ρ · (1 - C_d) } g
σ : 碓の密度 2,600 kg/m³
C_d : 土石流濃度 (計算値が0.3より小さくなる場合、C_d=0.30)
C_d = 0.3 とする
ρ : 水の密度 1,200 kg/m³
= 15.876 N/m³
= 15.876 KN/m³
g : 重力加速度 (9.8m/sec²)
D_d : 設計土石流水深 (m) 0.000 (m)
U : 土石流の流速 (m/s)
設計洪水位の計算結果より、U = 0.000 (m/s)

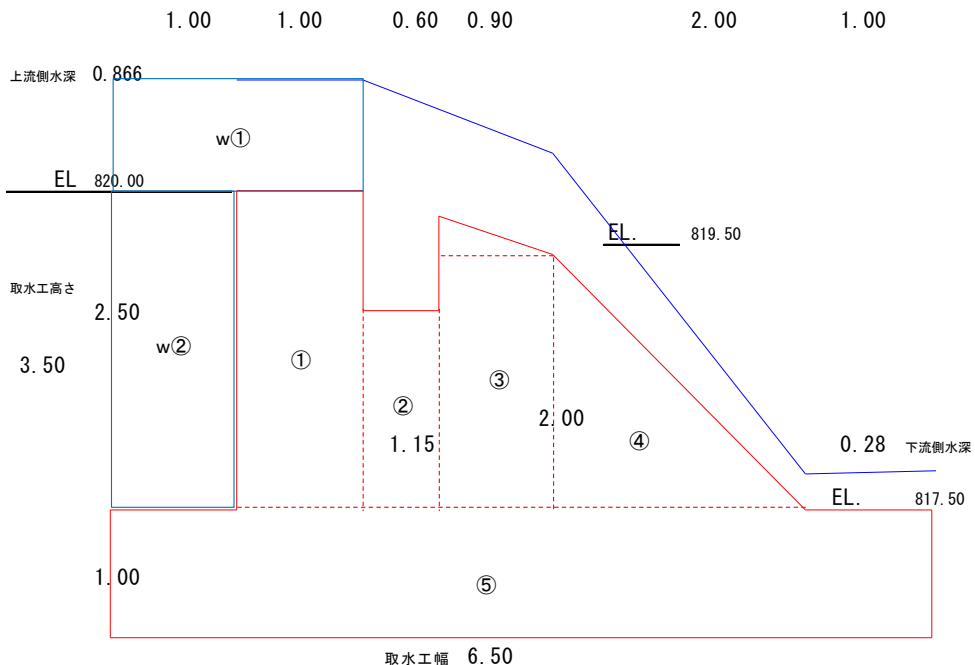
作用点位置

$$y_F = (H - h) + h / 2 = 3.500 \text{ (m)}$$

2. 取水工越流部の安定計算

2.1 自重および重心位置

安定計算断面は下図のとおり。



	A			x	A · x	y	A · y
①	1.00	×	2.50	×	1.00	=	2.50
②	0.60	×	1.15	×	1.00	=	0.69
③	0.90	×	2.00	×	1.00	=	1.80
④	2.00	×	2.00	×	0.50	=	2.00
⑤	6.50	×	1.00	×	1.00	=	6.50
Σ					13.49		47.40
							16.90

$$\text{重心位置 } x_G = \frac{\sum A \cdot x}{\sum A} = \frac{47.40}{13.49} = 3.514 \text{ (m)}$$

$$y_G = \frac{\sum A \cdot y}{\sum A} = \frac{16.90}{13.49} = 1.252 \text{ (m)}$$

$$\text{堤体自重 } V = W_c \cdot A = 22.56 \times 13.49 = 304 \text{ (KN)}$$

水重

	A			x	A · x	y	A · y
w①	1.00	×	2.50	×	1.00	=	2.50
Σ					4.23		24.53
							12.44

$$\text{重心位置 } x_G = \frac{\sum A \cdot x}{\sum A} = \frac{24.53}{4.23} = 5.795 \text{ (m)}$$

$$y_G = \frac{\sum A \cdot y}{\sum A} = \frac{12.44}{4.23} = 2.939 \text{ (m)}$$

$$\text{水重 } Vw = W_w \cdot A = 11.77 \times 4.23 = 50 \text{ (KN)}$$

堆砂自重

	A			x	A · x	y	A · y
w②	1.00	×	2.50	×	1.00	=	2.50
Σ					2.50		15.00
							5.63

$$\text{重心位置 } x_g = \frac{\sum A \cdot x}{\sum A} = \frac{15.00}{2.50} = 6.000 \text{ (m)}$$

$$y_g = \frac{\sum A \cdot y}{\sum A} = \frac{5.63}{2.50} = 2.250 \text{ (m)}$$

$$\text{堆砂自重 } V_e = W_e \cdot A = 9.81 \times 2.50 = 25 \text{ (KN)}$$

洪水時水重

	A					x	A · x	y	A · y
w①	2.00	×	0.87	×	1.00	=	1.73	5.50	9.53
w②	1.00	×	2.50	×	1.00	=	2.50	6.00	15.00
Σ							4.23		24.53
									12.44

$$\text{重心位置 } x_g = \frac{\sum A \cdot x}{\sum A} = \frac{24.53}{4.23} = 5.795 \text{ (m)}$$

$$y_g = \frac{\sum A \cdot y}{\sum A} = \frac{12.44}{4.23} = 2.939 \text{ (m)}$$

$$\text{洪水時水重 } V_w = W_c \cdot A = 11.77 \times 4.23 = 50 \text{ (KN)}$$

2.2 堤壩に作用する荷重の集計

(1) 土石流時

荷重の種類	鉛直力	作用位置	モーメント	水平力	作用位置	モーメント
	V (KN)	x (m)	V · x (KN · m)	H (KN)	y (m)	H · y (KN · m)
堤体自重V	304.334	3.514	1,069.431			0.000
堆砂自重Ve	24.525	6.000	147.150			0.000
水重Vw	49.811	6.000	298.864			0.000
静水圧PH1			0.000	72.091	1.167	84.130
静水圧PH2			0.000	0.000	1.750	0.000
堆砂PeH1			0.000	20.029	1.167	23.374
堆砂PeH2			0.000	0.000	1.750	0.000
土石流流体力				0.000	3.500	0.000
計	378.670		1,515.445	92.120		107.504
$\Sigma V =$	378.670			$\Sigma H =$	92.120	$\Sigma M =$ 1,407.941

(2) 洪水時

荷重の種類	鉛直力	作用位置	モーメント	水平力	作用位置	モーメント
	V (KN)	x (m)	V · x (KN · m)	H (KN)	y (m)	H · y (KN · m)
堤体自重V	304.334	3.514	1,069.431			0.000
堆砂自重Ve	24.525	6.000	147.150			0.000
水重Vw	49.811	5.795	288.653			0.000
静水圧PH1			0.000	35.675	1.750	62.431
静水圧PH2			0.000	72.091	1.167	84.130
計	378.670		1,505.234	107.766		146.561
$\Sigma V =$	378.670			$\Sigma H =$	107.766	$\Sigma M =$ 1,358.673

2.3 堤壩安定計算結果

(1) 土石流時

a. 転倒に対する安定

$\Sigma V (KN)$	$\Sigma M (KN \cdot m)$	$b_2 (m)$	$x = \frac{\Sigma M}{\Sigma V} (m)$	
378.670	1,407.941	6.500	3.718	
$\Sigma V (KN)$	$\Sigma M (KN \cdot m)$	$b_2 (m)$	$e = \frac{\Sigma M}{\Sigma V} - \frac{b_2}{2} (m)$	
378.670	1,407.941	6.500	0.468	$b_2/6 = 1.083$ OK

b. 滑動に対する安定

$\Sigma H (KN)$	$\Sigma V (KN)$	f	$n = \frac{f \Sigma V + \tau \ell}{\Sigma H}$	$\tau = 0$
92.120	378.670	0.7	2.877	1.2 OK

c. 地盤支持力に対する安定

$\Sigma V (KN)$	$b_2 (m)$	e	$q = \frac{\Sigma V}{b_2} (1 \pm \frac{6e}{b_2}) (KN/m^2)$	
378.670	6.500	0.468	83, 33	$\langle qa = 600$ OK

以上、必要な安全率を持ち、また許容値を下回り安全である。

(2) 洪水時

a. 転倒に対する安定

$\Sigma V (KN)$	$\Sigma M (KN \cdot m)$	$b_2 (m)$	$x = \frac{\Sigma M}{\Sigma V} (m)$	
378.670	1,358.673	6.500	3.588	
$\Sigma V (KN)$	$\Sigma M (KN \cdot m)$	$b_2 (m)$	$e = \frac{\Sigma M}{\Sigma V} - \frac{b_2}{2} (m)$	
378.670	1,358.673	6.500	0.338	$b_2/6 = 1.083$ OK

b. 滑動に対する安定

$\Sigma H (KN)$	$\Sigma V (KN)$	f	$n = \frac{f \Sigma V + \tau \ell}{\Sigma H}$	$\tau = 0$
107.766	378.670	0.7	2.460	1.2 OK

c. 地盤支持力に対する安定

$\Sigma V (KN)$	$b_2 (m)$	e	$q = \frac{\Sigma V}{b_2} (1 \pm \frac{6e}{b_2}) (KN/m^2)$	
378.670	6.500	0.338	76, 40	$\langle qa = 600$ OK

以上、必要な安全率を持ち、また許容値を下回り安全である。

3. パイピング破壊（浸透経路長）の検討

- ・レインの式より（砂防技術基準設計 I P-60）

$$C \leq \frac{\frac{L}{3} + \sum I}{\Delta H}$$

ここに

C : 加重クリープ比

表 1-5 レーンの加重クリープ比

地盤の土質区分	C	地盤の土質区分	C
極めて細かい砂またはシルト	8.5	粗 砂 利	4.0
細 砂	7.0	中 砂 利	3.5
中 砂	6.0	栗石を含む粗砂利	3.0
粗 砂	5.0	栗石と砂利を含む	2.5

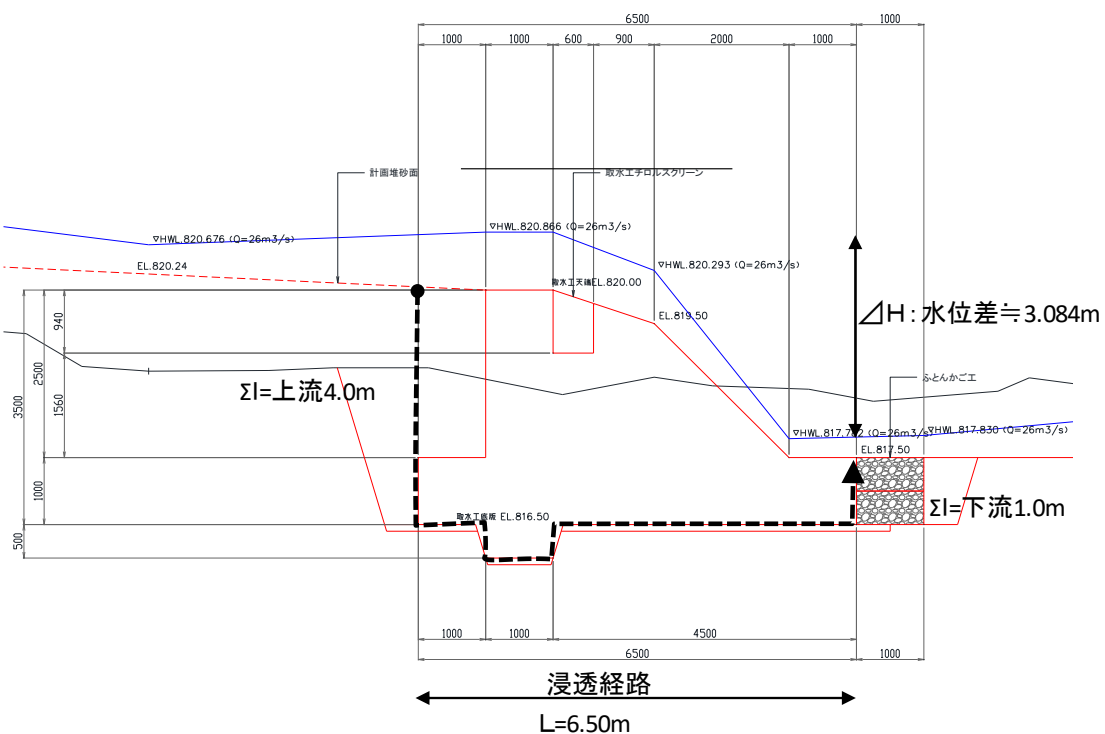
L : 本体および水叩き長 (m) 6.50

ΣI : 鉛直方向の浸透経路長 (m) 5.50

ΔH : 上下流最大水位差 (m) 3.08

$$C = \frac{\frac{6.50}{3} + 5.50}{3.08}$$

$$= 2.49 \quad \approx C : 栗石と砂利を含む : 2.5 \quad O K$$



3.5.2 沈砂池・水槽

(1) 本体の安定計算

本体の安定計算のやり方は特段難しい計算ではないので弊社ではセクセルで計算しています。

計算方法の一例は以下のとおりです。

沈砂池・水槽安定計算書

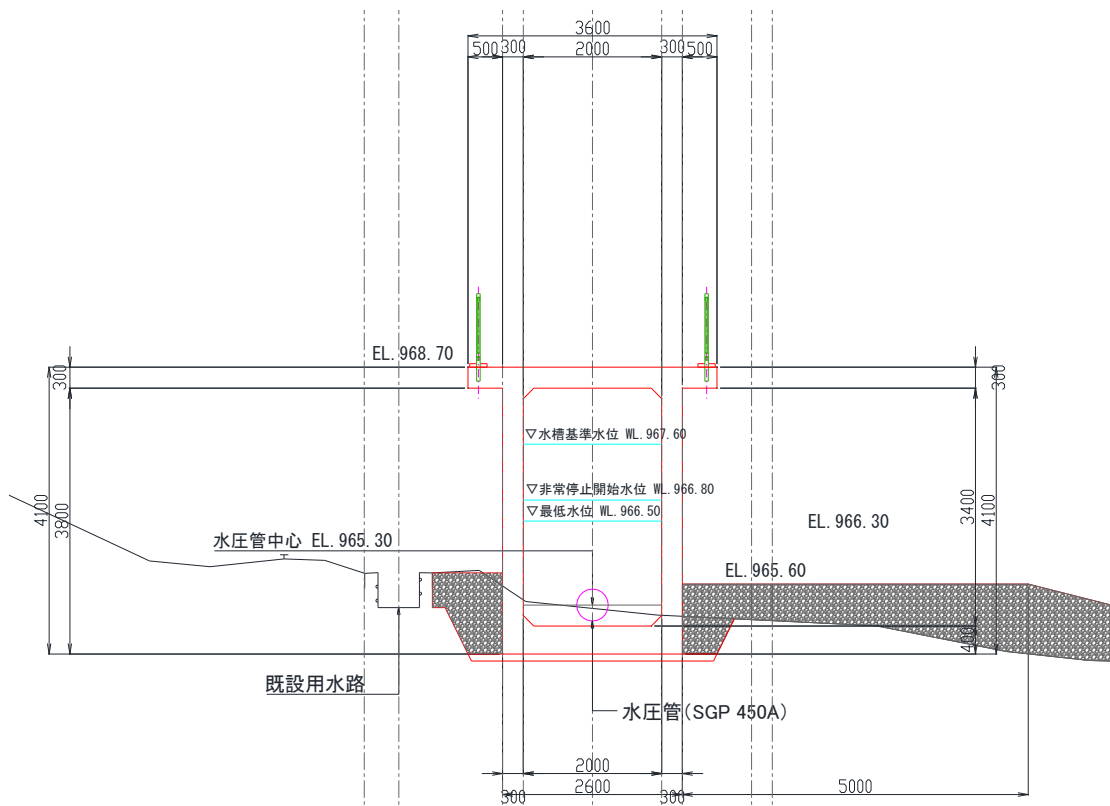
検討断面は最も断面が大きい断面とし、水重が無く危険側となる水路断水時とする。

1. 設計条件

(1) 形状寸法

単位幅 1.00 m

断面図



(2) 地震時係数

地震水平震度 : kh (5.9門型カルバートの設計に準拠する)

$$Kh = cz \cdot k_{ho} = 0.160$$

k_{ho} : 設計水平震度の標準値 0.16 (解表5-12地盤種別 I 種)

cz : 地域別補正係数 1.0 (道路土工要綱資表1-4地域区分A)

地震時上載荷重 無し

(3) 単位重量及び土質諸元

コンクリートの単位重量 $\gamma_c = 24.5 \text{ kN/m}^3$ (鉄筋コンクリート)

背面土の単位重量 $\gamma_s = 19 \text{ kN/m}^3$ (砂質土)

水の単位重量 $\gamma_w = 9.81 \text{ kN/m}^3$

堆砂の水中単位体積重量 $\gamma_w = 10 \text{ kN/m}^3$

背面土の内部摩擦角 $\phi = 30$ 度 (砂質土)

堆砂の内部摩擦角 $\phi = 30$ 度 (砂質土)

地表面が水平面となす角 $\alpha = 0$ 度

背面が鉛直面となす角 $\theta = 0$ 度

壁面摩擦角 常時 $\phi 2/3$ $\delta :$ 20.0° (土とコンクリート)

地震時 0.0° (土とコンクリート)

滑動摩擦係数 $\tan \phi_B = 0.6$ 度 (砂質土)

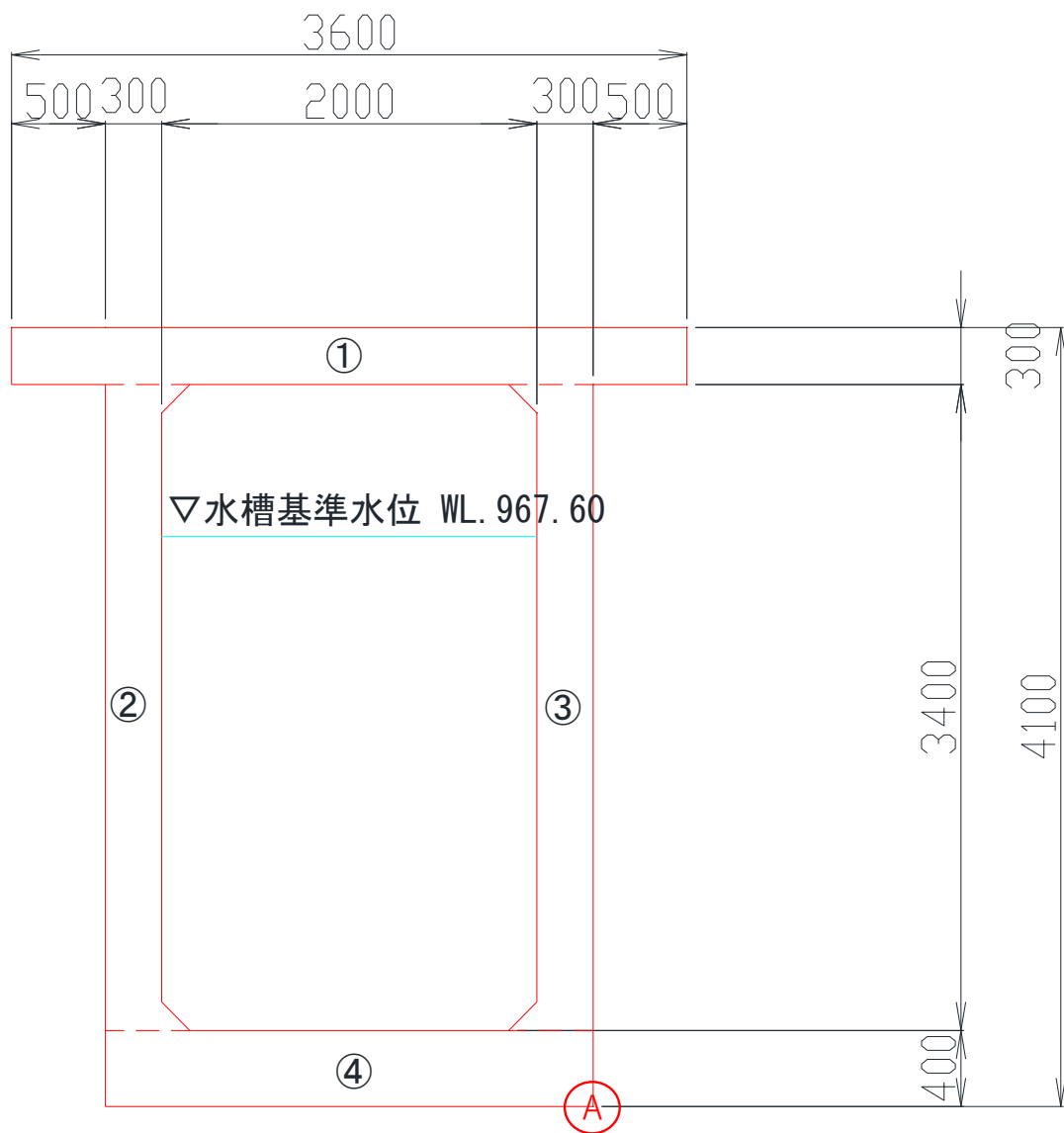
地盤許容支持力 常時 $q_a = 300 \text{ kN/m}^2$ (砂質地盤 密なもの)

地震時 450 kN/m^2 (砂質地盤 密なもの)

地盤の粘着力 $C = 0 \text{ kN/m}^2$

2. 荷重の計算

- (1) 常時の作用荷重は、死荷重、土圧とする。
- (2) 地震時の作用荷重は、死荷重、土圧、地震時慣性力とする。
- (3) 死荷重の計算



	幅 (m)	高さ (m)	係数	面積 (m ²)	延長当り重量 (KN)
W①	3.60	0.30	1.00	1.080	26
W②	3.40	0.30	1.00	1.020	25
W③	3.40	0.30	1.00	1.020	25
W④	2.60	0.40	1.00	1.040	25
計					102

(5) 静水圧の計算

$$P_w = 1/2 \rho g h^2$$

h : 水槽の水深

$$= 0.5 \times 9.81 \times 0$$

$$= 0.000 \text{ kN/m}$$

0 m

断水時

作用点位置

$$y_s = 1/3 h$$

$$= 0 \text{ m}$$

(6) 土圧の計算 (PA、PEA)

土圧の計算はクーロン式による方法を用いる。

土圧係数Kの計算

$$\phi = 30^\circ$$

$$\theta_0 = \tan^{-1} kh = \text{常時 } 0.00^\circ$$

$$\theta_0 = \tan^{-1} kh = \text{地震時 } 9.09^\circ$$

$$\theta = 0.00^\circ$$

$$\delta = \text{常時 } 20.00^\circ$$

$$= \text{地震時 } 0.00^\circ$$

$$\alpha = 0.00^\circ$$

$$K = \frac{\cos^2(\phi - \theta_0 - \theta)}{\cos \theta_0 \cos^2 \theta \cos(\delta + \theta_0 + \theta)} \left[1 + \sqrt{\frac{\sin(\phi + \delta) \sin(\phi - \alpha - \theta_0)}{\cos(\delta + \theta_0 + \theta) \cos(\theta - \alpha)}} \right]^2$$

$$\text{常時 } K_A = \frac{0.75000}{0.939692621 \left[1 + \sqrt{\frac{0.383022222}{0.939692621}} \right]^2}$$

$$= 0.297$$

$$\text{地震時 } K_{Ae} = \frac{0.87262}{0.975039002 \left[1 + \sqrt{\frac{0.178448264}{0.987440632}} \right]^2}$$

$$= 0.441$$

常時全土圧

$$P_A = \frac{1}{2} \gamma s \cdot K_A \cdot H^2$$

H : 土圧高 1.00 m
= 2.824 kN/m 延長当り 2.824 kN/m

常時全土圧の水平分力

$$P_H = P_A \cos \delta$$

$$= 2.824 \times 0.93969$$

$$= 2.654 \text{ kN/m 延長当り } 2.654 \text{ kN/m}$$

常時全土圧の鉛直分力

$$P_V = P_A \sin \delta$$

$$= 2.824 \times 0.34202$$

$$= 0.966 \text{ kN/m 延長当り } 0.966 \text{ kN/m}$$

常時全土圧Pの作用位置

$$y = 1/3 \cdot H$$

$$= 0.333 \text{ m}$$

地震時全土圧

$$P_{EA} = \frac{1}{2} \gamma_s \cdot K_{EA} \cdot H^2$$

H : 土圧高 1.00 m
= 4.186 kN/m 延長当り 4.186 kN/m

地震時全土圧の水平分力

$$P_H = P_{EA} \cos \delta$$

= 4.186 × 1.00000
= 4.186 kN/m 延長当り 4.186 kN/m

地震時全土圧の鉛直分力

$$P_V = P_{EA} \sin \delta$$

= 4.186 × 0.00000
= 0.000 kN/m 延長当り 0.000 kN/m

地震時全土圧 P の作用位置

$$y = \frac{1}{3} \cdot H$$

= 0.333 m

3. 常時の安定検討

(1) 合力作用位置

合力作用位置を求めるため、基礎底盤A点に関する各力のモーメントを求める。

区分		重量 (KN)	アーム (m)	モーメント (KN・m)
鉛直力 (抵抗モーメント)	死荷重	W①	26	1.800
		W②	25	2.450
		W③	25	0.150
		W④	25	1.300
				48 61 4 33
水平力Mo (転倒モーメント)	鉛直土圧	Pv1	1	2.600
		ΣN	103	148
	水平土圧	Ph1	3	0.333
		ΣH	3	Mo
		ΣM		1
				147

A点より合力作用位置までの距離

$$e' = \frac{\sum M}{\sum N} = \frac{147}{103} = 1.432 \text{ m}$$

(2) 転倒に対する検討

$$e = \frac{B}{2} - e' = \frac{2.600}{2} - 1.432 = -0.132 \text{ m}$$

ただし、B : 底盤長さ
よって、 $e \leq B/6 = 0.433 \text{ m} \dots \dots \text{OK}$

(3) 滑動に対する検討

$$F_s = \frac{\sum N \cdot \tan \phi B + C \cdot B}{\sum H} = \frac{103 \times 0.6}{3} + 0 \times 2.600 = 23.259 \geq 1.5 \dots \dots \text{OK}$$

(4) 地盤支持力に対する検討

$6e/B = -0.31 < 1$ のため、地盤反力は以下の式による。

$$q = \frac{\sum N}{A} (1 \pm \frac{6e}{B})$$

$$= \frac{103}{2.60} (1 \pm -0.305)$$

$$q_1 = 28 \text{ KN/m}^2 < q_a = 300 \text{ KN/m}^2 \dots \dots \text{OK}$$

$$q_2 = 52 \text{ KN/m}^2$$

4. 地震時の安定検討

(1) 合力作用位置

合力作用位置を求めるため、基礎底盤A点に関する各力のモーメントを求める。

区分		重量 (KN)	アーム (m)	モーメント (KN・m)
鉛直力 (抵抗モーメント)	死荷重	W①	26	1.800
		W②	25	2.450
		W③	25	0.150
		W④	25	1.300
				33
鉛直土圧	Pv1	0	2.600	0
	ΣN	102		146
水平力Mo (転倒モーメント)	水平土圧	P _{H1}	4	0.333
	地震時慣性力	W①H	4	3.950
		W②H	4	2.100
		W③H	4	2.100
		W④H	4	0.200
				1
	地震時動水圧	P _d		0
	ΣH	20	Mo	36
		ΣM	-	110

A点より合力作用位置までの距離

$$e' = \frac{\sum M}{\sum N} = \frac{110}{102} = 1.079 \text{ m}$$

(2) 転倒に対する検討

$$e = \frac{B}{2} - e' = \frac{2.600}{2} - 1.079 = 0.221 \text{ m}$$

ただし、B : 底盤長さ
よって、 $e \leq B/3 = 0.867 \text{ m} \dots \text{OK}$

(3) 滑動に対する検討

$$F_s = \frac{\sum N \cdot \tan \phi \cdot B + C \cdot B}{\sum H} = \frac{102 \times 0.6}{20} + 0 \times 2.600 = 2.984 \geq 1.2 \dots \text{OK}$$

(4) 地盤支持力に対する検討

$6e/B = 0.51 > 1$ のため、地盤反力は以下の式による。

$$q = \frac{\sum N}{A} (1 \pm \frac{6e}{B})$$

$$= \frac{20}{2.60} (1 \pm 0.509)$$

$$q_1 = 12 \text{ KN/m}^2 \quad q_2 = 4 \text{ KN/m}^2$$

$$< q_a = 450 \text{ KN/m}^2 \dots \text{OK}$$

(2) 余水路減勢工

余水路に減勢工を設置する場合は安定検討する必要があります。

この場合は少し難しい計算になります。

余水路本体は急斜面上に設置されるため、基礎地盤が岩盤以外だと滑動抵抗力が少ないため滑動します。

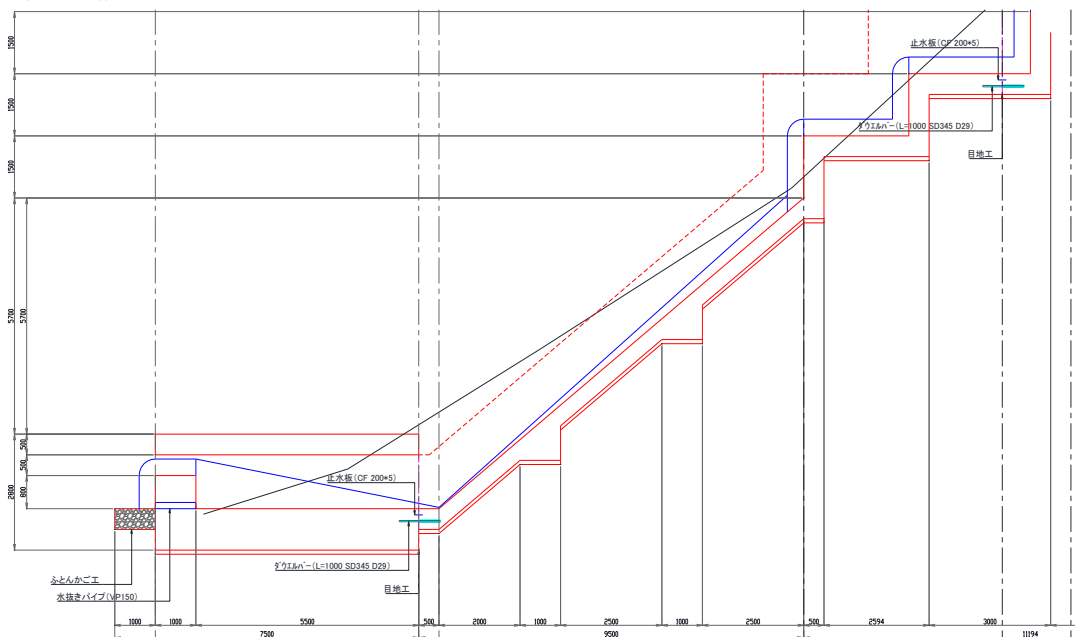
コストを掛けて基礎を深堀して岩着すれば抵抗力を得ることも不可能では無いですが、小水力のスケールではなかなか難しいです。

そこで、下部の減勢池水叩き部を大きくして上部の余水路本体の滑動力を支えるような設計にします。

計算方法の一例は以下のとおりです。

沈砂池余水路 滑動力の計算

余水路縦断面図



余水路延長

9.5 m

α : 傾斜角

40°

・全重量の計算

余水路コンクリート自重

14.400 kg/m

幅

3.00 m

高さ

2.00 m

コンクリートの単位体積重量

2.40 t/m³

水路部控除

7.200 kg/m

幅

2.00 m

高さ

1.50 m

コンクリートの単位体積重量

2.40 t/m³

積雪荷重

2.100 kg/m

積雪深さ

2.00 m

積雪の単位体積重量

0.35 t/m³

積雪の載荷幅

3.00 m

W : 全重量 = 余水路コンクリート自重 + 積雪荷重 =

16.500 kg/m

Wv : 垂直成分 = W · cos α =

12.640

Wh : 管軸成分 = W · sin α =

10.606

μ : コンクリートと基礎の摩擦係数 = tan ϕ =

0.600

滑動抵抗力 = Wv 垂直成分 · μ

9.900

安全率 = 滑動抵抗力 / 管軸成分 =

0.60 ≥ OUT

滑動抵抗力が不足するため、水叩き部で支持する。

1m当り滑動抵抗力不足分

6.600 t/m

水平成分

4.242 t/m

鉛直成分

5.056 t/m

水圧管路水平成分滑動力 = 水圧管路延長m × 1m当り不足分 =

40.299 t

≒ 403.000 KN

水圧管路鉛直成分滑動力 = 水圧管路延長m × 1m当り不足分 =

48.032 t

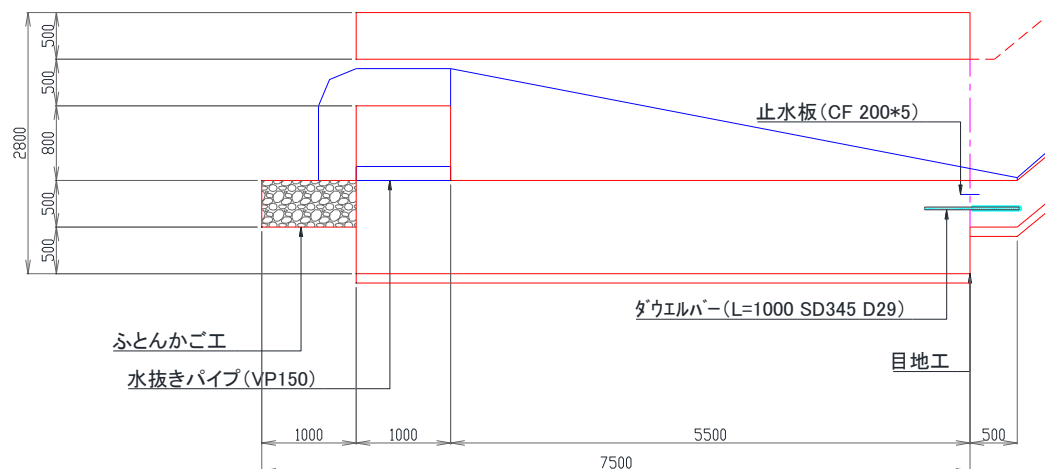
≒ 481.000 KN

水叩き安定計算書

1. 設計条件

(1) 形状寸法

断面図



(2) 地震時係数

地震水平震度 $K_h = 0.12$ (道路土工強震帶、I種地盤)
地震時上載荷重 無し

(3) 単位重量及び土質諸元

コンクリートの単位重量	$\gamma_c =$	24 KN/m ³ (鉄筋コンクリート)
背面土の単位重量	$\gamma_s =$	19 KN/m ³ (砂質土)
背面土の内部摩擦角	$\phi =$	35 度 (礫質土)
地表面が水平面となす角	$\alpha =$	0 度
背面が鉛直面となす角	$\theta =$	0 度
壁面摩擦角	常時 $\phi_{2/3}$ 地震時 $\delta :$	23 ° (土とコンクリート) 0 ° (土とコンクリート)
滑動摩擦係数	$\tan(2/3\phi) =$	0.43 (土とコンクリート)
地盤許容支持力	常時 $q_a =$ 地震時 $q_a' =$	300 KN/m ² (礫質土) 450 KN/m ² ("")
地盤の粘着力	$C =$	0 KN/m ²

2. 荷重の計算

(1) 考慮する荷重

- 1) 水叩きの自重
- 2) 余水路滑動力
- 3) 地震力

(2) 水叩きの自重の計算

水叩き底盤幅	6.500 m	水叩き幅 水路幅
		3.000 m 2.000 m

	幅 (m)	高さ (m)	係数	面積 (m ²)	重量 (KN)
W①	6.50	2.80	1.00	18.200	1310.400
計					1310.400
W排除	5.50	0.80	1.00	4.400	(211.200)
排除自重計					-211.200
自重					1099.200

(3) 地震力

$$F = K_h \times (\text{自重} + W + W')$$

3. 常時の安定検討

(1) 合力作用位置 (常時)

合力作用位置を求めるため、基礎底盤A点に関する各力のモーメントを求める。

区分		重量 (KN)	アーム (m)	モーメント (KN・m)
鉛直力 (抵抗モーメント)	自重 W①	1,310,400	3.250	4,258,800
	排除自重 W排除	-211,200	3.750	-792,000
	余水路滑動力 P1V	481,000	6.500	3,126,500
	ΣN	1,580,200		6,593,300
水平力Mo (転倒モーメント)	余水路滑動力 P1h	403,000	1.400	564,200
	ΣH	403,000	Mo	564,200
	ΣM	-		6,029,100

A点より合力作用位置までの距離

$$e' = \frac{\Sigma M}{\Sigma N} = \frac{6,029}{1,580} = 3.815 \text{ m}$$

(2) 転倒に対する検討 (常時)

$$e = \frac{B}{2} - e' = \frac{6.500}{2} - 3.815 = -0.565 \text{ m}$$

ただし、B : 底盤長さ

よって、 $e \leq B/6 = 1.083 \text{ m} \dots \dots \text{OK}$

(3) 滑動に対する検討 (常時)

$$Fs = \frac{\Sigma N \cdot \tan \phi B + C \cdot B}{\Sigma H} = \frac{1,580 \times 0.431 + 0}{403} = 1.691 \geq 1.5 \dots \dots \text{OK}$$

(4) 地盤支持力に対する検討 (常時)

$6e/B = -0.52 < 1$ のため、地盤反力は以下の式による。

$$q = \frac{\Sigma N}{A} (1 \pm \frac{6e}{B})$$

$$= \frac{1,580}{19.50} (1 \pm -0.522)$$

$$q_1 = 39 \text{ KN/m}^2 < qa = 300 \text{ KN/m}^2 \dots \dots \text{OK}$$

4. 地震時の安定検討

(1) 合力作用位置 (地震時)

合力作用位置を求めるため、基礎底盤A点に関する各力のモーメントを求める。

区分		重量 (KN)	アーム (m)	モーメント (N・m)
鉛直力 (抵抗モーメント)	自重	W①	1,310.400	3.250
		W②	0.000	0.000
	排除自重	W排除	-211.200	3.750
	余水路滑動力	P1V	481.000	6.500
水平力Mo (転倒モーメント)		ΣN	1,580.200	6,593.300
	余水路滑動力	P1h	403.000	1.400
	地震力	W①H	157.248	1.400
		W②H	0.000	0.000
		W排除H	-25.344	1.650
		ΣH	534.904	Mo
		ΣM	-	5,850.770

A点より合力作用位置までの距離

$$e' = \frac{\sum M}{\sum N} = \frac{5,851}{1,580} = 3.703 \text{ m}$$

(2) 転倒に対する検討 (地震時)

$$e = \frac{B}{2} - e' = \frac{6.500}{2} - 3.703 = -0.453 \text{ m}$$

ただし、B : 底盤長さ
よって、 $e \leq B/3 = 2.167 \text{ m} \dots \text{OK}$

(3) 滑動に対する検討 (地震時)

$$F_s = \frac{\sum N \cdot \tan \phi B + C \cdot B}{\sum H} = \frac{1,580 \times 0.431 + 0 \times 6.500}{535} = 1.274 \geq 1.2 \dots \text{OK}$$

(4) 地盤支持力に対する検討 (地震時)

$6e/B = -0.42 < 1$ のため、地盤反力は以下の式による。

$$q = \frac{\sum N}{A} (1 \pm \frac{6e}{B})$$

$$= \frac{1,580}{19.50} (1 \pm -0.418)$$

$$q_1 = 47 \text{ KN/m}^2 < q_a = 450 \text{ KN/m}^2 \dots \text{OK}$$

$$q_2 = 115 \text{ KN/m}^2$$

3.5.3 導水路

導水路では開渠、暗渠、サイフォン水路等があり、必要な場合は安定検討します。

例えば法面に設置する場合、山側の土圧等に対しての安定性検討は必須です。

逆サイフォン水路では上下部の水槽本体はそれぞれ山側の土圧等を受けますから、安定検討は必要です。

計算方法は特段難しくないので省略します。

3.5.4 水圧管路

水圧管、スラストブロック、アンカブロック部の安定検討を行うため設計内圧を計算します。

計算した設計内圧は水圧管の曲りによる遠心力と不平衡力、漸縮管部のスラスト力等の計算に使用します。

(1) 設計内圧の計算

1) 静水圧の計算

静水圧は総落差です。

2) 水撃圧の計算

水撃圧の計算公式は「水門鉄管技術基準」等に記述されています。

しかし、弊社の経験では水車メーカーのシミュレーション解析値の方が水鉄基準より正確だと考えます。

安全側に設計するために水車メーカーの提示値を採用します。

しかし、海外メーカーなど提示がない場合は計算値を採用します。

計算方法の一例は以下のとおりです。

水圧管設計内圧計算書

1. 条件

水槽基準水位	715.800 m (水槽基準水位)
入口弁中心	593.000 m
水車中心	593.000 m (水車入口中心)
Ho : 静落差 (水車中心)	122.800 m
使用水量	0.800 m ³ /s
平均流速	1.595 m/s
管路延長 : L _o	1871 m
閉鎖時間 : T	35 sec メーカー推奨値

2. 水圧の計算

a. 圧力波の伝搬速度 (発電水力演習P-364 7.1式)

$$\alpha = \sqrt{\frac{\rho}{g}} \left(\frac{1}{K} + \frac{1}{E} \frac{D}{t} \right)^{-\frac{1}{2}}$$

ρ : 水の密度	1.00 t/m ³
g : 重力加速度	9.8 m/sec ²
K : 水の体積弾性係数	200,000 t/m ²
E : 管材の弾性係数	ダクタイル 16,000,000 t/m ²
	FRPM 216,000 t/m ² (1種管φ500以上メーカー提示)
	ポリエチレン 83,000 t/m ² (樹脂管規程P-13)

区間	L: 区間長	材質	D: 管径	t : 管厚	E : 管材の弾性係数	α : 伝搬速度 (m/s)	L・ α	v _o	v _o *L
BP	1.500	ダクタイル	0.8140	0.0110	16,000,000	1,009	1,514	1.537	2.306
No.1固定台	1829.500	FRPM	0.8000	0.0160	216,000	204	372,432	1.592	2911.740
発電所固定台	36.551	ダクタイル	0.8140	0.0110	16,000,000	1,009	36,882	1.537	56.189
漸縮管	1.070	ダクタイル	0.6515	0.0150	16,000,000	1,127	1,206	2.400	2.568
調整管	2.530	SUS304	0.4890	0.0095	20,500,000	1,142	2,890	4.260	10.777
計	1871.151						414.923		2.984
						等価伝搬速度 $\sum \alpha$ =	222	$\sum v_o$ =	1.595

b. 管路定数

$$\rho = \frac{\alpha v_o}{2 g H_o}$$

ρ : 管路定数	222 m/s
α : 圧力波の伝搬速度	1.595 m/s
v _o : 平均流速	
Ho : 静水頭	122.80 m

$$= 0.147$$

$$\theta = \frac{\alpha T}{2 L_o}$$

$$= 2.074$$

$$n = \frac{\rho}{\theta}$$

$$= 0.071$$

c. 水圧hoの計算 (水鉄基準1.4-3式)

ho : 水圧作用による閉塞器位置における上昇水頭(m)

$\rho < 1$ の場合

$$\frac{h_o}{H_o} = \frac{2n}{1+n(\theta-1)}$$

$$= 0.132$$

$$h_o = 16.167 \text{ m}$$

よって上昇水圧率は 13.2% となる。

しかし、水門鉄管技術基準P-16のベルトン水車の記述に準拠し、静水圧の10%以上の20%を水圧とする。

$$h_o = 122.800 \times 0.2$$

$$= 24.560 \text{ m} \text{ とする。}$$

3. 設計内圧

$$\begin{aligned} \text{設計内圧} &= \text{静水圧} + \text{水圧} \\ &= 122.800 + 24.560 \\ &= 147.360 \text{ m} = 1.446 \text{ MPa} \text{ とする。} \end{aligned}$$

3) 材質の違いによる水撃圧の変化

材質の違いによる水撃圧の変化について計算してみました。

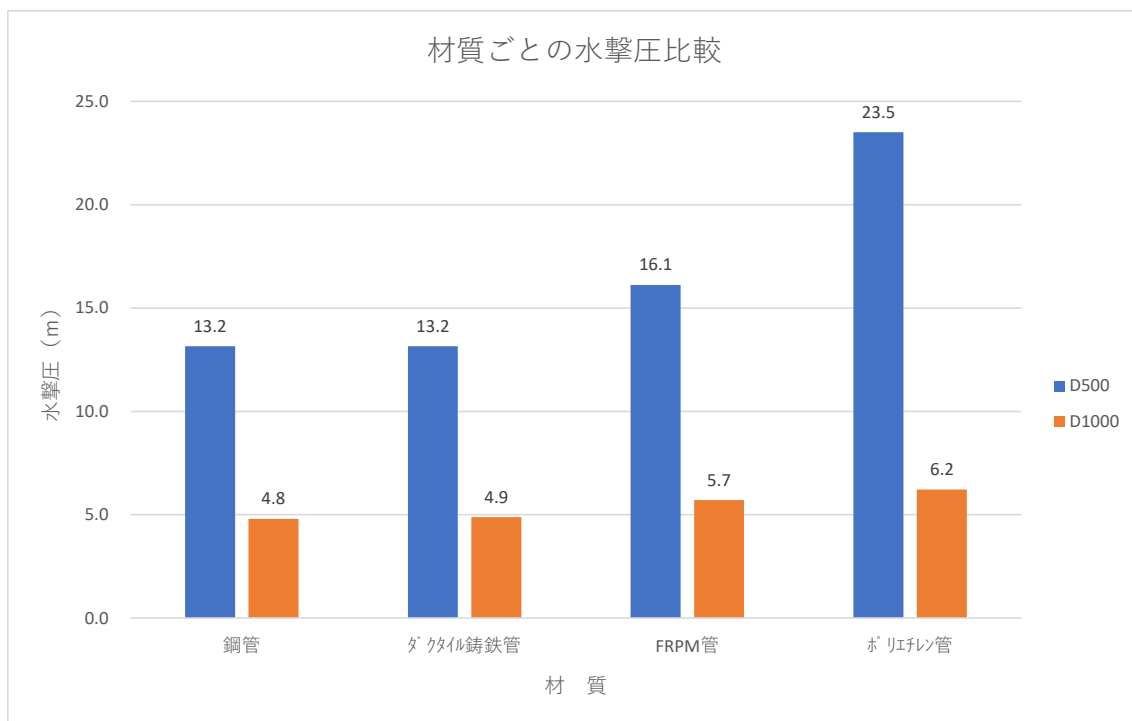
材質は鋼管、FRPM管、ダクタイル鋳鉄管、ポリエチレン管 の4種類です。

また、管内平均流速（圧力波の伝搬速度）による変化もみるため、水圧管内径はD500mmとD1000mmの2種類としました。

また、総落差は100m、使用水量は0.50m³/s、管路長は1000m、板厚は10mmで統一しています。

違うのは弾性係数のみです。

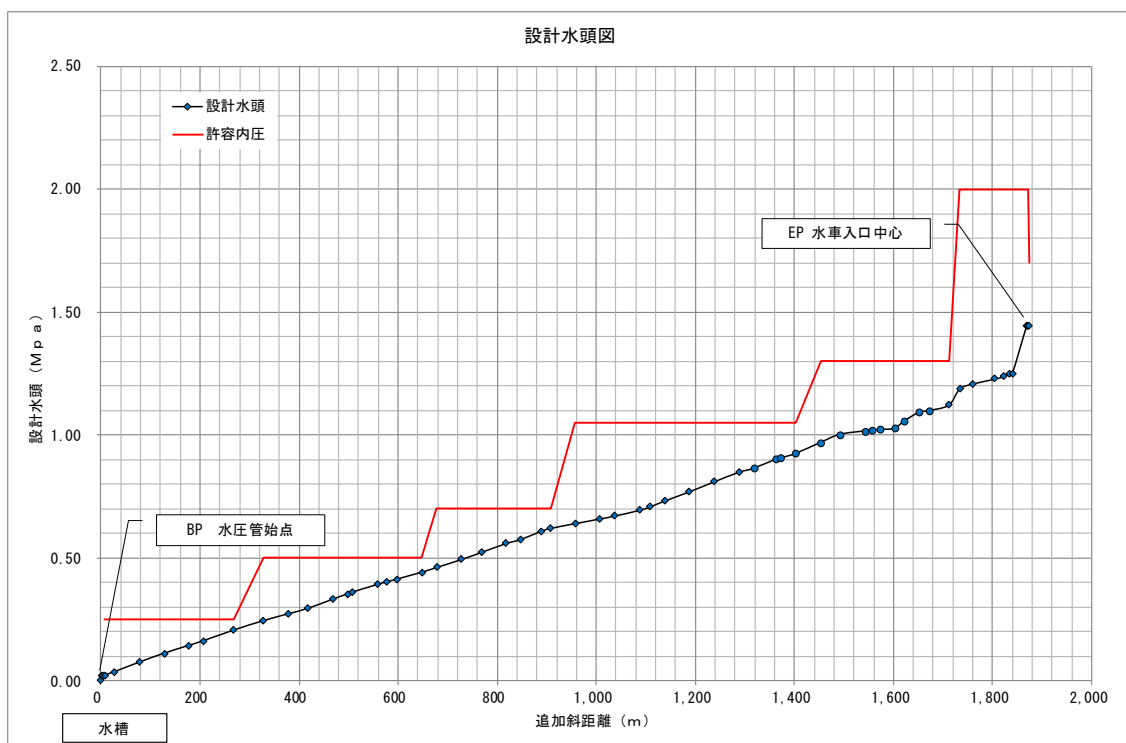
計算結果は下図のとおりです。



鋼管が一番低くポリエチレン管が一番高い結果になりました。

内径による変化は平均流速が低くなるD1000では顕著ではありません。

結果として、鋼管やダクタイル鋳鉄管より安価なFRPM管やポリエチレン管を採用する場合は、コストは掛かりますが出来るだけ内径を大きくして平均流速を下げる
と水撃圧の上昇を抑えることが出来ると言えます。



設計水頭図

(2) スラストブロック安定検討

道路および地山埋設部のベンド管の安定検討は、「農業用水用ダクタイル鉄管管路設計と施工：日本ダクタイル鉄管協会」に準拠します。

安定性が不足する場合はスラストブロックを設置します。

この計算は各ベンド管の平面曲り方向のみ対応します。

計算方法の一例は以下のとおりです。

水圧管路曲管部のスラストブロック要否の検討

埋設管体が平面曲がりによるスラスト力によって移動するか否かを判定する。

1. スラスト力の検討

$$P = 2(H \cdot ac + (a \cdot wo \cdot V^2) / g) \sin \theta / 2$$

ここに

P : スラスト力 (KN)

H : 設計内圧 (KN/m²)

ac : 管の断面積 (m²) = $\pi/4 Dc^2$

a : 管の断面積 (m²) = $\pi/4 (Dc - 2T)^2$

Dc : 管の外径 (m)

T : 規格管厚 (m)

wo : 水の単位体積重量 (9.8KN/m³)

V : 管内平均流速 (m/s)

g : 重力加速度 (9.8m/s²)

θ : 曲管の曲がり角度 (°)

2. 受動土圧の計算 (地下水位なし)

$$Rh = F \cdot 1/2 \cdot Kp \cdot w \cdot Bb (H2^2 - H1^2)$$

ここに

Rh : 水平方向抵抗力 (管背面の受動土圧) (KN)

F : 曲面の受動土圧の補正係数 (0.65)

Kp : 受動土圧係数 = $\tan^2 (45^\circ + \phi/2)$

φ : 土の内部摩擦角 (°)

w : 土の単位体積重量 (KN/m³)

Bb : 管背面の幅 (m)

H2 : 地表面から管底面までの深さ (m)

H1 : 地表面から管頂面までの深さ (m)

3. 判定方法

$$Rh \geq S \cdot P \quad \dots \dots \quad OK$$

ここに

S : 安全率 (滑動に対して 1.5)

P : スラスト力 (KN)

4. 判定結果

θ : 曲管の曲がり角度 (°) の赤字は「既製品ベンド管」採用

項目	IPN○				
	11	12	13	14	15
最大使用水量 (m ³ /s)	0.800	0.800	0.800	0.800	0.800
スラスト力の検討	FRPM管	FRPM管	FRPM管	FRPM管	FRPM管
H : 設計内圧 (KN/m ²)	23.000	36.000	75.000	162.000	205.000
ac : 管の断面積 (m ²)	0.548	0.548	0.548	0.548	0.548
a : 管の断面積 (m ²)	0.503	0.503	0.503	0.503	0.503
Dc : 管の外径 (m)	0.835	0.835	0.835	0.835	0.835
T : 規格管厚 (m)	0.018	0.018	0.018	0.018	0.018
wo : 水の単位体積重量 (KN/m ³)	9.800	9.800	9.800	9.800	9.800
V : 管内平均流速 (m/s)	1.592	1.592	1.592	1.592	1.592
g : 重力加速度 (m/s ²)	9.800	9.800	9.800	9.800	9.800
θ : 曲管の曲がり角度 (°)	45.000	40.000	15.000	20.000	20.000
P : スラスト力 (KN)	10.614	14.356	11.054	31.251	39.429
受動土圧の検討					
F : 曲面の受動土圧の補正係数	0.650	0.650	0.650	0.650	0.650
Kp : 受動土圧係数	3.000	3.000	3.000	3.000	3.000
φ : 土の内部摩擦角 (°)	30.000	30.000	30.000	30.000	30.000
w : 土の単位体積重量 (KN/m ³)	18.000	18.000	18.000	18.000	18.000
Bb : 管背面の幅 (m) (管中心長相当)	2.000	1.400	1.400	1.400	1.400
H2 : 地表面から管底面までの深さ (m)	1.535	1.535	1.535	1.535	1.535
H1 : 地表面から管頂面までの深さ (m)	0.700	0.700	0.700	0.700	0.700
Rh : 水平方向抵抗力 (KN)	65.504	45.853	45.853	45.853	45.853
判定					
安全率	6.17	3.19	4.15	1.47	1.16
スラストブロックの要否	否	否	否	要	要

スラストブロックの安定検討

平面曲がりによるスラスト力に対してスラストブロックの安定検討を行う。

1. 判定方法

$$Rh1 + Rh2 \geq S \cdot P \quad \dots \dots \text{OK}$$

ここに

S : 安全率（滑動に対して 1.5）

P : スラスト力 (KN)

Rh1 : スラストブロック底面の摩擦抵抗力 = $\mu \cdot W$ (KN)

μ : スラストブロック底面と土の摩擦係数 砂礫 0.6

W : スラストブロック底面にかかる総重量 (KN)

$$W = W1 + W2 + W3$$

ここに

W1 : スラストブロック上の埋戻し土の重量 (KN)

W2 : スラストブロックの重量 = $w_b \cdot V$ (KN)

W3 : 管および管内水の重量 = $WF + \pi / 4 \cdot D^2 \cdot L \cdot w_o$ (KN)

w : 土の単位体積重量 (KN/m³)

w_b : スラストブロックの単位体積重量 (KN/m³)

w_o : 水の単位体積重量 (KN/m³)

w_o : 水の単位体積重量 (KN/m³)

WF : スラストブロックに巻き込まれた管の重量 (KN) (安全側に考慮して無視する)

D : 管の内径 (m)

L : スラストブロックに巻き込まれた管長 (m)

V : スラストブロックの体積 (m³)

Rh2 : スラストブロック背面の受動土圧 (KN)

$$Rh2 = 1/2 \cdot K_p \cdot w \cdot (h_2^2 - h_1^2) \cdot B_s$$

ここに

K_p : 受動土圧係数 = $\tan^2 (45^\circ + \phi/2)$

B_s : スラストブロック背面の投影長さ (m)

h₂ : スラストブロック底面までの深さ (m)

h₁ : スラストブロック上面までの高さ (m)

ϕ : 土の内部摩擦角 (°)

2. スラストブロックの安定検討

No. 16 スラストブロック		No. 14, 15を含む
曲り角度 20°		
平面図		断面図
<p>ペンド管延長 1.40 m</p> <p>幅 1.50</p>		<p>余長 0.50</p> <p>背面投影長さ 2.40 m</p> <p>地表面</p> <p>幅 1.50</p> <p>スラストブロック高さ 1.50</p> <p>D= 0.80</p> <p>D/2= 0.40</p> <p>h1= 0.35</p> <p>h2= 1.85</p>
項目	計算値	
Rh1の計算		
W1: スラストブロック上の埋戻し土の重量 (KN)	22.680	
h1: スラストブロック上面までの高さ (m)	0.350	
W2: スラストブロックの重量	94.608	
wb: スラストブロックの単位体積重量 (KN/m³)	22.560	
V: スラストブロックの体積 (m³) = 延長 × 高さ × 幅 - 管の体積	4.194	
管の体積 (m³)	1.206	
W3: 管および管内水の重量	11.822	
WF: スラストブロックに巻き込まれた管の重量 (KN) (無視)	0.000	
D: 管の内径 (m)	0.800	
L: スラストブロックに巻き込まれた管長 (m)	2.400	
wo: 水の単位体積重量 (KN/m³)	9.800	
W (KN) =	129.111	
Rh1 (KN) =	77.466	
Rh2の計算		
Kp: 受動土圧係数	3.000	
φ: 土の内部摩擦角 (°)	30.000	
w: 土の単位体積重量 (KN/m³)	18.000	
h2: スラストブロック底面までの深さ (m)	1.850	
h1: スラストブロック上面までの高さ (m)	0.350	
Bs: スラストブロック背面の投影長さ (m)	2.400	
Rh2 (KN) =	213.840	
Rh1 + Rh2 =	291.306	
判定		
P: スラスト力 (KN)	46.846	
S: 安全率	6.218	
判定	OK	

(3) 固定台安定検討

水圧管が縦断曲りする場合の固定台の安定検討は、「水門鉄管技術基準 水圧鉄管・・編：水門鉄管協会」に準拠します。

前述で計算した水圧管の曲り部の設計内圧により遠心力と不平衡力、漸縮管部のスラスト力等の計算を行います。

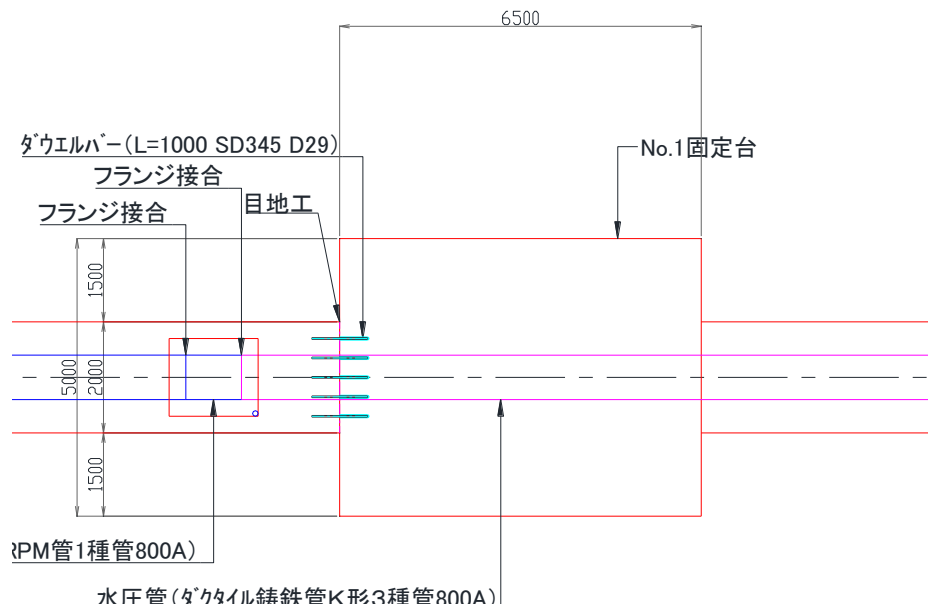
計算方法の一例は以下のとおりです。

N o. 1 固定台安定計算書（運転時）

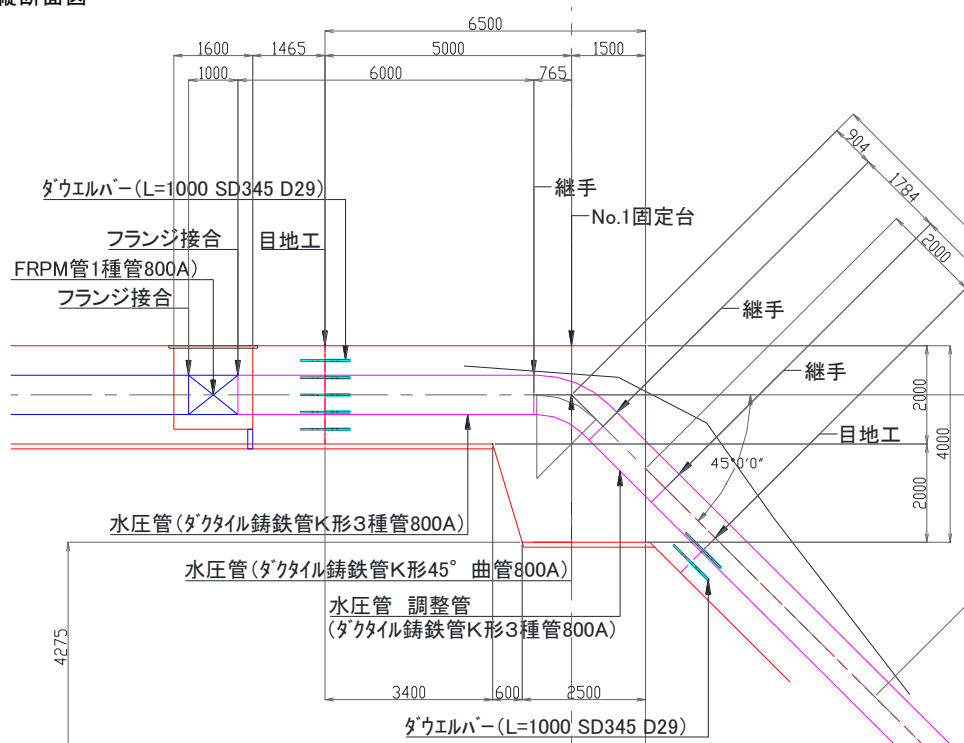
諸元	・ Q : 最大使用水量	0.800 m ³ /s
	・ H ₁ , H _E : わん曲部の中心における設計内圧（平常時） (設計内圧の計算より)	127.435 m 1,250 kPa
	・ H ₂ , H _{E'} : わん曲部の中心における静水圧（地震時） ・ 水槽最大水位 ・ わん曲部中心標高	103.388 m 1,014 kPa 715.800 m 612.412 m

1. 設計条件

(1) 形状寸法 平面図



縦断面図

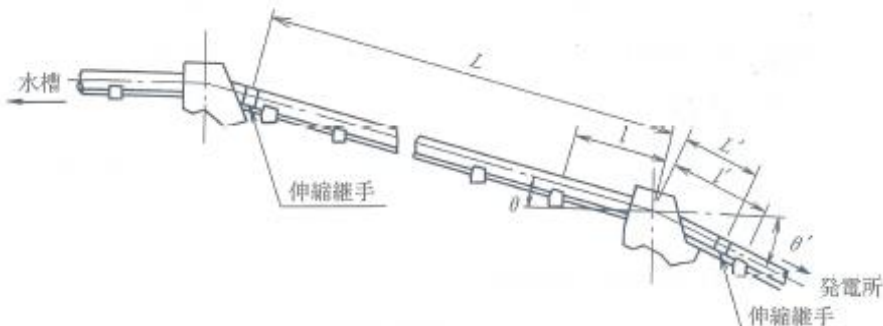


(2) 地震時係数		
地震水平震度	$K_h =$	0.12 (道路土工強震帶、I種地盤)
地震時上載荷重		無し
(3) 単位重量及び土質諸元		
コンクリートの単位重量	$\gamma_c =$	23 KN/m ³ (無筋コンクリート)
背面土の単位重量	$\gamma_s =$	19 KN/m ³ (礫質土)
背面土の内部摩擦角	$\phi =$	30 度 (礫質土)
地表面が水平面となす角	$\alpha =$	0 度
背面が鉛直面となす角	$\theta =$	0 度
壁面摩擦角	常時 $\phi_{2/3}$ 地震時 $\delta :$	20 ° (土とコンクリート) 0 ° (土とコンクリート)
滑動摩擦係数	$\tan \phi_B =$	0.60 (土とコンクリート)
地盤許容支持力	常時 $q_a =$	300 KN/m ² (礫質土)
	地震時 $q_a' =$	450 KN/m ² ("")
地盤の粘着力	$C =$	0 KN/m ²
支台の支承部摩擦係数	$f_{sp} =$	0.0 (コンクリート連続基礎)
継手の円周長1m当りの摩擦力	$f_E =$	0.0 KN/m (継手部なし)

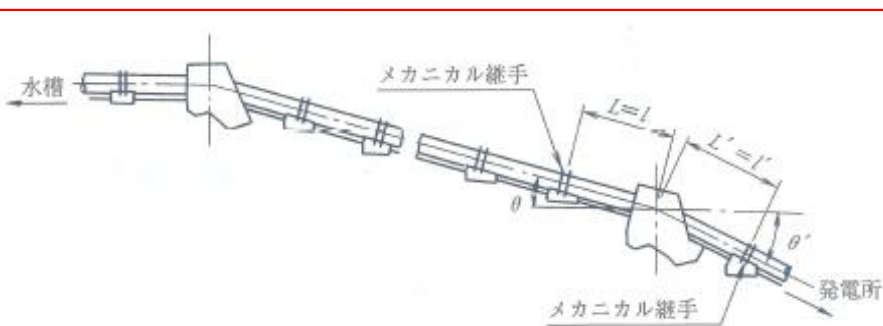
2. 荷重の計算

(1) 考慮する荷重

- 1) アンカブロックの自重
 - 2) アンカブロックが支承する管および水の重量
 - 3) 管軸方向の推力
 - 4) わん曲部に作用する遠心力
 - 5) わん曲部に作用する不平衡力
 - 6) 地震力
 - 7) 土圧
- 記号の説明



(a) 連続梁の場合



(b) メカニカル継手の場合

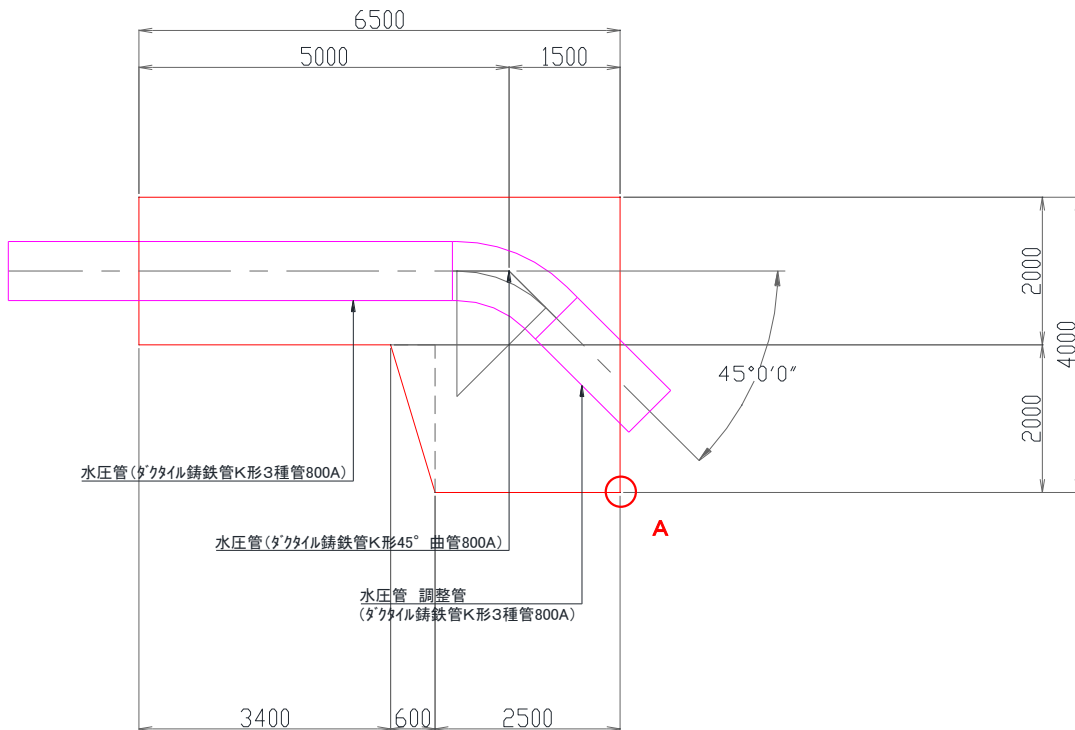
図-1-89-1 水圧鉄管縦断面図

θ	水圧管中心線と水平線の交角	0 °
θ'	水圧管中心線と水平線の交角	45 °
l	アンカブロックからそれに隣接する上部支台までの距離(m)	5.00 m
l'	アンカブロックからそれに隣接する下部支台までの距離(m)	1.50 m
l_c	アンカブロックから上部伸縮継手までの距離(m)	5.00 m
l'_c	アンカブロックから下部伸縮継手までの距離(m)	1.50 m
W_s	水圧管の長さ1m当りの質量 = $\pi (D_o + t_o) t_o \cdot \rho_s$	0.224 10^{-3}kg/m
t_o	管厚	0.011 m
ρ_s	管材料の密度	7.850 10^{-3}kg/m^3
W_w	水圧管の長さ1m当りの管内水の質量(kg/m) = $\pi D_o^2 \cdot \rho_w / 4$	0.520 10^{-3}kg/m
ρ_w	管内水の密度	1.000 10^{-3}kg/m^3
D_o, D_o'	水圧管の内径(m)	0.814 m
D_{o1}	漸縮管上流の内径(m)	m
D_{o2}	漸縮管の内径(m)	m
D_2, D_2'	水圧管の外径(m)	0.836 m
g	単位質量当たりの重力(N/Kg) = 重力の加速度(m/s ²)	9.8 N/kg

(2) アンカブロックの自重の計算

・上下流方向

アンカブロック幅 5.00 m アンカブロック底盤幅 6.500 m



	幅(m)	高さ(m)	係数	面積(m ²)	重量(KN)
W①	6.50	2.00	1.00	13.000	1495.000
W②	2.50	2.00	1.00	5.000	575.000
W③			1.00	0.000	0.000
計					2070.000
W排除	6.50		排除面積	0.549	-82.062 排除面積 = $\pi D_2^2 / 4$
排除自重計					-82.062
自重					1987.938

(3) アンカブロックが支承する管および水の重量

1) 管軸に垂直方向の分力

上部水圧管

$$W = (W_s + W_w) \cdot g \cdot l$$

$$= 36.460 \text{ KN}$$

下部水圧管

$$W' = (W_s + W_w) \cdot g \cdot l'$$

$$= 10.938 \text{ KN}$$

(4) 管軸方向の推力

1) 水圧管自重による推力

上部水圧管

$$P_1 = W_s \cdot g \cdot l \cdot \sin \theta$$

$$= 0.000 \text{ KN}$$

P_1 は上部水圧管にそい川側向きに作用する。

下部水圧管

$$P_1' = W_s \cdot g \cdot l' \cdot \sin \theta'$$

$$= 2.325 \text{ KN}$$

P_1' は下部水圧管にそい川側向きに作用する。

2) 管内水の摩擦による推力

他の諸力に比べて小さいので省略する。

3) 漸縮管に作用する内圧による推力

下部水圧管

$$P_3' = P_{T'} \cdot (A_1' - A_2')$$

平常時

$$P_{T'} : \text{漸縮管の中心における水圧 (水車中心)} \quad 1,250 \text{ kPa} \quad \text{平常時 : 設計内圧}$$

$$A_1' : \text{漸縮管の上流側の管内断面積} = \pi D_{o1}^2 / 4 = 0.000 \text{ m}^2$$

$$A_2' : \text{漸縮管の下流側の管内断面積} = \pi D_{o2}^2 / 4 = 0.000 \text{ m}^2$$

$$P_3' = 0 \text{ KN} \quad (\text{水平川側向き})$$

地震時

$$P_{T'} : \text{漸縮管の中心における水圧 (水車中心)} \quad 1,014 \text{ kPa} \quad \text{地震時 : 静水圧}$$

$$P_3' = 0 \text{ KN} \quad (\text{水平川側向き})$$

4) 伸縮継手に作用する内圧による推力

平常時

上部水圧管

$$P_4 = H_E \cdot \pi (D_E + t_E) t_E$$

$$= 0.000 \text{ KN} \quad \text{該当なし}$$

下部水圧管

$$P_4' = -H_E \cdot \pi (D_E' + t_E') t_E'$$

$$= 0.000 \text{ KN} \quad \text{該当なし}$$

地震時

上部水圧管

$$P_4 = H_E' \cdot \pi (D_E + t_E) t_E$$

$$= 0.000 \text{ KN} \quad \text{該当なし}$$

下部水圧管

$$P_4' = -H_E' \cdot \pi (D_E' + t_E') t_E'$$

$$= 0.000 \text{ KN} \quad \text{該当なし}$$

5) 支承部摩擦力

上部水圧管

$$F_1 = f_{sp} \cdot (W_w + W_s) g (L - l/2) \cos \theta$$

$$= 0.000 \text{ KN} \quad \text{該当なし}$$

下部水圧管

$$F_{1'} = f_{sp} \cdot (Ww' + Ws') g (L' - l' / 2) \cos \theta'$$

$$= 0.000 \text{ KN} \quad \text{該当なし}$$

6)伸縮継手摩擦力

上部水圧管

$$F_{2'} = f_E \cdot \pi \cdot D_2$$

$$= 0.000 \text{ KN} \quad \text{該当なし}$$

下部水圧管

$$F_{2'} = f_E \cdot \pi \cdot D_2'$$

$$= 0.000 \text{ KN} \quad \text{該当なし}$$

7)わん曲部に作用する遠心力による推力

縦断図

平面図

$$\theta = 0.00^\circ$$

合成角

$$\theta' = 45.00^\circ$$

$$\theta = 0^\circ$$

川側向き

上流側向き

下流側向き

$$P_c \text{ or } P_R$$

$$\phi = 45.0$$

山側向き

$$P_c = 2\rho w \cdot v^2 \cdot A \cdot \sin(\phi/2)$$

$$A : \text{管の内断面積} = \pi D_o^2 / 4 = 0.520 \text{ m}^2$$

$$Q : \text{最大使用水量} = 0.800 \text{ m}^3/\text{s}$$

$$v : \text{わん曲部の流速} = Q / A = 1.538 \text{ m/s}$$

$$\phi : \text{わん曲部の合成角}$$

$$\cos \phi = \cos \theta \cdot \cos \theta' \cdot \cos C \pm \sin \theta \cdot \sin \theta'$$

$$C : \text{平面図に示される角度} \quad 0^\circ \quad \text{平面曲り}$$

$$\cos \phi = 0.707106781$$

$$\phi = 45.0^\circ$$

$$= 0.941 \text{ KN}$$

この力は ϕ の2等分線の方向にわん曲の外側向きに作用する。

$$P_c \text{の水平分力} = P_c \cdot \sin \phi / 2 = 0.360 \text{ KN}$$

$$P_c \text{の鉛直分力} = P_c \cdot \cos \phi / 2 = 0.870 \text{ KN}$$

8) わん曲部に作用する不平衡力による推力

平常時

$$P_R = 2H_1 \cdot A \cdot \sin(\phi/2)$$

H1 : わん曲部の中心における水圧 1,250 kPa 平常時 : 設計内圧
 $P_R = 497.381 \text{ KN}$

その作用方向は、 ϕ の2等分線にそい外方に向かう。

$$P_R \text{ の水平分力} = P_R \cdot \sin \phi / 2 = 190.340 \text{ KN}$$

$$P_R \text{ の鉛直分力} = P_R \cdot \cos \phi / 2 = 459.520 \text{ KN}$$

地震時

$$P'_R = 2H_2 \cdot A \cdot \sin(\phi/2)$$

H2 : わん曲部の中心における水圧 1,014 kPa 地震時 : 静水圧
 $P'_R = 403.525 \text{ KN}$

その作用方向は、 ϕ の2等分線にそい外方に向かう。

$$P'_R \text{ の水平分力} = P'_R \sin \phi / 2 = 154.422 \text{ KN}$$

$$P'_R \text{ の鉛直分力} = P'_R \cos \phi / 2 = 372.809 \text{ KN}$$

(5) 地震力

$$F = K_h (\text{自重} + W + W')$$

(6) 土圧の計算

土圧の計算はクーロン式による方法を用いる。

土圧係数 K の計算

ϕ	30 °
$\theta_0 = \tan^{-1} kh$ 常時	0.00 °
$\theta_0 = \tan^{-1} kh$ 地震時	6.84 °
θ	0.00 °
δ 常時	20.00 °
地震時	0.00 °
α	0.00 °

$$K = \frac{\cos^2(\phi - \theta_0 - \theta)}{\cos \theta_0 \cos^2 \theta \cos(\delta + \theta_0 + \theta) [1 + \sqrt{\frac{\sin(\phi + \delta) \sin(\phi - \alpha - \theta_0)}{\cos(\delta + \theta_0 + \theta) \cos(\theta - \alpha)}}]^2}$$

$$\text{常時 } K_A = \frac{0.75000}{0.939692621 [1 + \sqrt{\frac{0.383022222}{0.939692621}}]^2}$$

$$= 0.297$$

$$\text{地震時 } K_{Ae} = \frac{0.84535}{0.985804416 [1 + \sqrt{\frac{0.196627816}{0.992876838}}]^2}$$

$$= 0.411$$

常時全土圧

$$P_A = \frac{1}{2} \gamma s \cdot K_A \cdot H^2$$

H : 土圧高 4.00 m
 $= 45.192 \text{ KN/m}$ 延長当り 225.959 KN

常時全土圧の水平分力

$$P_H = P_A \cos \delta$$

$$= 45 \times 0.93969$$

$$= 42.466 \text{ KN/m} \quad \text{延長当り} \quad 212.332 \text{ KN}$$

常時全土圧の鉛直分力

$$P_V = P_A \sin \delta$$

$$= 45 \times 0.34202$$

$$= 15.456 \text{ KN/m} \quad \text{延長当り} \quad 77.282 \text{ KN}$$

常時全土圧 P の作用位置

$$y = \frac{1}{3} \cdot H \\ = 1.333 \text{ m}$$

地震時全土圧

$$P_{EA} = \frac{1}{2} \gamma s \cdot K_{EA} \cdot H^2 \\ H : 土圧高 \quad 4.00 \text{ m} \\ = 62.423 \text{ KN/m} \quad \text{延長当り} \quad 312.115 \text{ KN}$$

地震時全土圧の水平分力

$$P_H = P_{EA} \cos \delta \\ = 62 \times 1.00000 \\ = 62.423 \text{ KN/m} \quad \text{延長当り} \quad 312.115 \text{ KN}$$

地震時全土圧の鉛直分力

$$P_V = P_{EA} \sin \delta \\ = 62 \times 0.00000 \\ = 0.000 \text{ KN/m} \quad \text{延長当り} \quad 0.000 \text{ KN}$$

地震時全土圧 P の作用位置

$$y = \frac{1}{3} \cdot H \\ = 1.333 \text{ m}$$

3. 常時の安定検討

(1) 合力作用位置 (常時)

合力作用位置を求めるため、基礎底盤 A 点に関する各力のモーメントを求める。

区分		重量 (KN)	アーム (m)	モーメント (KN・m)
鉛直力 自重 (抵抗モーメント)	W①	1,495.000	3.250	4,858.750
	W②	575.000	1.250	718.750
	W③	0.000	0.000	0.000
排除自重	W排除	-82.062	3.250	-266.702
上部管重量	W	36.460	4.000	145.840
下部管重量	W'	10.938	0.750	8.204
遠心力	Pc	-0.870	1.500	-1.305
不平衡力	PR	-459.520	1.500	-689.280
山側鉛直土圧	Pv	77.282	6.500	502.335
	ΣN	1,652.228		5,276.592
水平力 Mo (転倒モーメント)	上部管自重推力	P1	0.000	0.000
	下部管自重推力	P1'	2.325	3.000
	漸縮管内圧推力	P3	0.000	0.000
	上部管継手内圧推力	P4	0.000	0.000
	下部管継手内圧推力	P4'	0.000	0.000
	上部管支承摩擦	F1	0.000	0.000
	下部管支承摩擦	F1'	0.000	0.000
	上部管継手摩擦	F2	0.000	0.000
	下部管継手摩擦	F2'	0.000	0.000
	遠心力	Pc	0.360	3.000
	不平衡力	PR	190.340	3.000
	山側水平土圧	PH	212.332	1.333
	ΣH	405.357	Mo	862.184
	ΣM	-		4,414.409

A点より合力作用位置までの距離

$$e' = \frac{\Sigma M}{\Sigma N} = \frac{4,414}{1,652} = 2.672 \text{ m}$$

(2) 転倒に対する検討 (常時)

$$e = \frac{B}{2} - e' = \frac{6.500}{2} - 2.672 = 0.578 \text{ m}$$

ただし、B : 底盤長さ
よって、 $e \leq B/6 = 1.083 \text{ m} \dots \text{OK}$

(3) 滑動に対する検討 (常時)

$$F_s = \frac{\Sigma N \cdot \tan \phi \cdot B + C \cdot B}{\Sigma H} = \frac{1,652 \times 0.600}{405} + 0 \times 6.500 = 2.446 \geq \frac{2}{2} \dots \text{OK}$$

(4) 地盤支持力に対する検討 (常時)

$6e/B = 0.53 < 1$ のため、地盤反力は以下の式による。

$$q = \frac{\Sigma N}{A} (1 \pm \frac{6e}{B})$$

$$= \frac{1,652}{32.50} (1 \pm 0.534)$$

$$q_1 = 78 \text{ KN/m}^2 < q_a = 300 \text{ KN/m}^2 \dots \text{OK}$$

4. 地震時の安定検討

(1) 合力作用位置 (地震時)

合力作用位置を求めるため、基礎底盤A点に関する各力のモーメントを求める。

区分		重量 (KN)	アーム (m)	モーメント (N・m)
鉛直力 自重 (抵抗モーメント)	W①	1,495.000	3.250	4,858.750
	W②	575.000	1.250	718.750
	W③	0.000	0.000	0.000
	W排除	-82.062	3.250	-266.702
	W	36.460	4.000	145.840
	W'	10.938	0.750	8.204
水平力Mo (転倒モーメント)	Pc	-0.870	1.500	-1.305
	PR	-372.809	1.500	-559.214
	Pv	0.000	0.000	0.000
	ΣN	1,661.657		4,904.324
	P1	0.000	0.000	0.000
	P1'	2.325	3.000	6.975
地震力	P3	0.000	0.000	0.000
	P4	0.000	0.000	0.000
	P4'	0.000	0.000	0.000
	F1	0.000	0.000	0.000
	F1'	0.000	0.000	0.000
	F2	0.000	0.000	0.000
	F2'	0.000	0.000	0.000
	Pc	0.360	3.000	1.080
	PR	154.422	3.000	463.266
	PH	312.115	1.333	416.153
W(1)H	179.400	3.000	538.200	
	W(2)H	69.000	1.000	69.000
	W(3)H	0.000	0.000	0.000
	W排除H	-9.847	3.000	-29.542
	WH	4.375	3.000	13.126
	W' H	1.313	3.000	3.938
	ΣH	713.462	Mo	1,482.195
	ΣM	-		3,422.128

A点より合力作用位置までの距離

$$e' = \frac{\Sigma M}{\Sigma N} = \frac{3,422}{1,662} = 2.059 \text{ m}$$

(2) 転倒に対する検討 (地震時)

$$e = \frac{B}{2} - e' = \frac{6.500}{2} - 2.059 = 1.191 \text{ m}$$

ただし、B : 底盤長さ
よって、 $e \leq B/3 = 2.167 \text{ m} \dots \dots \text{OK}$

(3) 滑動に対する検討 (地震時)

$$Fs = \frac{\Sigma N \cdot \tan \phi B + C \cdot B}{\Sigma H} = \frac{1,662 \times 0.600 + 0 \times 6.500}{713} = 1.397 \geq 1.2 \dots \dots \text{OK}$$

(4) 地盤支持力に対する検討 (地震時)

$6e/B = 1.10 < 1$ のため、地盤反力は以下の式による。

$$q = \frac{\Sigma N}{A} \left(1 \pm \frac{6e}{B} \right) = \frac{1,662}{32.50} \left(1 \pm 1.099 \right)$$

$$q_1 = 107 \text{ KN/m}^2 < qa = 450 \text{ KN/m}^2 \dots \dots \text{OK}$$

$$q_2 = -5 \text{ KN/m}^2$$

(4) 浮力に対する安定性

1) 水圧管路の浮力に対する安定性

水圧管路の浮力に対する安定性を確認します。

計算方法の一例は以下のとおりです。

浮上に対する検討は、「農業用水用ダクタイル鉄管管路設計と施工：日本ダクタイル鉄管協会」の式による。

下式は、地表面まで地下水で飽和されているとした場合のものである。

今回の水圧管は、FRPM管800Aとする。

$$H \geq \frac{\pi/4 \cdot Dc^2 \cdot S \cdot \gamma_w - [\pi/4 \{Dc^2 - (Dc - 2T)^2\} \gamma_p + \pi/4 \{(Dc - 2T)^2 - (Dc - 2T - 2t_c)^2\} \gamma_c]}{(\gamma_{sat} - \gamma_w)Dc}$$

ここに

H : 管が浮上しないための最小土かぶり (m)	
S : 安全率 = (1.2)	1.2
Dc : 管の外径 (m)	0.835 m
T : 規格管厚 (m)	0.018 m
t _c : モルタルライニング厚 (m)	0.000 m 該当なし
γ_p : 管の単位体積重量 (kN/m ³)	20.000 KN/m ³
γ_c : モルタルライニングの単位体積重量 (20kN/m ³)	0.000 KN/m ³ 該当なし
γ_{sat} : 埋戻し土の飽和単位体積重量 (kN/m ³)	18.000 KN/m ³
γ_w : 水の単位体積重量 (9.8kN/m ³)	9.800 KN/m ³

$$\begin{aligned} H &= 6.440 - 0.924 \\ &= 6.847 \\ &= 0.806 \text{ m} \end{aligned}$$

当地点の最小土被りは0.70mで計画しているが、計算では約0.11m不足する。

しかし、計算式は地表面まで地下水で飽和されているとした場合であり、実際の埋設地盤は砂質地盤のため地下水位は低く、浮き上がる虞はない。

(5) 水圧管路凍結深度の計算（参考）

水鉄基準第32条（埋設条件）P-84に「寒冷地では凍結深度より深く埋設する」とあります。

寒冷地の定義とは、「東北地方多雪・寒冷地設備設計要領」によると『寒冷地は、第5編1.「東北地方地域別気象データ」により、凍結防止対策を講じる必要性のある寒冷地A（過去10年間の最低気温の平均が概ね-10℃以下となる地域）と、それに準じた対策が必要な寒冷地B（過去10年間の最低気温の平均が概ね-5℃以下となる地域）に区分する。』とあります。

弊社では「寒冷地B」を閾値としています。

小水力の取水地点付近では気象観測所が滅多にないため、至近の観測データに標高差100mにつき0.65°Cの補正を加えています。

計算方法の一例は以下のとおりです。

凍結深度の概略値は、次式によって推定する。(東北地方多雪・寒冷地設備設計要領P-5より抜粋)

$$Z=C\sqrt{F}$$

凍結深度の概略値は、次式によって推定する。

$$Z=C\sqrt{F}$$

ここで、 Z : 凍結深度 [cm]
 F : 凍結指數 [$^{\circ}\text{C} \cdot \text{days}$]
 C : 係數 [3~5] (標準的には4とする)

ここで、

Z:凍結深度[cm]

F:凍結指數 [$^{\circ}\text{C} \cdot \text{days}$] : 227

日本道路協会公開プログラムを使用する。

気象庁 長野 観測所の過去11年間の平均気温データに標高差補正して計算する。

観測所データ	長野県長野市	標高	418 m	
標高差	地点取水位	715.8	標高差	297.8 m
	標高差補正(0.65°C/100m)		1.9 °C	

C:係數[3~5](標準的には4とする)

$$Z=4\sqrt{227} \approx 60 \text{ cm}$$

よって、水圧管の土被りは 0.70 m以上とする。

長野の 10年確率凍結指數 = 227		凍結期間 = 90		データ数 = 10	
計算表(凍結指數)			計算表(凍結期間)		
最近11年間における	$\log_{10}X_i$	$(\log_{10}X_i - \log_{10}X_0)^2$	最近11年間における	$\log_{10}Y_i$	$(\log_{10}Y_i - \log_{10}Y_0)^2$
2019	177	2.249	0.0011	83	1.919
2018	133	2.125	0.0081	57	1.756
2017	96	1.980	0.0551	47	1.672
2016	160	2.204	0.0001	74	1.869
2015	208	2.319	0.0108	91	1.959
2014	204	2.309	0.0087	82	1.914
2013	219	2.341	0.0159	75	1.875
2012	186	2.269	0.0028	78	1.892
2011	123	2.091	0.0153	68	1.833
2010			-40537		
2009	184	2.265	0.0025	68	1.833
計	1691	22.152	0.1205	-39814	18.521
平均		2.215	0.0121		1.852

σ_{x_0}	0.110	σ_{y_0}	0.080
ξ 「統計値」	1.28	ξ 「統計値」	1.28
$\log_{10}X = \sigma_{x_0} \cdot \xi + \log_{10}X_0 =$	2.356	$\log_{10}Y = \sigma_{y_0} \cdot \xi + \log_{10}Y_0 =$	1.955
X[10年確率凍結指數]	227	Y[10年確率凍結期間]	90

3.5.5 発電所基礎

(1) 安定検討

水圧管路の荷重は直前の固定台で吸収し発電所基礎には荷重を掛けない構造にしますから安定性の検討はしません。

しかし、稀に固定台と一体化した発電所基礎がありその時には安定性について検討します。

3.6 土木構造物の構造計算

各土木構造物について必要な構造計算を行います。

計算方法については汎用ソフトなどを使用しますので省略します。

3.6.1 取水ダム

取水ダムは重力式コンクリート構造のため基本的に引張応力は発生しません。

したがって、特殊な構造を除き構造計算は行いません。

3.6.2 取水口

取水口は必要であれば鉄筋コンクリートボックスカルバート構造やU型水路として構造計算を行います。

作用する荷重については地点特性に応じて積雪荷重や土砂崩れの荷重等を見込みます。

計算方法の一例は以下のとおりです。

市販汎用ソフトを使用しています。

このソフトは土圧高さがカルバート天端以上にあることが前提です。

また、両側の土圧を考慮する一般的なソフトで、片側のみの土圧は考慮しません。

そのため実際と不整合な面もありますが、安全側に荷重を考慮するため常用しています。

(1) 取水口ボックスカルバートの計算の一例

鉄筋コンクリートボックスカルバート構造として構造計算する。

検討断面はA-A断面とした。

集中荷重は考慮しない。

分布荷重は積雪荷重 7KN (2m × 3.5KN/m³) を考慮する。

積雪深は取水口付近が吹き溜まりになる虞があるため安全側に考慮し 2m とし、積雪の単位体積重量は道路橋示方書に準拠して 3.5KN/m³ とした。

計算の結果、D16ctc250mmを主配筋する。

この配筋径、ピッチを他の部位にも展開する。

計算内容の詳細については、以下のとおり。

BOX 2400×2900

1. 設計条件

1-1. 形 状

内 寸 法 B-C	X =	2.400 m
内 寸 法 A-B	Y =	2.900 m

1-2. 部 材 厚 さ

頂版 B-C	D1=	0.300 m
ハンチ	hc=	0.1×0.1 m
側壁 A-B,C-D	D2=	0.300 m

底版 D-A	D3=	0.300 m
--------	-----	---------

1-3. 層 厚

土 被 り	H =	0.000 m
鋪 裝 厚	t =	0.000 m
地 下 水 深	Hw =	2.000 m
湿 潤 土	γ_t =	19.000 kN/m ³

水 中 土	$\gamma_{t'}$ =	10.000 kN/m ³
-------	-----------------	--------------------------

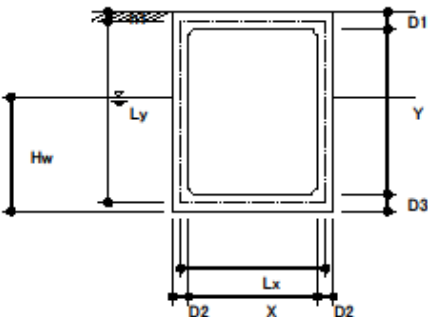
1-4. 単位体積重量

水	γ_w =	9.800 kN/m ³
鋪 裝 材	γ_a =	0.000 kN/m ³
鉄筋コンクリート	γ_c =	24.500 kN/m ³

1-5. 活 荷 重

後 輮 荷 重	P1=	0.0 kN
前 輮 荷 重	P2=	0.0 kN
衝 撃 係 数	i =	0.3
接 近 荷 重	W _o =	0.000 kN/m ²
接 近 荷 重	W _o r=	0.000 kN/m ²
頂版上分布荷	W _q =	7.000 kN/m ²
	K =	0.500

1-6. 静止土圧係数



1-7. 鉄筋被り

部 材	外側(cm)	内側(cm)
頂版 B-C	10.000	10.000
側壁 A-B , C-D	10.000	10.000
底版 D-A	10.000	10.000

2. 直載時の計算

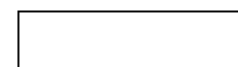
$$\begin{array}{lll} L_x = X + D_2 & = & 2.700 \text{ m} \\ L_y = Y + (D_1 + D_2)/2 & = & 3.200 \text{ m} \end{array}$$

$$\begin{array}{lll} h_1 = H + D_1/2 & = & 0.150 \text{ m} \\ h_2 = h_1 + L_y & = & 3.350 \text{ m} \\ L_w = h_2 + D_3/2 - H_w & = & 1.500 \text{ m} \end{array}$$

2-1.荷重計算

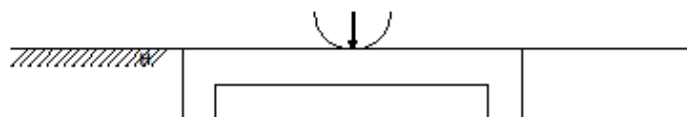
(1)頂版

上載荷重	上載土 $W_o = \alpha \cdot \gamma_t \times (H-t) =$	0.000
	頂版上分布荷重 $W_q =$	60.760
	頂版自重 $W_c = \gamma_c \times ((X + 2 \times D_2) \times D_1) / L_x$	7.000
	ハンチ $W_c' = \gamma_c \times 1/2 \times h_c \times h_c \times 2 / L_x$	8.167
	$W_1 =$	0.091
α : 鉛直土圧係数 $\alpha = 1.0$		15.257 kN/m ²
後輪荷重	$P_{v1} = 2 \times P_1 \times (1+l) / 2.75 =$	0.000 kN/m
	$F_1 = 0.2 + 2 \times H =$	0.200 m
	分布荷重 $W_{t1} = P_{v1} \cdot \beta / F_1 =$	0.000 kN/m ²
	作用位置 $LR_1 = 1.250 \text{ m}$	
	$LR_2 = 1.450 \text{ m}$	



横断方向延長2.75m当たりに後輪1輪(0kN)を載荷する。よって、タイヤ接地幅(0.2m)で単位m当たりの等分布荷重として換算する。

断面力低減係数 $\beta = 0.9$



(2)側壁

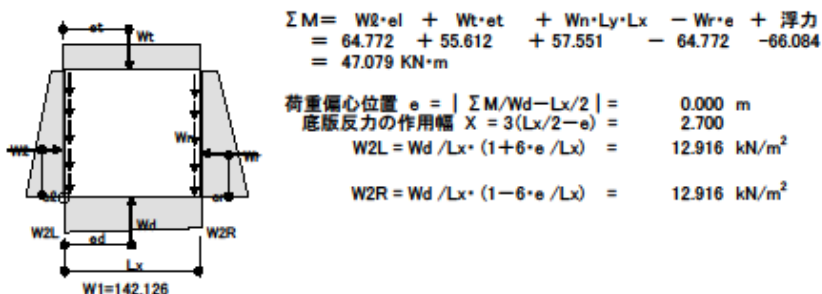
	側 壓 式	左側	右側
上 側	土 圧 $P_{a1} = (W_a + \gamma t(h_1-t)) \times K$	1.425	1.425
	水 圧	0.000	0.000
	計 P1	1.425	1.425
下 側	側 壓 式	左側	右側
	土 圧 $P_{a2} = (W_a + \gamma t(L_w-t)) \times K + \gamma t(H_w-D_3/2) \times K$	23.500	23.500
	水 圧 $P_{w2} = \gamma w(H_w-D_3/2)$	18.130	18.130
中間 頂版輪から 1.350m 後	計 P2	41.630	41.630
中間 頂版輪から 1.350m 後	土 圧 $P_{a1} = (W_a + \gamma t(L_w-t)) \times K$	14.250	14.250
	輪 $P_{t1} = W_{t1} \times K$	0.000	0.000
	輪 $P_{t2} = W_{t2} \times K$	0.000	0.000
	計 P_m	14.250	14.250

$$\text{側壁自重軸力 } W_n = \gamma c \times (Y \times D_2) / L_y = 6.661 \text{ kN/m}$$

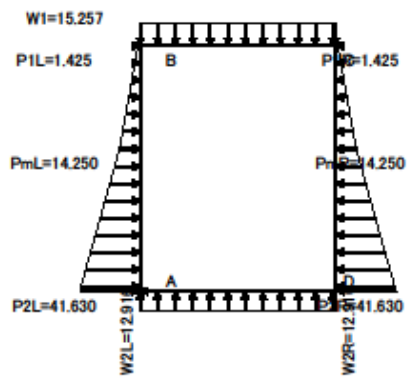
(3)底版

底版左端点に対する回転モーメントを求める。

名 称	算 式	荷 重 (kN)	作 用 距 離 (m)	モーメント (kN·m)
死 荷 重	15.257×2.700	41.194	1.350	55.612
後 輪	0.000×0.200	0.000	1.350	0.000
前 輪	0.000×0.200	0.000	1.350	0.000
側 壁 R	$2.900 \times 0.300 \times 24.500$	21.315	2.700	57.551
側 壁 L	$2.900 \times 0.300 \times 24.500$	21.315	0.000	0.000
浮 力	-18.130×2.700	-48.951	1.350	-66.084
計	W_d	34.873		M= 47.079



荷重図 W1=149.514



2-2. 荷重項の計算

CAB=	19.701 (kN)	CBA=	12.648 (kN)
CBC=	9.269 (kN)	CCB=	9.269 (kN)
CCD=	12.648 (kN)	CDC=	19.701 (kN)
CDA=	7.846 (kN)	CAD=	7.846 (kN)
K1=	1.000	K2=	1.185
K3=	1.000	K4=	1.185

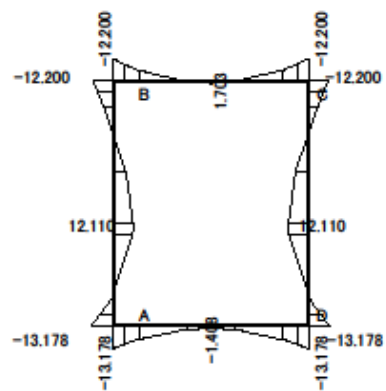
2-3. 部材端モーメント

MAB=	-13.178 (kN·m)	MBA=	12.200 (kN·m)
MBC=	-12.200 (kN·m)	MCD=	12.200 (kN·m)
MCD=	-12.200 (kN·m)	MDC=	13.178 (kN·m)
MDA=	-13.178 (kN·m)	MAD=	13.178 (kN·m)

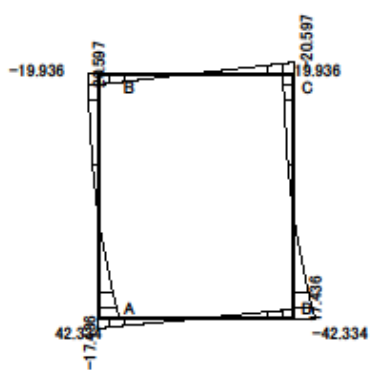
2-4.断面応力

部材	位置	曲げモーメント	せん断力	軸力	備考
	L(m)	M(kN·m)	S(kN)	N(kN)	
A-B					
A	0.000	-13.178	42.334	17.436	
	0.150	-7.288	36.256	17.585	
h/2	0.350	-0.805	28.670	17.782	
	1.200	11.912	3.034	18.622	
M	1.333	12.110	0.000	18.753	
	2.000	7.961	-11.386	19.412	
h/2	2.850	-5.378	-18.855	20.251	
	3.050	-9.231	-19.615	20.449	
B	3.200	-12.200	-19.936	20.597	
B-C					
B	0.000	-12.200	20.597	19.936	
	0.150	-9.282	18.308	19.936	
h/2	0.350	-5.926	15.257	19.936	
	1.013	0.834	5.149	19.936	
M	1.350	1.703	0.000	19.936	
	1.688	0.834	-5.149	19.936	
h/2	2.350	-5.926	-15.257	19.936	
	2.550	-9.282	-18.308	19.936	
C	2.700	-12.200	-20.597	19.936	
C-D					
C	0.000	-12.200	19.936	20.597	
	0.150	-9.231	19.615	20.449	
h/2	0.350	-5.378	18.855	20.251	
	1.200	7.961	11.386	19.412	
M	1.867	12.110	0.000	18.753	
	2.000	11.912	-3.034	18.622	
h/2	2.850	-0.805	-28.670	17.782	
	3.050	-7.288	-36.256	17.585	
D	3.200	-13.178	-42.334	17.436	
D-A					
D	0.000	-13.178	17.436	42.334	
	0.150	-10.708	15.499	42.334	
h/2	0.350	-7.866	12.916	42.334	
	1.013	-2.144	4.359	42.334	
M	1.350	-1.408	0.000	42.334	
	1.688	-2.144	-4.359	42.334	
h/2	2.350	-7.866	-12.916	42.334	
	2.550	-10.708	-15.499	42.334	
A	2.700	-13.178	-17.436	42.334	
	Max	12.110	42.334	42.334	
	Min	-13.178	-42.334	17.436	

曲げモーメント図



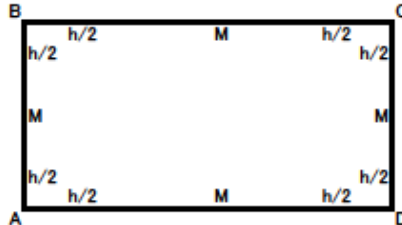
せん断力図



2-5. 鉄筋応力度の算定

コンクリートの許容圧縮応力度	$\sigma_{ca} =$	8 (N/mm ²)	注)
鉄筋の許容引張応力度	$\sigma_{sa} =$	160 (N/mm ²)	
コンクリートの許容せん断応力度	$\tau_a =$	0.23 (N/mm ²)	
弹性係数比	$n =$	15	

注)ハンチがない端部のコンクリートの許容圧縮応力度は $\sigma_{ca} \times 3/4$



A - B 部材

位置	A	h/2	M	h/2	B
モーメント M (KN·m)	-13.178	-0.805	12.110	-5.378	-12.200
セん断力 S (KN)	42.334	28.670	0.000	-18.855	-19.936
軸力 N (KN)	17.436	17.782	18.753	20.251	20.597
部材厚 h (cm)	30.0	30.0	30.0	30.0	30.0
部材幅 b (cm)	100	100	100	100	100
鉄筋被り (cm)	10.00	10.00	10.00	10.00	10.00
有効部材厚 d (cm)	20.00	20.00	20.00	20.00	20.00
配筋	鉄筋1 鉄筋2	D16@250	D16@250	D16@250	D16@250
鉄筋量 As (cm ²)	7.944	7.944	7.944	7.944	7.944
周長 U (cm)	20	20	20	20	20
鉄筋比 P=As/(b·d)	0.00397	0.00397	0.00397	0.00397	0.00397
偏心距離 e=M/N(cm)	0.75576	0.04527	0.64578	0.26555	0.59232
圧縮側端部から中立軸までの距離 X(cm)	6.44428	31.22441	6.56359	7.99686	6.63961
中立軸比 K	0.32221	1.56122	0.32818	0.39984	0.33198
J	0.89260	0.47959	0.89061	0.86672	0.88934
圧縮応力度 σ_c (N/mm ²)	2.44	0.11	2.23	0.92	2.23
引張応力度 σ_s (N/mm ²)	76.89	0.00	68.35	20.63	67.42
セん断応力度 τ (N/mm ²)		0.14	0.00	0.09	
約合いモーメント Mo(KN·m)		0.889	0.938	1.013	
有効高補正係数 Ce	1.400	1.400	1.400		
鉄筋比補正係数 Cpt	1.097	1.097	1.097		
軸圧縮力補正係数 CN	2.000	1.077	1.188		
Ce·Cpt·CN C	3.072	1.654	1.825		
許容せん断応力度 τ_a (N/mm ²)		0.23	0.23	0.23	
C· τ_a (N/mm ²)		0.71	0.38	0.42	
許容付着応力度 τ_o (N/mm ²)		1.60	1.60	1.60	
付着応力度 τ_o (N/mm ²)		0.82	0.00	0.54	
判定	OK	OK	OK	OK	OK

B - C 部材

位 置	B	h/2	M	h/2	C
モーメント M (KN·m)	-12.200	-5.926	1.703	-5.926	-12.200
セン断力 S (KN)	20.597	15.257	0.000	-15.257	-20.597
軸力 N (KN)	19.936	19.936	19.936	19.936	19.936
部材厚 h (cm)	30.0	30.0	30.0	30.0	30.0
部材幅 b (cm)	100	100	100	100	100
鉄筋被り (cm)	10.00	10.00	10.00	10.00	10.00
有効部材厚 d (cm)	20.00	20.00	20.00	20.00	20.00
配筋	鉄筋1 D16@250	鉄筋2 D16@250	鉄筋1 D16@250	鉄筋2 D16@250	鉄筋1 D16@250
鉄筋量 As (cm ²)	7.944	7.944	7.944	7.944	7.944
周長 U (cm)	20	20	20	20	20
鉄筋比 P=As/(b·d)	0.00397	0.00397	0.00397	0.00397	0.00397
偏心距離 e=M/N(cm)	-0.61197	-0.29724	0.08542	-0.29724	-0.61197
圧縮側端部から中立軸までの距離 X(cm)	6.60994	7.69575	19.95724	7.69575	6.60994
中立軸比 K	0.33050	0.38479	0.99786	0.38479	0.33050
J	0.88983	0.87174	0.66738	0.87174	0.88983
圧縮応力度 σ c(N/mm ²)	2.24	1.03	0.20	1.03	2.24
引張応力度 σ s(N/mm ²)	67.98	24.61	0.01	24.61	67.98
せん断応力度 τ (N/mm ²)		0.08	0.00	0.08	
約合いモーメント Mo(KN·m)		0.997	0.997	0.997	
有効高補正係数 Ce		1.400	1.400	1.400	
鉄筋比補正係数 Cpt		1.097	1.097	1.097	
軸圧縮力補正係数 CN		1.168	1.585	1.168	
Ce·Cpt·CN C		1.794	2.434	1.794	
許容せん断応力度 τ a(N/mm ²)		0.23	0.23	0.23	
C·τ a(N/mm ²)		0.41	0.56	0.41	
許容付着応力度 τ os(N/mm ²)		1.60	1.60	1.60	
付着応力度 τ o(N/mm ²)		0.44	0.00	0.44	
判定	OK	OK	OK	OK	OK

C - D 部材

位 置	C	h/2	M	h/2	D
モーメント M (KN·m)	-12.200	-5.378	12.110	-0.805	-13.178
セン断力 S (KN)	19.936	18.855	0.000	-28.670	-42.334
軸力 N (KN)	20.597	20.251	18.753	17.782	17.436
部材厚 h (cm)	30.0	30.0	30.0	30.0	30.0
部材幅 b (cm)	100	100	100	100	100
鉄筋被り (cm)	10.00	10.00	10.00	10.00	10.00
有効部材厚 d (cm)	20.00	20.00	20.00	20.00	20.00
配筋	鉄筋1 D16@250	鉄筋2 D@250	鉄筋1 D16@250	鉄筋2 D@250	鉄筋1 D16@250
鉄筋量 As (cm ²)	7.944	7.944	7.944	7.944	7.944
周長 U (cm)	20	20	20	20	20
鉄筋比 P=As/(b·d)	0.00397	0.00397	0.00397	0.00397	0.00397
偏心距離 e=M/N(cm)	-0.59232	-0.26555	0.64578	-0.04527	-0.75576
圧縮側端部から中立軸までの距離 X(cm)	6.63961	7.99686	6.56359	31.22441	6.44428
中立軸比 K	0.33198	0.39984	0.32818	1.56122	0.32221
J	0.88934	0.86672	0.89061	0.47959	0.89260
圧縮応力度 σ c(N/mm ²)	2.23	0.92	2.23	0.11	2.44
引張応力度 σ s(N/mm ²)	67.42	20.63	68.35	0.00	76.89
せん断応力度 τ (N/mm ²)		0.09	0.00	0.14	
約合いモーメント Mo(KN·m)		1.013	0.938	0.889	
有効高補正係数 Ce		1.400	1.400	1.400	
鉄筋比補正係数 Cpt		1.097	1.097	1.097	
軸圧縮力補正係数 CN		1.188	1.077	2.000	
Ce·Cpt·CN C		1.825	1.654	3.072	
許容せん断応力度 τ a(N/mm ²)		0.23	0.23	0.23	
C·τ a(N/mm ²)		0.42	0.38	0.71	
許容付着応力度 τ os(N/mm ²)		1.60	1.60	1.60	
付着応力度 τ o(N/mm ²)		0.54	0.00	0.82	
判定	OK	OK	OK	OK	OK

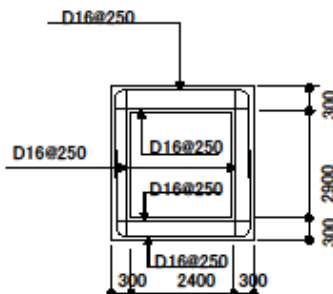
D - A 部材

位 置	D	h/2	M	h/2	A
モーメント M (KN·m)	-13.178	-7.866	-1.408	-7.866	-13.178
セン断力 S (KN)	17.436	12.916	0.000	-12.916	-17.436
軸力 N (KN)	42.334	42.334	42.334	42.334	42.334
部材厚 h (cm)	30.0	30.0	30.0	30.0	30.0
部材幅 b (cm)	100	100	100	100	100
鉄筋被り (cm)	10.00	10.00	10.00	10.00	10.00
有効部材厚 d (cm)	20.00	20.00	20.00	20.00	20.00
配筋	鉄筋1 D16@250	D16@250	D16@250	D16@250	D16@250
鉄筋2					
鉄筋量 As (cm ²)	7.944	7.944	7.944	7.944	7.944
周長 U (cm)	20	20	20	20	20
鉄筋比 P=As/(b·d)	0.00397	0.00397	0.00397	0.00397	0.00397
偏心距離 e=M/N(cm)	-0.31128	-0.18581	-0.03326	-0.18581	-0.31128
圧縮側端部から中立軸までの距離 X(cm)	7.58741	9.46932	34.88256	9.46932	7.58741
中立軸比 K	0.37937	0.47347	1.74413	0.47347	0.37937
J	0.87354	0.84218	0.41862	0.84218	0.87354
圧縮応力度 σ c(N/mm ²)	2.30	1.24	0.24	1.24	2.30
引張応力度 σ s(N/mm ²)	56.33	20.71	0.00	20.71	56.33
せん断応力度 τ (N/mm ²)		0.06	0.00	0.06	
釣合いモーメント Mo(KN·m)		2.117	2.117	2.117	
有効高補正係数 Ce		1.400	1.400	1.400	
鉄筋比補正係数 Cpt		1.097	1.097	1.097	
軸圧縮力補正係数 CN		1.269	2.000	1.269	
Ce·Cpt·CN C		1.949	3.072	1.949	
許容せん断応力度 τ a(N/mm ²)		0.23	0.23	0.23	
C·τ a(N/mm ²)		0.45	0.71	0.45	
許容付着応力度 τ o(N/mm ²)		1.60	1.60	1.60	
付着応力度 τ o(N/mm ²)		0.37	0.00	0.37	
判定	OK	OK	OK	OK	OK

BOX 2400×2900 計算結果

X	Y	頂版	側壁	底版	mm
2400	2900	300	300	300	
鉄筋被り	外側	100.0	100.0	100.0	
	内側	100.0	100.0	100.0	

004.5.300



	曲げモーメント M(kN·m)	せん断力 S(kN)	軸力 N(kN)	圧縮応力度 $\sigma_c(N/mm^2)$	引張応力度 $\sigma_s(N/mm^2)$	せん断応力度 $C \cdot \tau_a(N/mm^2)$
頂版 支点	12.200	15.257	19.936	2.24 ≤8 OK	67.98 OK	0.08 ≤0.41 OK
径間	1.703	0.000	19.936	0.20 ≤8 OK	0.01 OK	0.00 ≤0.56 OK
上支点	12.200	18.855	20.597	2.23 ≤8 OK	67.42 OK	0.09 ≤0.42 OK
側壁 径間	12.110	0.000	18.753	2.23 ≤8 OK	68.35 OK	0.00 ≤0.38 OK
下支点	13.178	28.670	17.436	2.44 ≤8 OK	76.89 OK	0.14 ≤0.71 OK
底版 支点	13.178	12.916	42.334	2.30 ≤8 OK	56.33 OK	0.06 ≤0.45 OK
径間	1.408	0.000	42.334	0.24 ≤8 OK	0.00 OK	0.00 ≤0.71 OK

ただし、コンクリートの許容圧縮応力度
 鉄筋の許容引張応力度
 コンクリートの許容せん断応力度
 コンクリートの付着応力度

$\sigma_{ca}=$	8 (N/mm ²)
$\sigma_{sa}=$	160 (N/mm ²)
$\tau_a=$	0.23 (N/mm ²)
$\tau_{ca}=$	1.6 (N/mm ²)

	付着応力度 $\sigma_o(N/mm^2)$
頂版 支点	0.44 OK
径間	0.00 OK
上支点	0.54 OK
側壁 径間	0.00 OK
下支点	0.82 OK
底版 支点	0.37 OK
径間	0.00 OK

3.6.3 沈砂池・水槽

(1) 本体

取水口と同様です。

(2) 余水路

沈砂池余水路は鉄筋コンクリートU型水路構造として計算します。

作用する荷重については地点特性に応じて積雪荷重や土砂崩れの荷重を見込みます。

計算方法の一例は以下のとおりです。

汎用ソフトを使用しています。

沈砂池余水路は鉄筋コンクリートU型水路構造と見なす。

検討断面はY-Y断面とし水路幅 1.0m、水路高さ 2.50m、壁厚 0.5m、底版厚 0.5mとした。

作用荷重は土圧+分布荷重（積雪荷重 7KN/m²）とする。

積雪深は沈砂池付近が吹き溜まりになる虞があるため安全側に考慮し 2m とし、積雪の単位体積重量は道路橋示方書に準拠して 3.5KN/m³ とした。

計算の結果、D16ctc250mmを主配筋する。

この配筋径、ピッチを他の部位にも展開する。

計算内容の詳細については、以下のとおり。

1. 設計条件

水路寸法

水路幅 1.00 m
水路高 2.50 m
壁厚 0.50 m
底版厚 0.50 m

活荷重

分布荷重 $q = 7 \text{ kN/m}^2$

土質定数

単位体積重量 $\gamma = 18 \text{ kN/m}^3$
せん断抵抗角 $\phi = 30$ 度

土圧計算 主働土圧

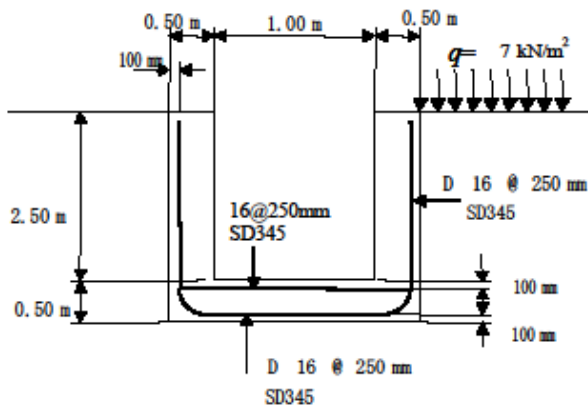
水路構造 鉄筋コンクリート

単位体積重量 $\gamma_c = 24.5 \text{ kN/m}^3$

使用材料

コンクリート設計基準強度 $\sigma_{ck} = 24 \text{ N/mm}^2$
鉄筋 SD345

	鉄筋径 (mm)	ピッチ (mm)	中心かぶり (mm)
側 壁	16	250	100
底版上面	16	250	100
底版下面	16	250	100



2. 荷重

骨組寸法	壁 高	$H_w =$	2.75 m
	底版幅	$B_b =$	1.5 m
部材厚さ	壁	$t_w =$	0.50 m
	底版	$t_b =$	0.50 m
壁重量		$W_w = H_w t_w \gamma_c =$	33.69 kN/m

壁面土圧

土圧の種類	主働土圧	ランキン式
土圧係数	$K = \tan 2(\pi/4 - \varphi/2) =$	0.333
土圧強度	上端 $P_1 = q \cdot K =$	2.33 kN/m ²
	下端 $P_2 = (q + \gamma \cdot H_w)K =$	18.81 kN/m ²

$$\text{地盤反力度} \quad q_b = \frac{2W_w}{B_b} = 44.92 \text{ kN/m}^2$$



荷重図

3. 曲げモーメント

$$\text{側壁} \quad M = -\frac{1}{6} K \cdot z^2 (3q + \gamma \cdot z)$$

$$\text{底版} \quad M = -\frac{1}{6} K \cdot H_w^2 (3q + \gamma \cdot H_w) + W_w \cdot x - \frac{1}{2} q_b x^2$$

側壁		底面	
<i>z</i> (m)	<i>M</i> (kNm)	<i>x</i> (m)	<i>M</i> (kNm)
0.000	0.00	0.000	-29.59
0.138	-0.02	0.075	-27.19
0.275	-0.11	0.150	-25.04
0.413	-0.27	0.225	-23.15
0.550	-0.52	0.300	-21.51
0.688	-0.88	0.375	-20.12
0.825	-1.35	0.450	-18.98
0.963	-1.97	0.525	-18.09
1.100	-2.74	0.600	-17.46
1.238	-3.68	0.675	-17.08
1.375	-4.80	0.750	-16.96
1.513	-6.12	0.825	-17.08
1.650	-7.66	0.900	-17.46
1.788	-9.43	0.975	-18.09
1.925	-11.45	1.050	-18.98
2.063	-13.72	1.125	-20.12
2.200	-16.28	1.200	-21.51
2.338	-19.13	1.275	-23.15
2.475	-22.29	1.350	-25.04
2.613	-25.77	1.425	-27.19
2.750	-29.59	1.500	-29.59

max= 0.00 max= -16.96
min= -29.59 min= -29.59



曲げモーメント図

4. 応力度の計算

4. 1 側壁下端

曲げモーメント	$M =$	-29.59 kNm
有効幅	$b =$	1000 mm
鉄筋中心かぶり	$I =$	100 mm
有効高	$d =$	400 mm
鉄筋径	$D =$	16 mm
鉄筋間隔	$pitch =$	250 mm
鉄筋量	$As =$	794.4 mm ²

$$np - 15 \frac{A_s}{bd} = 0.0298$$

$$k = \sqrt{(np)^2 + 2np} - np = 0.216$$

$$j = 1 - \frac{k}{3} = 0.928$$

コンクリートの曲げ圧縮応力度

$$\sigma_c = \frac{2M}{kjbd^2} = 1.85 \text{ N/mm}^2 < \sigma_{cs} = 8.00 \text{ N/mm}^2 \text{ SAFE}$$

鉄筋の曲げ引張応力度

$$\sigma_s = \frac{M}{Asjd} = 100.3 \text{ N/mm}^2 < \sigma_{ss} = 160.00 \text{ N/mm}^2 \text{ SAFE}$$

4.2 底版下面(端部)

曲げモーメント	$M =$	-29.59 kNm
有効幅	$b =$	1000 mm
鉄筋中心かぶり	$I =$	100 mm
有効高	$d =$	400 mm
鉄筋径	$D =$	16 mm
鉄筋間隔	$pitch =$	250 mm
鉄筋量	$As =$	794.4 mm ²

$$np - \frac{A_s}{bd} = 0.0298$$

$$k = \sqrt{(np)^2 + 2np} - np = 0.216$$

$$j = 1 - \frac{k}{3} = 0.928$$

コンクリートの曲げ圧縮応力度

$$\sigma_c = \frac{2M}{kjbd^2} = 1.85 \text{ N/mm}^2 < \sigma_{cs} = 8.00 \text{ N/mm}^2 \text{ SAFE}$$

鉄筋の曲げ引張応力度

$$\sigma_s = \frac{M}{A_s j d} = 100.3 \text{ N/mm}^2 < \sigma_{ss} = 160.0 \text{ N/mm}^2 \text{ SAFE}$$

4. 3 底版上面(中央)

曲げモーメント	$M =$	-16.96 kNm
有効幅	$b =$	1000 mm
鉄筋中心かぶり	$I =$	100 mm
有効高	$d =$	400 mm
鉄筋径	$D =$	16 mm
鉄筋間隔	$pitch =$	250 mm
鉄筋量	$A_s =$	794.4 mm ²

$$np - 15 \frac{A_s}{bd} = 0.0298$$

$$k = \sqrt{(np)^2 + 2np} - np = 0.216$$

$$j = 1 - \frac{k}{3} = 0.928$$

コンクリートの曲げ圧縮応力度

$$\sigma_c = \frac{2M}{kjbd^2} = 1.06 \text{ N/mm}^2 < \sigma_{cs} = 8.00 \text{ N/mm}^2 \text{ SAFE}$$

鉄筋の曲げ引張応力度

$$\sigma_s = \frac{M}{A_s j d} = 57.5 \text{ N/mm}^2 < \sigma_{ss} = 160.0 \text{ N/mm}^2 \text{ SAFE}$$

3.6.4 導水路

取水口と同様です。

3.6.5 水槽

取水口と同様です。

3.6.6 水圧管路

水門鉄管技術基準に準じて応力計算を行います。

ただし、F R P M管の複合断面力の計算は弊社では困難であり事業者よりメーカーへ協力を依頼しています。

F R P M管以外の材質は高密度ポリエチレン管と J I S 鋼管（SGP：配管用炭素鋼鋼管、STPY400：配管用アーク溶接炭素鋼鋼管、STPG410；圧力配管用炭素鋼鋼管）およびダクタイル鋳鉄管となります。

高密度ポリエチレン管の設計は、「水力発電設備の樹脂管（一般市販管）技術規程 JEAC 2601-2016：日本電気協会水力専門部会」に準拠します。

J I S 鋼管およびダクタイル鋳鉄管については、「水門鉄管技術基準 水圧鉄管・編：水門鉄管協会」に準拠します。

(1) 高密度ポリエチレン管部

高密度ポリエチレン管の材質は、許容耐圧の低い順から SDR26、SDR21、SDR17、SDR11 の 4 種類あります。

それぞれの許容耐圧へ切り替わる位置で計算します。

道路埋設の場合、土圧およびトラック荷重を考慮します。

また、土被りは凍結深度以上にします。

計算方法の一例は以下のとおりです。

SDR 26 の場合

水圧管埋設部応力計算書

1. 検討条件

(1) 検討位置	SP15
(2) 最大作用水圧 P	0.58 Mpa
(3) 土被り H	2000 mm 989
(4) トラック総重量	20,000 kg 10tダンプ相当

2. 設計に使用する諸数値

・水圧管（高密度ポリエチレン管PE100）仕様

SDR	26	最大許容圧力	0.60 Mpa
Do	: 内径	414.0 mm	
Do'	: 外径	450.0 mm	
D	: 余裕厚を管胴の内面から除いたときの内径 = Do + 2ε	414.0 mm	
r_m	: 肉厚の中心の半径 = D/2 + t/2	216.0 mm	
t_o	: 肉厚	18.0 mm	
t	: 余裕厚を除いた肉厚 = t_o - ε	18.0 mm	
ε	: 腐食および摩耗に対する余裕厚（径0.5mm以上の流入土砂は沈砂池にて堆砂させるため摩耗は少ない見込みであり考慮しない）	0.0 mm	

3. 許容応力および許容たわみ率

- σ_a : 内圧による周方向許容応力 (規程表16-1押出ポリ管) 8.0 N/mm²
- σ_a : 自重等による曲げ応力・外圧による変形許容応力 (規程表16-1押出ポリ管 8.0 N/mm²)

表16-1 樹脂管の許容応力 (MPa)

材 料	適 用 規 格	内 圧 に よ る 円 周 方 向 応 力	自 重 等 に よ る 曲 げ 応 力 外 圧 に よ る 変 形 応 力
塩ビ管	硬質ポリ塩化ビニル管 JIS K 6741 (2007)	10.0	17.7
	水道用硬質ポリ塩化ビニル管 JIS K 6742 (2007), AS 20 (2008)		
	水道用ゴム輪形硬質ポリ塩化ビニル管 (HIVP, VP) JWWA K 129 (2011), AS 33 (2011)		
	農業用水用厚肉硬質ポリ塩化ビニル管 AS 60 (2011)		
押出ポリ管	一般用ポリエチレン管 JIS K 6761 (2014) PE100 グレード	8.0	8.0
	水道用ポリエチレン二層管 JIS K 6762 (2014) PE100 グレード		
	農業用高密度ポリエチレン管 (ISO 4427-1 (2007) PE100 グレード) ^{※1}		
リブ管	耐圧ポリエチレンリブ管 JIS K 6780 (2008) PE80 グレード	6.3	10.8
	高耐圧ポリエチレン管 (ハウエル管) (ISO 4427-1 (2007) PE100 グレード) ^{※1}	8.0	8.0

※ 1 寸法に関する制限については除く。

- 外圧および曲げに対する許容たわみ率 (規程表28-6 一定仕様)

3 %以下

表28-6 設計たわみ率 (%)

締固めの程度	締固めなし	一定の仕様を定めて 管理する締固め	厳密な施工管理のもとで 行う締固め
		プロクター密度で < 85% 相対密度で < 40%	プロクター密度で ≥ 85% 相対密度で ≥ 40%
許容たわみ率	5	5	5
たわみ率のバラツキ	± 2	± 2	± 1
設計たわみ率 V	3	3	4

・外圧によるたわみ率の計算に用いる変形遅れ係数（規程P-38 下記条件）

1.0

8. 外圧によるたわみ率（変形率）の計算

外圧によるたわみ率（変形率） α の計算に用いる変形遅れ係数 F は、管のたわみ率が埋設後埋戻し施工の状況によって経時に変化することを考慮した係数で、以下の値を採用してもよい³⁾。

・十分締固まつた砂、若しくは砂質土の地盤に埋設する場合	1.0
・管の側面が管の半径以上の幅にわたり砂若しくは砂質土で置換されて十分締固めてある場合	1.0
・その他の場合	1.5

・ e' ：土の受動抵抗係数（規程表28-3 細粒土 一定仕様）

2.75 N/mm²

表28-3 土の受動抵抗係数 e' の標準値 (N/mm²)

土の種類 (統一分類法による)	締固め なし	一定の仕様を定めて 管理する締固め		厳密な施工管理のもとで 行う締固め
		プロクター密度で < 85% 相対密度で < 40%	プロクター密度で ≥ 85% 相対密度で ≥ 40%	
細粒土 (LL ≤ 50%) 中程度の塑性から塑性のない土まで CL, ML, ML-CL (粗粒部分 25% 以下)	0.34	1.37		2.75
細粒土 (LL ≤ 50%) 中程度の塑性から塑性のない土まで CL, ML, ML-CL (粗粒部分 25% 以上) 細粒土を含む粗粒土 GM, GC, SM, SC (12% 以上の細粒土を含む)	0.69	2.75		6.86
細粒土をほとんど含まないか、全く含まない 粗粒土 GW, GP, SW, SP (12% 以下の細粒土を含む)	1.37	6.86		13.7

* プロクター密度 =
$$\frac{\text{現場で締めた後の乾燥密度}}{\text{基礎となる室内締め試験(JIS A 1210)(2009)での最大乾燥密度}} \times 100(%)$$

・ ρ_b : 埋戻し土の密度 (規程表28-4 砂 ゆるいもの)

0.0000017 kg/mm³

表28-4 土の密度 ρ_b および内部摩擦角 ϕ

種類	状態	密度 ρ_b (tf/m ³)	内部摩擦角 ϕ (°)
碎岩		(1) 1.6 ~ 1.9	35 ~ 45
砂利		(2) 1.6 ~ 2.0	30 ~ 40
炭がら		(3) 0.9 ~ 1.2	30 ~ 40
砂 (4)	締固めたもの ややゆるいもの ゆるいもの	1.7 ~ 2.0 1.6 ~ 1.9 1.5 ~ 1.8	35 ~ 40 30 ~ 35 25 ~ 30
普通土 (5)	固いもの やや軟らかいもの 軟らかいもの	1.7 ~ 1.9 1.6 ~ 1.8 (6) 1.5 ~ 1.7	25 ~ 35 20 ~ 30 15 ~ 25
粘土 (7)	固いもの やや軟らかいもの 軟らかいもの	1.6 ~ 1.9 1.5 ~ 1.8 1.4 ~ 1.7	20 ~ 30 10 ~ 20 0 ~ 10
シルト (8)	固いもの 軟らかいもの	1.6 ~ 1.8 (9) 1.4 ~ 1.7	10 ~ 20 0

(1)の 1.6 は石灰岩、又は砂岩系のもので密度が小さいもの。

(2)の 2.0 は切込み砂岩で密実なもの。

(3)の 1.2 は活荷重その他によってよく締め固められたもの。

(4)の砂はゆるい細砂、シルト質細砂など不安定なもの以外の一般の砂。

(5)の普通土は砂質ローム、ロームおよび砂質粘土ロームを含む。

(6)の 1.5 は関東ロームその他の火山灰土で密度が小さいもの。

(7)の粘土には粘土ローム、シルト質粘土、粘土などを含む。

(8)のシルトにはシルトローム、シルトなどを含む。

(9)の 1.4 はシルトのへどろ状のもの。

砂、普通土、粘土などの盛土又は埋戻し土は原則として「軟らかいもの」(砂では「ゆるいもの」)の状態にあるものとみなす。

・ g : 単位質量当たりの重力

9.80 N/kg

3. 計算結果

計算項目	発生応力 (N/mm ²)	許容応力 (N/mm ²)	判定
(1) 管内満水時			
1) 円周方向の応力			
(a) 内圧による引張応力	6.67	8.0	OK
(b) 土圧、載荷重および雪荷重による曲げ応力	2.45	8.0	OK
2) 管軸方向の応力			
(a) 管の温度変化による応力	4.32	8.0	OK
(b) ポアソン効果による応力	2.47	8.0	OK
(2) 管内充水時			
1) 土圧、載荷重、管内水の質量および雪荷重による円周方向曲げ応力	4.01	8.0	OK
(3) 管内空虚時			
1) 土圧、載荷重、雪荷重による円周方向曲げ応力	3.77	8.0	OK
2) 外圧によるたわみ率（変形率）	2.0%	3.0%	OK

最大作用水圧 0.58 MPa 時に安全である。

4. 応力およびたわみの算定

(1) 管内満水時

1) 円周方向の応力

(a) 内圧による引張応力

$$\sigma = \frac{PD}{2t}$$

ここに σ : 応力 (N/mm²)

$$\sigma = \frac{0.58 \times 414.0}{36}$$

$$= 6.67 \text{ N/mm}^2 \leq \sigma_a = 8.0 \text{ N/mm}^2 \text{ OK}$$

(b) 土圧、載荷重および雪荷重による曲げ応力

土圧分布モデルは規程図28-1のように考え、内圧による復元力を考慮した場合の最大曲げモーメントは管底に生ずる。

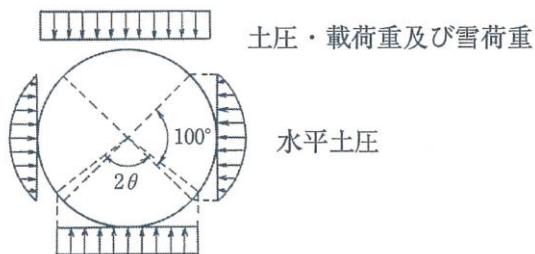


図28-1 土圧分布モデル

円周方向の曲げ応力の計算式は以下のとおり。

$$\sigma_{b1} = \frac{6M1}{t^2}$$

ここに σ_{b1} : 円周方向の曲げ応力 (N/mm²)

$M1$: 管底に生じる曲げモーメント (N·mm/mm)

$$M1 = K1 \cdot W \cdot \gamma_m^2 - 0.083 \cdot e' \cdot \Delta X_1 \cdot \gamma_m - K1 \cdot P \cdot \Delta X_1 \cdot \gamma_m$$

ここに

W : 鉛直荷重強度=土圧 W_v +トラック荷重による土圧 W_t +雪荷重 W_s N (N/mm²)

$$W_v = \rho b \cdot g \cdot H$$

$$= 0.033 \text{ MPa}$$

$$W_t = \frac{2 \cdot N \cdot P_t \cdot (1+K_i)}{(N \cdot L + (N-1) \cdot C + B + 2 \cdot H \cdot \tan \phi) (A + 2 \cdot H \cdot \tan \phi)}$$

ここに N : トラック台数

1 台

Pt : 後輪1個の荷重	
= $1/2 \times 4/5 \times w \times g$	78,400 N
w : トラック1台の総重量	20,000 kg
L : 後輪中心間隔	1,750 mm (道路橋示方書)
A : 車輪接地長	200 mm (道路橋示方書)
B : 後輪輪帯幅	500 mm (道路橋示方書)
C : 相隣するトラック間の後輪中心間隔	0 mm
φ : 分散角	45 °
K _i : 衝撃係数	0.50 規程表28-5

表28-5 衝撃係数³⁾

土被りの高さ (m)	衝撃係数 (K_i)
$H < 1.5$	0.5
$1.5 \leq H < 6.5$	$0.65 - 0.1H$ (m)
$H \geq 6.5$	0

$$= 0.009 \text{ N/mm}^2$$

降雪とトラック荷重は同時発生しないため雪荷重 $W_s N$ は考慮しない。

よって

$$W = 0.042 \text{ N/mm}^2$$

K₁ : 管低の支持角によって決まる係数

0.314 規程表28-1 2θ = 90°

2θ は砂基礎では90° 程度

表28-1 K, K₁ の値

管底の支持角 (2θ)	0°	60°	90°	120°	180°
K	0.110	0.103	0.096	0.089	0.083
K ₁	0.587	0.377	0.314	0.275	0.250

△X₁ : 水平たわみ量 (mm)

$$\Delta X_1 = \frac{2 \cdot K \cdot W \cdot \gamma m^4}{E_s \cdot I + 0.061e' \cdot \gamma m^3 + 2 \cdot K \cdot P \cdot \gamma m^3}$$

ここに E_s : 材料の弾性係数 830 N/mm² 規程表12-1

I : 管壁の単位長さ当りの断面2次モーメント

$$= t^{3/12} = 486 \text{ mm}^{4/\text{mm}}$$

K : 管低の支持角によって決まる係数 0.096 規程表28-1 2θ = 90°

$$\Delta X_1 = 5.494 \text{ mm}$$

よって

$$M_1 = 132.4 \text{ N} \cdot \text{mm}/\text{mm}$$

$$\sigma_b = 2.45 \text{ N/mm}^2 \leq \sigma_a = 8.0 \text{ N/mm}^2 \text{ OK}$$

2) 管軸方向の応力

(a) 管の温度変化による応力

$$\sigma = \alpha \cdot E \cdot \Delta T$$

ここに σ : 温度応力 (N/mm²)

α : 管材の線膨張係数 0.00013 (°C⁻¹) 規程表12-1

E : 管材の弾性係数 830 (N/mm²) 規程表12-1

表12-1 該当規格の物性値 (2010年現在:代表値)

		単位	塩ビ管	押出ポリ管	リブ管
試験温度		°C	20	20	20
物理定数	弾性係数	MPa	2,942	830	980
	ボアソン比	—	0.38	0.37	0.35
	比重	—	1.43	0.95	0.94 ~ 0.97
	線膨張係数	1/°C	6 ~ 7 × 10 ⁻⁵	11 ~ 13 × 10 ⁻⁵	11 ~ 13 × 10 ⁻⁵
機械的強度	短期引張強度	MPa	45 以上	20 以上	20 以上 (PE100)
	短期曲げ強度	MPa	88.3 以上	24 以上	24 以上 (PE100)
	長期引張強度	MPa	25 以上	10 以上	10 以上 (PE100)
備 考		塩化ビニル管・ 継手協会	農水ポリエチレン管 協会	高耐圧ポリエチレン管 協会	

$$\Delta T : \text{温度変化} \quad 40 \text{ (°C)}$$

据付時の気温40°C～通水後の水温0°Cの差

$$= 4.32 \text{ N/mm}^2 \leq \sigma_a = 8.0 \text{ N/mm}^2 \text{ OK}$$

(b) ポアソン効果による応力

$$\sigma = \nu \cdot \sigma_r$$

ここに σ : ポアソン効果による応力 (N/mm²)

ν : ポアソン比 0.37 規程表12-1

σ_r : 円周方向応力 6.67 (N/mm²) (1)-1)-(a)

$$= 2.47 \text{ N/mm}^2 \leq \sigma_a = 8.0 \text{ N/mm}^2 \text{ OK}$$

(2) 管内充水時

1) 土圧、載荷重、管内水の質量および雪荷重による円周方向曲げ応力

$$\sigma b2 = \frac{6M2}{t^2}$$

ここに $\sigma b2$: 土圧、載荷重、雪荷重および水の質量による円周方向の曲げ応力
(N/mm²)

$M2$: 土圧、載荷重、雪荷重および水の質量による曲げモーメント
(N · mm/mm)

$$M2 = K1 \cdot W \cdot \gamma m^2 + K2 \rho w g \gamma m^3 - 0.083 \cdot e' \cdot \Delta X2 \cdot \gamma m$$

ここに

ρw : 水の密度 0.000001 (kg/mm³)

$\Delta X2$: 土圧、載荷重、管内水の質量および雪荷重による水平たわみ量 (mm)

$K2$: 管底の支持角によって決まる係数 0.321 規程表28-2 2θ=90°

表28-2 K_2 , K_0 の値

管底の支持角 (2θ)	0°	30°	60°	90°	120°	180°
K_2	0.750	0.563	0.420	0.321	0.260	0.220
K_0	0.107	0.104	0.096	0.085	0.075	0.065

$$\Delta X2 = \frac{2 \cdot K \cdot W \cdot \gamma m + 2 \cdot K_0 \cdot \rho w \cdot g \cdot \gamma m^2}{E_s \cdot I / \gamma m^3 + 0.061e'}$$

ここに K_0 : 管底の支持角によって決まる係数 0.085 規程表28-2 2θ=90°

$$\Delta X2 = 8.813 \text{ mm}$$

よって 11.01

$$M2 = 216.6 \text{ N} \cdot \text{mm/mm}$$

$$\sigma b1 = 4.01 \text{ N/mm}^2 \leq \sigma a = 8.0 \text{ N/mm}^2 \text{ OK}$$

(3) 管内空虚時

1) 土圧、載荷重、雪荷重による円周方向曲げ応力

$$\sigma_{b3} = \frac{6M_3}{t^2}$$

ここに σ_{b3} : 土圧、載荷重、雪荷重による円周方向の曲げ応力 (N/mm²)

M_3 : 土圧、載荷重、雪荷重による曲げモーメント (N·mm/mm)

$$M_3 = K_1 \cdot W \cdot \gamma_m^2 - 0.083 \cdot e' \cdot \Delta X_3 \cdot \gamma_m$$

ここに

ΔX_3 : 土圧、載荷重および雪荷重による水平たわみ量 (mm)

$$\Delta X_3 = \frac{2 \cdot K \cdot W \cdot \gamma_m}{E_s \cdot I / \gamma_m^3 + 0.061e'}$$

$$\Delta X_3 = 8.439 \text{ mm}$$

よって

$$M_3 = 203.3 \text{ N} \cdot \text{mm/mm}$$

$$\sigma_{b1} = 3.77 \text{ N/mm}^2 \leq \sigma_a = 8.0 \text{ N/mm}^2 \text{ OK}$$

2) 外圧によるたわみ率 (変形率)

$$\alpha = F \cdot \frac{\Delta X_3}{2 \cdot \gamma_m}$$

ここに α : 管内空虚時のたわみ率

F : 変形遅れ係数 1.0 規程P-38

= 2.0% ≤ 3.0% OK 規程表28-6 一定仕様

3) 座屈強度

$$D_o/t = 23.0$$

座屈強度については、 D_o/t が33未満であり第24条解説より検討外とする。 規程P-28

3. 管内空虚時

(1) 座屈強度

樹脂管は温度上昇時に弾性係数が低下することから D_o/t が33を超える管を使用する場合は、60°C以上の高温時に座屈するおそれがあるため検討を要する。

(2) J I S鋼管部

J I S鋼管は固定台部や水圧管 ドレン管部に使用します。

通常は土圧およびトラック荷重は考慮しません。

計算方法の一例は以下のとおりです。

水圧管スラストブロック部応力計算書

1. 検討条件

(1) 検討位置	発電所下部管	
(2) 最大作用水圧 P	0.787 MPa	最大水圧
(3) 土被り H	0 mm	
(4) トランク総重量	0 kg	スラストブロックで防護されており考慮しない

2. 設計に使用する諸数値

- ・水圧管仕様

STPY 400 450A		
Do : 内径	441.4 mm	
Do' : 外径	457.2 mm	
D : 余裕厚の1/2を管胴の内面から除いたときの内径 = Do + ε	442.9 mm	
D' : 余裕厚の1/2を管胴の外側から除いたときの内径 = Do' - ε	455.7 mm	
Dm : 板厚の中心の直径 = 2rm	449.3 mm	
rm : 板厚の中心の半径 =	224.7 mm	
to : 管厚	7.9 mm	
t : 余裕厚を除いた肉厚 = to - ε	6.4 mm	
ε : 腐食および摩耗に対する余裕厚 (水鉄基準第14条)	1.5 mm	

3. 許容応力および許容たわみ率

・溶接継手効率 (工場製作)	0.95
・σa : 許容引張応力 (水鉄基準第64条表-1・64-1)	119 N/mm ²

表-1・64-1 JIS 鋼管の許容応力

材 料		引張応力 N/mm ²	圧縮応力 N/mm ²	せん断応力 N/mm ²	支圧応力 N/mm ²
種類	種別				
水配管用亜鉛めっき鋼管	SGPW	原管 SGP と同じ			
水輸送用塗覆装鋼管	STW290	70	70	40	115
	STW370	115	115	65	195
	STW400	125	125	70	210
配管用炭素鋼管	SGP	70	70	40	115
圧力配管用炭素鋼钢管	STPG370	115	115	65	195
	STPG410	135	135	75	225
高圧配管用炭素鋼钢管	STS370	115	115	65	195
	STS410	135	135	75	225
	STS480	150	150	85	255
配管用アーク溶接炭素鋼钢管	STPY400	125	125	70	210
ポリエチレン被覆鋼管	P1H·P2S·P1F	原管 SGP, STPG, STPY と同じ			
配管用ステンレス鋼管	SUS304 TP	110	110	60	185
配管用溶接大径ステンレス鋼管	SUS304 TPY	110	110	60	185

・ g : 単位質量当りの重力

9.80 N/kg

3. 計算結果

計算項目	発生応力 (N/mm ²)	許容応力 (N/mm ²)	判定
(1) 管内満水時			
1) 円周方向の応力			
(a) 内圧による引張応力	27	119	OK
2) 管軸方向の応力			
(a) 管の温度変化による応力	99	119	OK
(b) ポアソン効果による応力	8	119	OK
(2) 管内空虚時			
1) 座屈強度	0.009	1	OK

最大作用水圧 0.79 MPa 時に安全である。

4. 応力およびたわみの算定

(1) 管内満水時

1) 円周方向の応力

(a) 内圧による引張応力

$$\sigma = \frac{PD}{2t}$$

ここに σ : 応力 (N/mm²)

$$\sigma = \frac{0.79 \times 442.9}{12.8}$$

$$= 27 \text{ N/mm}^2 \leq \sigma_a = 119 \text{ N/mm}^2 \text{ OK}$$

2) 管軸方向の応力

(a) 管の温度変化による応力

$$\sigma = \alpha \cdot E \cdot \Delta T$$

ここに σ : 温度応力 (N/mm²)

α : 管材の線膨張係数 0.000012 (°C⁻¹) 水鉄基準第29条

E : 管材の弾性係数 206,000 (N/mm²) 水鉄基準第29条

ΔT : 温度変化 40 (°C)

据付時の気温40°C～通水後の水温0°Cの差

$$= 99 \text{ N/mm}^2 \leq \sigma_a = 119 \text{ N/mm}^2 \text{ OK}$$

(b) ポアソン効果による応力

$$\sigma = \nu \cdot \sigma_r$$

ここに σ : ポアソン効果による応力 (N/mm²)

ν : ポアソン比 0.3 水鉄基準第29条

σ_r : 円周方向応力 27 (N/mm²) (1)-1)-(a)

$$= 8 \text{ N/mm}^2 \leq \sigma_a = 119 \text{ N/mm}^2 \text{ OK}$$

(2) 管内空虚時

1) 座屈強度

$$\frac{p_k}{p_0} \geq 1.5$$

ここに p_k : 限界座屈圧力 (N/mm²)
 p_0 : 作用外圧 (N/mm²)

$$p_k = \frac{2 \cdot E_s}{1 - \nu^2} \left[\frac{t}{D_o} \right]^3$$

ここに p_k : 限界座屈圧力 (N/mm²)

$$p_k = \frac{2 \times 206000}{0.91} \times \left[\frac{6.4}{457.2} \right]^3$$

$$= 1 \text{ N/mm}^2$$

p_k : 作用外圧はスラストブロックコンクリート自重とする。

$$p_k = \rho \cdot g \cdot H$$

ρ : コンクリートの密度	0.0000023 kg/mm ³
g : 単位質量当りの重力	9.80 N/kg
H : コンクリート打設高さ	400 mm

$$= 0.009 \text{ N/mm}^2$$

$$\frac{p_k}{p_0} = \frac{1}{0.009} = 138 \geq 1.5 \quad OK$$

3.6.7 発電所基礎

(1) 本体

建築基準法が適用されない地域においては、事業者の要望により鉄筋コンクリートボックスカルバート構造として設計する場合があります。

計算方法は前述のとおりです。

(2) 水車基礎

水車の基礎は放水庭と一体化したマスコンクリートです。

水車基礎は基礎金物により基礎コンクリートに固定され基礎金物に作用する力に耐える設計がなされていると考えると、マスコンクリートと一体化していれば、特段問題ないものと考えます。

しかし、基礎周辺は発電所本体と同等以上に配筋して補強します。

(3) 発電機・配電盤開閉装置基礎

直接基礎がほとんどですが、平板として固定条件(4辺固定など)により計算します。

稀に鉄筋コンクリートボックスカルバート構造として構造計算する場合もあります。

3.6.8 放水路

放水路は鉄筋コンクリートボックスカルバート構造またはU型水路構造として計算します。

3.6.9 配筋図の作成

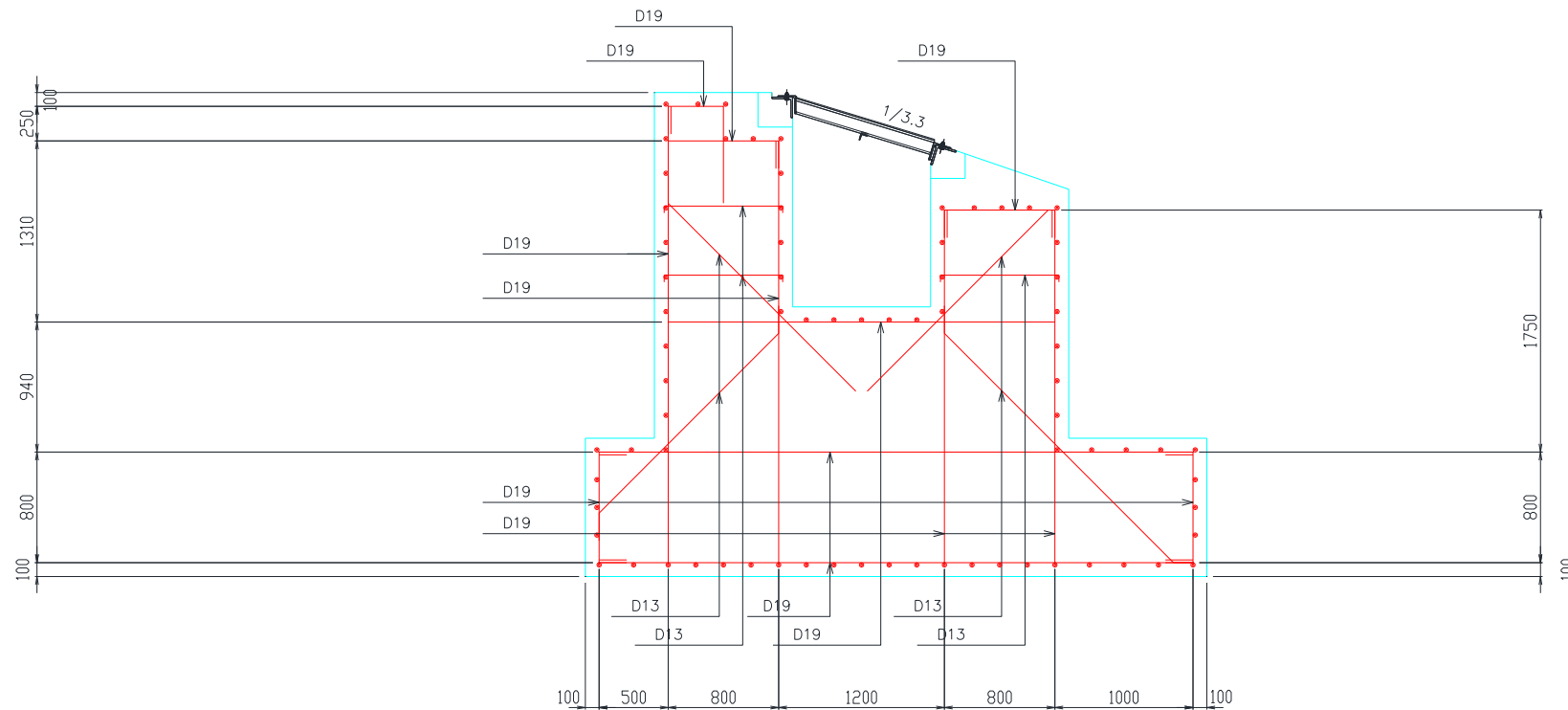
構造計算結果に基づき作成します。

各構造物の断面ごとに数十枚作成します。

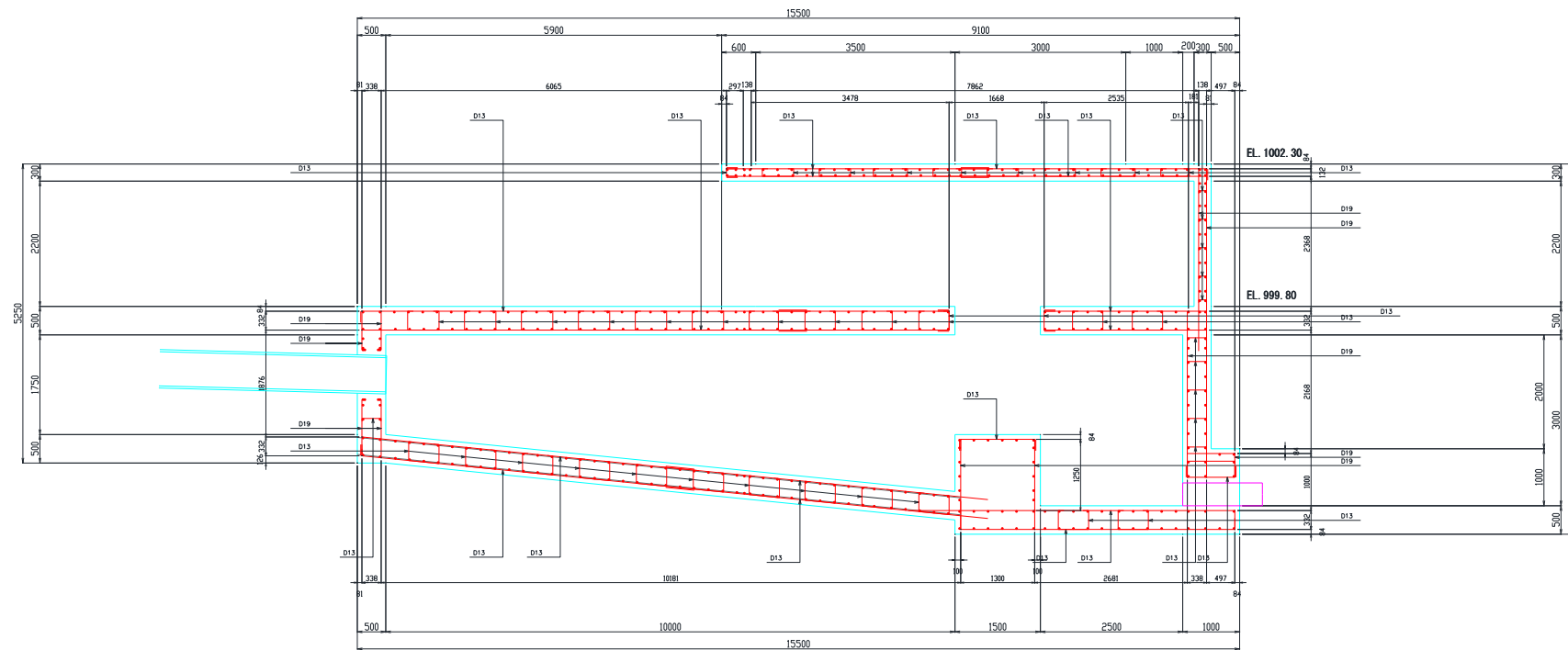
配筋図の一例は以下のとおりです。

なお、弊社では鉄筋加工図は作成していません。

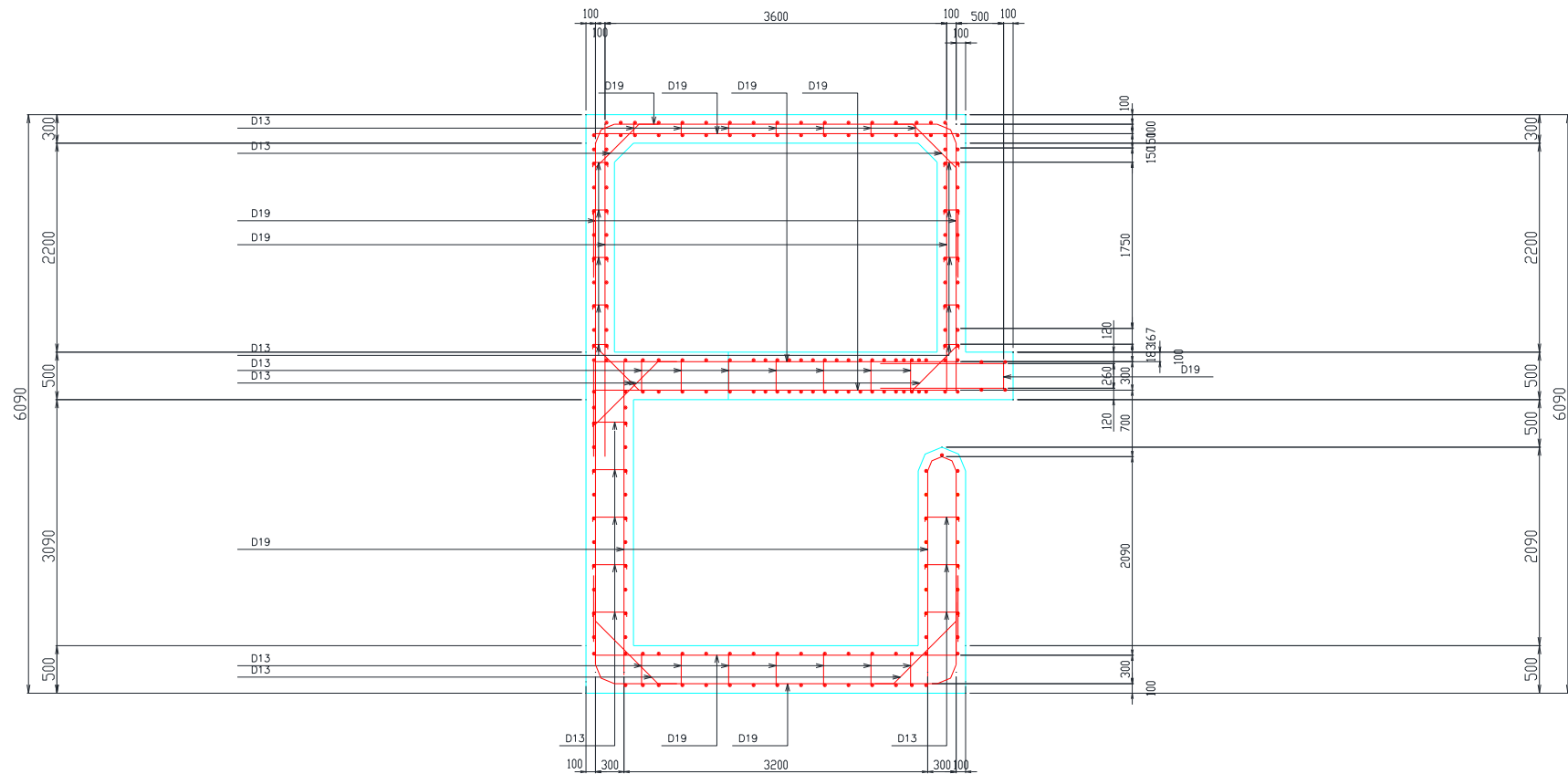
取水工配筋図の一例



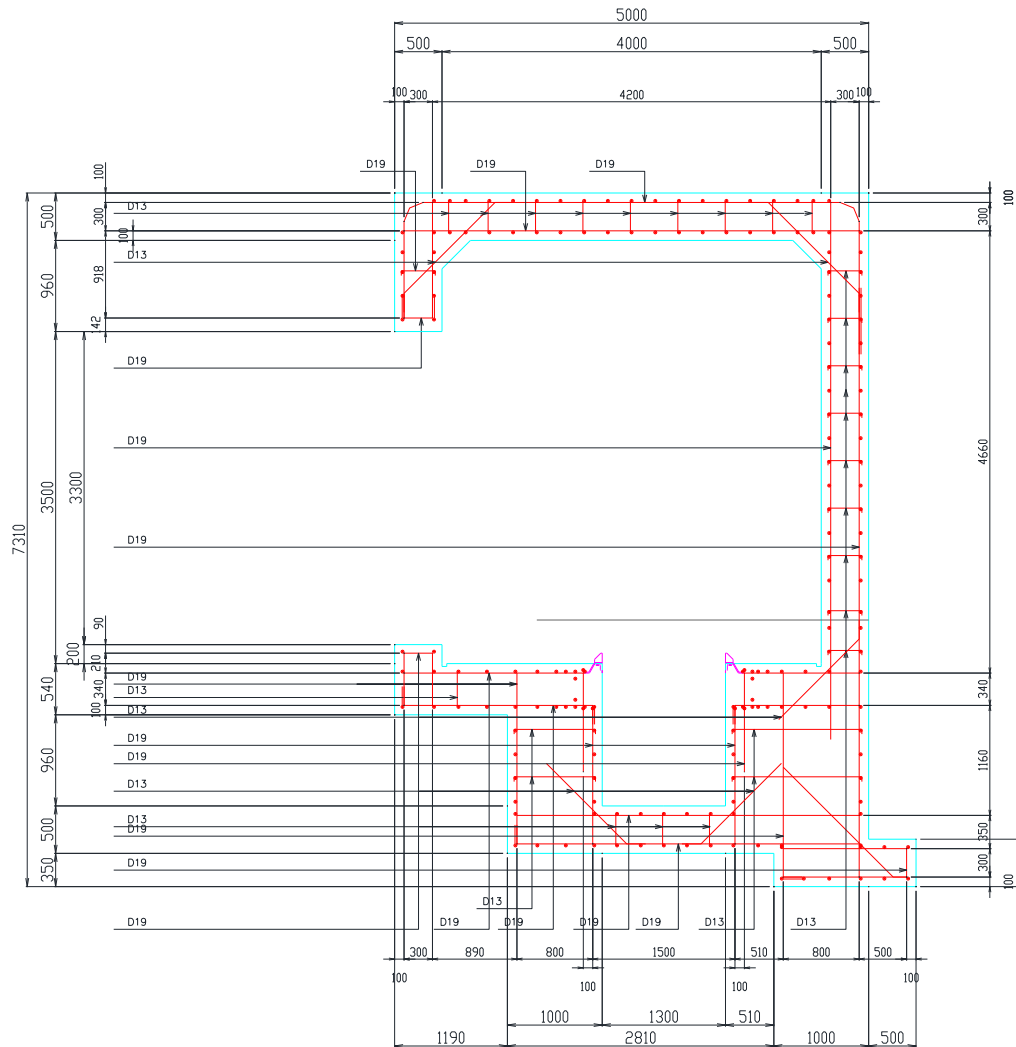
沈砂池配筋図の一例



沈砂池配筋図の一例



発電所基礎配筋図の一例



第4章 修正履歴

令和3年7月19日 ver-1 作成

令和3年9月25日 ver-2 作成 査読 弊社アドバイザー美野誠一氏（関西電力OB）